



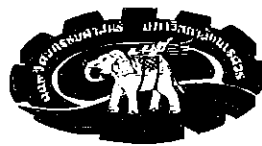
ผลของอุณหภูมิส่วนทำระเหยและอัตราการเติมสารทำงานที่มีต่อรูปแบบการไหลภายใน  
เทอร์โมฟอนที่วางตัวในแนวตั้ง

Effects of Evaporator Temperature and Filling ratio on Internal Flow Patterns of  
Vertical Thermosyphon

นายจิตติเวช ไชยกันยา  
นายอนรรฆ ศรีนภาสวัสดิ์

ห้องสมุดคณะวิกรรมศาสตร์	
วันที่รักษา.....	7 เม.ย. 2553
เลขที่ทะเบียน.....	5200068
เลขประจำตัวนักเรียน.....	14191623 ถ.ร.
มหาวิทยาลัยนเรศวร ๑๔๒ ว. 2550	

ปริญานินพน์เป็นส่วนหนึ่งของการศึกษาตามหลักสูตรปริญญาวิกรรมศาสตรบัณฑิต  
สาขาวิกรรมเครื่องกล ภาควิชาวิกรรมเครื่องกล  
คณะวิกรรมศาสตร์ มหาวิทยาลัยนเรศวร  
ปีการศึกษา 2550



## ใบรับรองโครงการ

### หัวข้อโครงการ

: ผลของอุณหภูมิส่วนที่ระเหยและอัตราการเติมสารทำงานที่มีต่อ  
รูปแบบการไหลภายในเทอร์โมฟอนที่วางตัวในแนวตั้ง  
(Effects of Evaporator Temperature and Filling ratio on Internal Flow  
Patterns of Vertical Thermosyphon)

### ผู้ดำเนินโครงการ

: นายจิตติเวช ไชยกันยา รหัสนิสิต 47362819

: นายอนธรรม ศรีนภัสสวัสดิ์ รหัสนิสิต 47363122

### ที่ปรึกษาโครงการ

: ผศ.ดร. ปิยะนันท์ เจริญสวัրก์

### สาขา

: วิศวกรรมเครื่องกล

### ภาควิชา

: วิศวกรรมเครื่องกล

### ปีการศึกษา

: 2550

คณะกรรมการคณาจารย์ มหาวิทยาลัยบูรพา อนุมัติให้โครงการฉบับนี้เป็นส่วนหนึ่งของ  
การศึกษาตามหลักสูตร วิศวกรรมศาสตรบัณฑิต สาขาวิศวกรรมเครื่องกล

### คณะกรรมการสอบโครงการ

20

ประธานกรรมการ

(ผศ.ดร. ปิยะนันท์ เจริญสวัรก์)

กรรมการ  
(อาจารย์ศิริกันต์ แคนดา)

กรรมการ  
(อาจารย์สรัตน์ ปัญญาแก้ว)

หัวข้อ โครงการ	: ผลของอุณหภูมิส่วนที่ระเหยและอัตราการเติมสารทำงานที่มีต่อรูปแบบการไหลภายในเทอร์โน่ไฟฟอนที่วางตัวในแนวคิ่ง
ผู้ดำเนิน โครงการ	: นายจิตติเวช ไชยกันยา รหัส 47362819
	: นายอนรรถ ศรีนภาสวัสดิ์ รหัส 47363122
ที่ปรึกษา โครงการ	: พศ.ดร. ปิยะนันท์ เจริญสุวรรณ
สาขา	: วิศวกรรมเครื่องกล
ภาควิชา	: วิศวกรรมเครื่องกล คณะวิศวกรรมศาสตร์ มหาวิทยาลัยนเรศวร
ปีการศึกษา	: 2550

### บทคัดย่อ

โครงการนี้เป็นการศึกษาเชิงทัศน์ถึงรูปแบบการไหลภายในเทอร์โน่ไฟฟอนทั้งในส่วนที่ระเหยและส่วนควบแน่น จึงสร้างชุดการทดลอง 2 ชุดคือ ชุดที่ศึกษารูปแบบการไหลในส่วนที่ระเหย (ส่วนที่ระเหยเป็นท่อแก้ว) และชุดที่ศึกษารูปแบบการไหลในส่วนควบแน่น (ส่วนควบแน่นเป็นท่อแก้ว) โดยเทอร์โน่ไฟฟอนนี้วางตัวในแนวคิ่งมีขนาดเส้นผ่าศูนย์กลางภายนอก ขาว 16 มิลลิเมตร ผนังหนา 2 มิลลิเมตร ส่วนที่ระเหยขาว 360 มิลลิเมตร ส่วนที่ไม่มีการถ่ายเทความร้อนขาว 200 มิลลิเมตร และส่วนควบแน่นขาว 305 มิลลิเมตร โดยทั้ง 2 ชุดเลือกใช้น้ำกลั่นเป็นสารทำงาน เพื่อศึกษาถึงผลกระทบของอุณหภูมิที่ส่วนที่ระเหยและอัตราการเติมของสารทำงานที่มีต่อรูปแบบการไหลและถ่ายเทความร้อนของเทอร์โน่ไฟฟอน จึงทำการทดสอบที่อัตราการเติมสารทำงานเท่ากับ 30% 50% และ 70% ของปริมาตรส่วนที่ระเหย และที่อุณหภูมิส่วนที่ระเหยเท่ากับ  $50^{\circ}\text{C}$   $60^{\circ}\text{C}$   $70^{\circ}\text{C}$  และ  $80^{\circ}\text{C}$  โดยควบคุมอัตราการไหลและอุณหภูมิของน้ำเย็นที่ขาเข้าส่วนควบแน่นให้คงที่เท่ากับ 1 ลิตรต่อนาที และ  $29^{\circ}\text{C}$  ตามลำดับ และควบคุมอัตราการไหลของน้ำร้อนที่ไหลผ่านส่วนที่ระเหยให้คงที่เท่ากับ 1.85 ลิตรต่อนาที หลังจากนั้นเข้าสู่สภาวะคงตัวทำการเก็บข้อมูลอุณหภูมน้ำเย็นที่ขาเข้าและขาออกของส่วนควบแน่นถ่ายภาพนิ่ง และภาพเคลื่อนไหวของรูปแบบการไหล ณ ส่วนที่ระเหยและส่วนควบแน่น กรณีผลกระทบของอุณหภูมิส่วนที่ระเหยพบว่า เมื่ออุณหภูมิส่วนที่ระเหยสูงขึ้นรูปแบบการไหลจะเปลี่ยนจาก Slug flow ไปเป็น Churn flow และ Annular flow และจากการถ่ายเทความร้อนจะมากขึ้นด้วย โดยที่ผลกระทบจะมี

แนวโน้มเหมือนกันที่ทุกๆ อัตราการเติมสารทำงานนั้นคือ สำหรับเทอร์โมไชฟอนที่มีขนาดเส้นผ่านศูนย์กลางภายใน 12 มิลลิเมตร ความกว้างส่วนทำระเหย ส่วนไม่มีการทำแทรกความร้อน และส่วนความแน่นคือ 360 200 และ 305 มิลลิเมตร ตามลำดับ และใช้น้ำกลั่นเป็นสารทำงาน ที่อัตราการเติมสารทำงาน 50% เมื่ออุณหภูมิส่วนทำระเหยเพิ่มขึ้นจาก  $50^{\circ}\text{C}$  ไปเป็น  $80^{\circ}\text{C}$  ค่าการทำแทรกความร้อน จะเพิ่มขึ้นจาก 29.2 วัตต์ ไปเป็น 126.78 วัตต์ กรณีผลกระทบของอัตราการเติมสารทำงาน พบว่า เทอร์โมไชฟอนที่มีอัตราการเติมสารทำงาน 30% และ 70% ของปริมาตรส่วนทำระเหย จะมีรูปแบบการไหลหลักเป็น Slug flow Churn flow และ Annular flow ผสมกัน ในขณะที่อัตราการเติมสารทำงาน 50% นั้น รูปแบบการไหลส่วนใหญ่จะเป็น Annular flow และค่าการทำแทรกความร้อนที่อัตราการเติม 50% จะมีค่าสูงสุดด้วย โดยที่ผลการทดสอบจะมีแนวโน้มเหมือนกันที่ทุกค่า อุณหภูมิส่วนทำระเหย สำหรับที่อุณหภูมิส่วนทำระเหย  $80^{\circ}\text{C}$  ค่าการทำแทรกความร้อนที่เทอร์โมไชฟอนที่ใช้ทดสอบ ณ อัตราการเติม 30% 50% และ 70% คือ 88.98 วัตต์ 126.78 วัตต์ และ 100.3 วัตต์ ตามลำดับ และค่าการทำแทรกความร้อนสูงสุดเกิดที่อัตราการเติม 50%

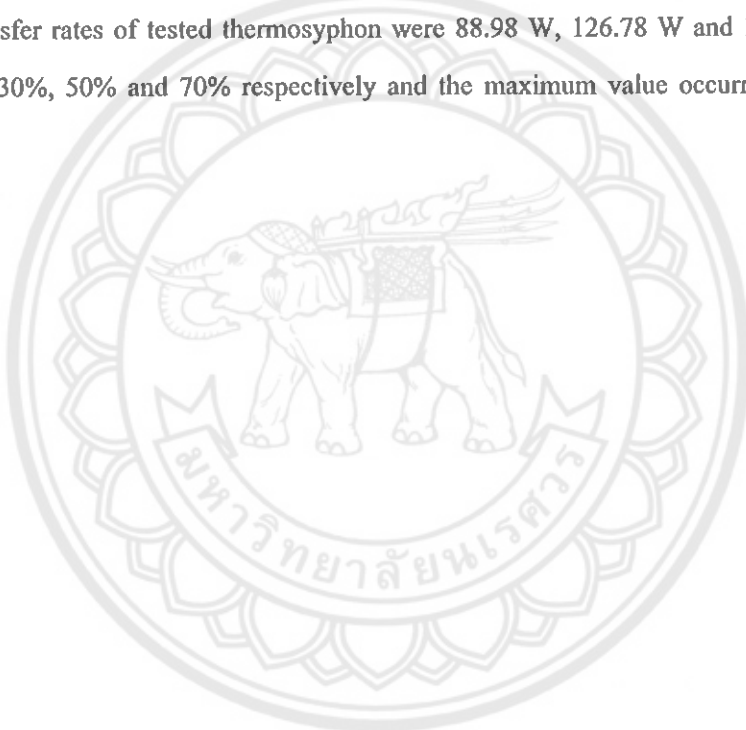


<b>Project Title</b>	<b>: Effects of Evaporator Temperature and Filling ratio on Internal Flow Patterns of Vertical Thermosyphon</b>		
<b>Name</b>	<b>: Mr. Chitiwet Chaikanya</b>	<b>Code 47362819</b>	
	<b>: Mr. Anak Srenapharsawad</b>	<b>Code 47363122</b>	
<b>Project Advisor</b>	<b>: Asst. Prof. Dr. Piyanun Charoensawan</b>		
<b>Major</b>	<b>: Mechanical Engineering</b>		
<b>Department</b>	<b>: Mechanical Engineering, Faculty of engineering, Naresuan University</b>		
<b>Academic Year</b>	<b>: 2007</b>		

### **Abstract**

This project was a visual study of the internal flow patterns of thermosyphon at both the evaporator and condenser sections. The experimental setup was consisted of two sets i.e. one was built to observe the flow patterns in the evaporator section made of Pyrex glass tube and another was built to observe the flow patterns in the condenser section made of Pyrex glass tube. The tested thermosyphon operated at the vertical orientation. It's outside diameter and wall thickness was 16 and 2 mm respectively. The evaporator, adiabatic and condenser lengths were 360, 200 and 305 mm respectively. The tested working fluid of these two setups was only the distilled water. In order to investigate the effects of the evaporator temperature and filling ratio on the two-phase flow pattern and heat transfer rate of a thermosyphon, the experiment was conducted at the filling ratio of 30%, 50% and 70% of the evaporator volume and at the evaporator temperature of 50°C, 60°C, 70°C and 80°C. The volume flow rate and temperature of cold water at the inlet of condenser section were always maintained to be approximately 1 l/min and 29°C respectively. The flow rate of hot water that flowed through the evaporator part was kept to be approximately constant at 1.85 l/min. After the steady state was reached, the cold water temperatures at the inlet and outlet of the condenser part were recorded and the pictures of flow patterns in the evaporator and condenser parts were taken by the still and video digital camera. It was seen from the influence of evaporator temperature that the flow pattern changed from Slug flow to Churn flow and Annular flow with increasing the evaporator temperature and the heat rate also increased. The

experimental results at each filling ratio exhibited in the same trend. For thermosyphon with the inside diameter of 12 mm, the evaporator, adiabatic and condenser lengths of 360, 200 and 305 and the working fluid of water at 50% filling ratio, the heat transfer rate increased from 29.2 W to 126.78 W when the evaporator temperature was increased from 50°C to 80°C. It was seen from the influence of filling ratio that the main flow patterns were Slug flow, Churn flow and Annular flow for thermosyphon with the 30% and 70% filling ratios. As for 50% filling ratio, the flow pattern was mainly Annular flow and the heat rate was maximum at this filling ratio. The results at each evaporator temperature exhibited in the same trend. For 80°C evaporator temperature, the heat transfer rates of tested thermosyphon were 88.98 W, 126.78 W and 100.3 W at the filling ratio of 30%, 50% and 70% respectively and the maximum value occurred at the 50% filling ratio.



## กิตติกรรมประกาศ

โครงการวิจัยเรื่อง “ผลของอุณหภูมิส่วนที่รำขึ้นและอัตราการเติบโตทำงานที่มีต่อรูปแบบการไหลภายในเทอร์โน ไฟฟอนที่ทางด้านแนวคิด” ได้สำเร็จลุล่วงได้ด้วยดีกีเนื่องจากได้รับความกรุณาจากผู้มีพระคุณซึ่งให้การสนับสนุน ให้ข้อเสนอแนะ ให้การแนะนำ ให้คำปรึกษาต่างๆ มากมาย ทางคณะผู้จัดทำจึงขอกราบขอบพระคุณเป็นอย่างสูง

ขอกราบขอบพระคุณ พศ.ดร.ปิยะนันท์ เจริญสารรักษ์ ซึ่งเป็นอาจารย์ร่วมที่ปรึกษาโครงการ โดยได้ให้คำปรึกษาเรื่องต่างๆ ใน การจัดทำโครงการ ทั้งในด้านการปฏิบัติและทฤษฎีตลอดมา

ขอกราบขอบพระคุณ คณะวิศวกรรมศาสตร์ มหาวิทยาลัยนเรศวร ที่ได้ให้สถานที่ วัสดุ รวมถึงอุปกรณ์ต่างๆ ในการจัดทำโครงการมาโดยตลอด

สุดท้ายนี้ ทางคณะผู้จัดทำโครงการ ขอกราบขอบพระคุณบิรา นารดา ที่ได้ให้การสนับสนุนแก่ผู้ดำเนินโครงการมาเป็นอย่างดี ซึ่งประโยชน์และคุณค่าที่เกิดจากการจัดทำปริญญา นิพนธ์ฉบับนี้ คณะผู้จัดทำขอขอบคุณก็ตามที่คุณแด่นุพารี บุรพาจารย์ และผู้มีพระคุณ ทุกท่าน ด้วยความเคารพเป็นอย่างสูง ไว้ ณ ที่นี่

นายจิตติเวช ใจกันยา  
นายอนรรฆ์ ศรีนภาสวัสดิ์  
(คณะผู้จัดทำโครงการ)

## สารบัญ

	หน้า
<b>ปกใน</b>	ก
<b>ในรับรองโครงการ</b>	ข
<b>บทคัดย่อ</b>	ค
<b>Abstract</b>	ง
<b>กิตติกรรมประกาศ</b>	ช
<b>สารบัญ</b>	ซ
<b>สารบัญตาราง</b>	ญ
<b>สารบัญรูปภาพ</b>	ฎ
<b>ลำดับสัญลักษณ์</b>	ฒ
 <b>บทที่ 1 บทนำ</b>	 1
1.1 ความสำคัญและที่มาของปัญหา	1
1.2 วัตถุประสงค์	5
1.3 ขอบเขตของการศึกษา	5
1.4 ขั้นตอนการดำเนินงาน	6
1.5 ประโยชน์ที่คาดว่าจะได้รับ	7
1.6 งบประมาณ	7
 <b>บทที่ 2 หลักการและทฤษฎี</b>	 8
2.1 หลักการทำงานของเทอร์โนไซฟอน 2 สถานะแบบปิด	8
2.2 การถ่ายเทความร้อนในการทำงานของเทอร์โนไซฟอน 2 สถานะแบบปิด	10
2.3 รูปแบบการไหลของสถานะภายในท่อหน้าตัดกลมที่วางตัวแนวตั้ง	13
2.4 การคำนวณอัตราการถ่ายเทความร้อนในส่วนควบคุม	14
2.5 การทบทวนงานวิจัยที่เกี่ยวข้อง	15
 <b>บทที่ 3 การออกแบบ</b>	 17
3.1 เทอร์โนไซฟอนแบบที่ 1 มีส่วนทำระเหยเป็นท่อแก้ว	18
3.2 เทอร์โนไซฟอนแบบที่ 2 มีส่วนควบคุมเป็นท่อแก้ว	18

## สารบัญ (ต่อ)

	หน้า
3.3 ศูนย์ร้อนและศูนย์เย็นของเทอร์โมไชฟอนแบบที่ 1	19
3.4 ศูนย์ร้อนและศูนย์เย็นของเทอร์โมไชฟอนแบบที่ 2	20
3.5 แท่นชุดการทดลอง	21
3.6 แสงไฟ	24
 บทที่ 4 วิธีการดำเนินงาน	 25
4.1 ตัวแปรควบคุม	25
4.2 ตัวแปรที่ต้องการศึกษา	25
4.3 อุปกรณ์ประกอบและเครื่องมือวัด	25
4.4 วิธีการทดลอง	31
 บทที่ 5 ผลการทดลองและวิเคราะห์ผลการทดลอง	 33
5.1 ลักษณะการให้ผลของสารทำงานภายในเทอร์โมไชฟอนขณะทำงานในแนวตั้ง	33
5.2 ผลกระทบของอุณหภูมิส่วนท่าระเหยที่มีต่อรูปแบบการให้ผล และการถ่ายเทความร้อนของเทอร์โมไชฟอน	34
5.3 ผลกระทบของอัตราการเติมสารทำงานที่มีต่อรูปแบบการให้ผล และการถ่ายเทความร้อนของเทอร์โมไชฟอน	48
 บทที่ 6 สรุปผลการทดลองและข้อเสนอแนะ	 66
6.1 สรุปผลการทดลอง	66
6.2 ข้อเสนอแนะ	67
 บรรณานุกรณ	 69
 ภาคผนวก	 70
ภาคผนวก ก การคำนวณถ้าการถ่ายเทความร้อนจากผลกระทบทดลอง	70
ภาคผนวก ข ข้อมูลการทดลอง	77
ประวัติผู้ทำโครงการ	82

## สารบัญตาราง

	หน้า
<b>ตารางที่ 1.1 แสดงระยะเวลาและแผนการปฏิบัติงาน</b>	6
<b>ตารางที่ ข1 แสดงค่าอุณหภูมิที่ส่วนต่างๆ ของท่อเทอร์โมไฟฟ่อนและอัตราการไหลของน้ำเย็นเข้าที่ส่วนควบแน่นอัตราการเติม 30% ที่ส่วนทำระเหยเป็นแก้ว</b>	77
<b>ตารางที่ ข2 แสดงค่าอุณหภูมิที่ส่วนต่างๆ ของท่อเทอร์โมไฟฟ่อนและอัตราการไหลของน้ำเย็นเข้าที่ส่วนควบแน่นอัตราการเติม 30% ที่ส่วนควบแน่นเป็นแก้ว</b>	77
<b>ตารางที่ ข3 แสดงค่าอุณหภูมิที่ส่วนต่างๆ ของท่อเทอร์โมไฟฟ่อนและอัตราการไหลของน้ำเย็นเข้าที่ส่วนควบแน่นอัตราการเติม 50% ที่ส่วนทำระเหยเป็นแก้ว</b>	78
<b>ตารางที่ ข4 แสดงค่าอุณหภูมิที่ส่วนต่างๆ ของท่อเทอร์โมไฟฟ่อนและอัตราการไหลของน้ำเย็นเข้าที่ส่วนควบแน่นอัตราการเติม 50% ที่ส่วนควบแน่นเป็นแก้ว</b>	78
<b>ตารางที่ ข5 แสดงค่าอุณหภูมิที่ส่วนต่างๆ ของท่อเทอร์โมไฟฟ่อนและอัตราการไหลของน้ำเย็นเข้าที่ส่วนควบแน่นอัตราการเติม 70% ที่ส่วนทำระเหยเป็นแก้ว</b>	79
<b>ตารางที่ ข6 แสดงค่าอุณหภูมิที่ส่วนต่างๆ ของท่อเทอร์โมไฟฟ่อนและอัตราการไหลของน้ำเย็นเข้าที่ส่วนควบแน่นอัตราการเติม 70% ที่ส่วนควบแน่นเป็นแก้ว</b>	79
<b>ตารางที่ ข7 แสดงค่าอัตราการเติมสารและค่าการถ่ายเทความร้อนที่อุณหภูมิ 50°C ของส่วนทำระเหยเป็นแก้ว</b>	80
<b>ตารางที่ ข8 แสดงค่าอัตราการเติมสารและค่าการถ่ายเทความร้อนที่อุณหภูมิ 60°C ของส่วนทำระเหยเป็นแก้ว</b>	80
<b>ตารางที่ ข9 แสดงค่าอัตราการเติมสารและค่าการถ่ายเทความร้อนที่อุณหภูมิ 70°C ของส่วนทำระเหยเป็นแก้ว</b>	81
<b>ตารางที่ ข10 แสดงค่าอัตราการเติมสารและค่าการถ่ายเทความร้อนที่อุณหภูมิ 80°C ของส่วนทำระเหยเป็นแก้ว</b>	81

## สารบัญรูปภาพ

	หน้า
รูปที่ 1.1 เทอร์โน้ไม้ฟ่อนที่วางตัวในแนวคิ่ง	1
รูปที่ 1.2 เทอร์โน้ไม้ฟ่อนที่วางตัวในแนวอึบง	1
รูปที่ 1.3 การประยุกต์เทอร์โน้ไม้ฟ่อนเข้ากับเครื่องอุ่นน้ำ	2
รูปที่ 1.4 การใช้เครื่องอุ่นอาหารแบบเทอร์โน้ไม้ฟ่อนในการอบแห้ง	2
รูปที่ 1.5 แสดงการประยุกต์ใช้เทอร์โน้ไม้ฟ่อนในการผลิตกระถางไฟฟ้า	3
รูปที่ 1.6 แสดงการประยุกต์ใช้เทอร์โน้ไม้ฟ่อนกับตัวเก็บพลังงานแสงอาทิตย์	4
รูปที่ 1.7 แสดงการประกอบใช้เทอร์โน้ไม้ฟ่อนกับ ตัวเก็บพลังงานแสงอาทิตย์ เข้ากับชุดอุปกรณ์อื่นๆ สำหรับเก็บพลังงานแสงอาทิตย์	4
รูปที่ 2.1 แสดงหลักการและส่วนประกอบต่างๆ ของเทอร์โน้ไม้ฟ่อน 2 สถานะแบบปีก	9
รูปที่ 2.2 แสดงตำแหน่งค่าความด้านทานของห่อความร้อนเทอร์โน้ไม้ฟ่อน 2 สถานะแบบปีก	9
รูปที่ 2.3 แสดงวงจรค่าความด้านทานของห่อความร้อนเทอร์โน้ไม้ฟ่อน 2 สถานะแบบปีก	10
รูปที่ 2.4 แสดงรูปแบบการ ไฟลากายในห่อปีกในแนวคิ่ง	13
รูปที่ 2.5 แสดงรูปประกอบการคำนวณอัตราการถ่ายเทความร้อนในส่วนควบคุม	14
รูปที่ 3.1 แสดงแผนผังการทำงานของชุดอุปกรณ์การทดลอง	17
รูปที่ 3.2 เทอร์โน้ไม้ฟ่อนทั้ง 2 ชุดการทดลอง	19
รูปที่ 3.3 แสดงภาพตู้น้ำร้อนและตู้น้ำเย็นของเทอร์โน้ไม้ฟ่อนแบบที่ 1	20
รูปที่ 3.4 แสดงภาพตู้น้ำร้อนและตู้น้ำเย็นของเทอร์โน้ไม้ฟ่อนแบบที่ 2	21
รูปที่ 3.5 ฐานสำหรับวางตู้น้ำร้อนและตู้น้ำเย็น	22
รูปที่ 3.6 ไถะโครงเหล็ก	23
รูปที่ 3.7 อุปกรณ์การทดลองที่ประกอบเสร็จสมบูรณ์แล้ว	23
รูปที่ 3.8 แผงไฟ	24
รูปที่ 4.1 แสดงสายเทอร์โน้ไม้คัปเปลี่ยนที่ต่อเข้ากับอุปกรณ์ต่างๆ	26
รูปที่ 4.2 แสดงรูปปั๊มน้ำร้อน	26
รูปที่ 4.3 เครื่องเก็บข้อมูลภายนอก	27
รูปที่ 4.4 กล้องดิจิตอลสำหรับถ่ายภาพนิ่ง	27
รูปที่ 4.5 ชีตเตอร์	28
รูปที่ 4.6 เครื่องปั๊มน้ำมันเชื้อเพลิง	28

## สารบัญรูปภาพ (ต่อ)

	หน้า
รูปที่ 4.7 แสดงความคุณอุณหภูมิ	29
รูปที่ 4.8 แสดงรูปแสดงความคุณอุณหภูมิซึ่งต่อเข้ากันอุปกรณ์ต่างๆ ของชุดการทดลอง	29
รูปที่ 4.9 เครื่องเติมสารทำงาน	30
รูปที่ 4.10 ถังดัมน้ำสำหรับดัมน้ำร้อนเข้าที่ส่วนทำระเหย	31
รูปที่ 5.1 ผลกระทบของอุณหภูมิส่วนทำระเหยที่มีต่อรูปแบบการไหลในส่วนทำระเหย ของเทอร์โน่ไซฟอนที่มีอัตราการเติม 30%	35
รูปที่ 5.2 ผลกระทบของอุณหภูมิส่วนทำระเหยที่มีต่อรูปแบบการไหลในส่วนควบแน่น ของเทอร์โน่ไซฟอนที่มีอัตราการเติม 30%	36
รูปที่ 5.3 แสดงความสัมพันธ์ระหว่างอุณหภูมิที่ส่วนทำระเหยและค่าการถ่ายเทความร้อน ของเทอร์โน่ไซฟอนที่มีอัตราการเติมสารทำงาน 30%	37
รูปที่ 5.4 แสดงความสัมพันธ์ระหว่างอุณหภูมิที่ส่วนทำระเหยและอุณหภูมิที่ส่วนที่ไม่มี การถ่ายเทความร้อน ของเทอร์โน่ไซฟอนที่มีอัตราการเติมสารทำงาน 30%	38
รูปที่ 5.5 ผลกระทบของอุณหภูมิส่วนทำระเหยที่มีต่อรูปแบบการไหลในส่วนทำระเหย ของเทอร์โน่ไซฟอนที่มีอัตราการเติม 50%	39
รูปที่ 5.6 ผลกระทบของอุณหภูมิส่วนทำระเหยที่มีต่อรูปแบบการไหลในส่วนควบแน่น ของเทอร์โน่ไซฟอนที่มีอัตราการเติม 50%	41
รูปที่ 5.7 แสดงความสัมพันธ์ระหว่างอุณหภูมิที่ส่วนทำระเหยและค่าการถ่ายเทความร้อน ของเทอร์โน่ไซฟอนที่มีอัตราการเติมสารทำงาน 50%	42
รูปที่ 5.8 แสดงความสัมพันธ์ระหว่างอุณหภูมิที่ส่วนทำระเหยและอุณหภูมิที่ส่วนที่ไม่มี การถ่ายเทความร้อน ของเทอร์โน่ไซฟอนที่มีอัตราการเติมสารทำงาน 50%	43
รูปที่ 5.9 ผลกระทบของอุณหภูมิส่วนทำระเหยที่มีต่อรูปแบบการไหลในส่วนทำระเหย ของเทอร์โน่ไซฟอนที่มีอัตราการเติม 70%	44
รูปที่ 5.10 ผลกระทบของอุณหภูมิส่วนทำระเหยที่มีต่อรูปแบบการไหลในส่วนควบแน่น ของเทอร์โน่ไซฟอนที่มีอัตราการเติม 70%	46
รูปที่ 5.11 แสดงความสัมพันธ์ระหว่างอุณหภูมิที่ส่วนทำระเหยและค่าการถ่ายเทความร้อน ของเทอร์โน่ไซฟอนที่มีอัตราการเติมสารทำงาน 70%	47
รูปที่ 5.12 แสดงความสัมพันธ์ระหว่างอุณหภูมิที่ส่วนทำระเหยและอุณหภูมิที่ส่วนที่ ไม่มีการถ่ายเทความร้อน ของเทอร์โน่ไซฟอนที่มีอัตราการเติมสารทำงาน 70%	47

## สารบัญรูปภาพ (ต่อ)

	หน้า
<b>รูปที่ 5.13 ผลกระบวนการของอัตราการเติมสารทำงานที่มีต่อรูปแบบการไอล ในส่วนทำระเหยของเทอร์โนไซฟอนที่อุณหภูมิ 50°C</b>	49
<b>รูปที่ 5.14 ผลกระบวนการของอัตราการเติมสารทำงานที่มีต่อรูปแบบการไอล ในส่วนควบแน่นของเทอร์โนไซฟอนที่อุณหภูมิ 50°C</b>	50
<b>รูปที่ 5.15 แสดงความสัมพันธ์ระหว่างอัตราการเติมสารทำงานและค่าการถ่ายเทกความร้อน ของเทอร์โนไซฟอนที่อุณหภูมิส่วนทำระเหย 50 °C</b>	51
<b>รูปที่ 5.16 แสดงความสัมพันธ์ระหว่างอัตราการเติมสารทำงานและอุณหภูมิที่ส่วนที่ไม่มี การถ่ายเทกความร้อน ของเทอร์โนไซฟอนที่อุณหภูมิส่วนทำระเหย 50 °C</b>	51
<b>รูปที่ 5.17 ผลกระบวนการของอัตราการเติมสารทำงานที่มีต่อรูปแบบการไอลในส่วนทำระเหย ของเทอร์โนไซฟอนที่อุณหภูมิ 60°C</b>	53
<b>รูปที่ 5.18 ผลกระบวนการของอัตราการเติมสารทำงานที่มีต่อรูปแบบการไอลในส่วนควบแน่น ของเทอร์โนไซฟอนที่อุณหภูมิ 60°C</b>	54
<b>รูปที่ 5.19 แสดงความสัมพันธ์ระหว่างอัตราการเติมสารทำงานและค่าการถ่ายเทกความร้อน ของเทอร์โนไซฟอนที่อุณหภูมิส่วนทำระเหย 60 °C</b>	55
<b>รูปที่ 5.20 แสดงความสัมพันธ์ระหว่างอัตราการเติมสารทำงานและอุณหภูมิที่ส่วนที่ ไม่มีการถ่ายเทกความร้อน ของเทอร์โนไซฟอนที่อุณหภูมิส่วนทำระเหย 60 °C</b>	55
<b>รูปที่ 5.21 ผลกระบวนการของอัตราการเติมสารทำงานที่มีต่อรูปแบบการไอลในส่วนทำระเหย ของเทอร์โนไซฟอนที่อุณหภูมิ 70°C</b>	57
<b>รูปที่ 5.22 ผลกระบวนการของอัตราการเติมสารทำงานที่มีต่อรูปแบบการไอลในส่วนควบแน่น ของเทอร์โนไซฟอนที่อุณหภูมิ 70°C</b>	58
<b>รูปที่ 5.23 แสดงความสัมพันธ์ระหว่างอัตราการเติมสารทำงานและค่าการถ่ายเทกความร้อน ของเทอร์โนไซฟอนที่อุณหภูมิส่วนทำระเหย 70 °C</b>	59
<b>รูปที่ 5.24 แสดงความสัมพันธ์ระหว่างอัตราการเติมสารทำงานและอุณหภูมิที่ส่วนที่ ไม่มีการถ่ายเทกความร้อน ของเทอร์โนไซฟอนที่อุณหภูมิส่วนทำระเหย 70 °C</b>	60
<b>รูปที่ 5.25 ผลกระบวนการของอัตราการเติมสารทำงานที่มีต่อรูปแบบการไอลในส่วนทำระเหย ของเทอร์โนไซฟอนที่อุณหภูมิ 80°C</b>	61

## สารบัญรูปภาพ (ต่อ)

หน้า

รูปที่ 5.26 ผลกระแทบทองอัตราการเติมสารทำงานที่มีต่อรูปแบบการไหลในส่วนความแน่นของเทอร์โนไซฟอนที่อุณหภูมิ $80^{\circ}\text{C}$	63
รูปที่ 5.27 แสดงความสัมพันธ์ระหว่างอัตราการเติมสารทำงานและค่าการถ่ายเทคุณร้อนของเทอร์โนไซฟอนที่อุณหภูมิส่วนทำระเหย $80^{\circ}\text{C}$	64
รูปที่ 5.28 แสดงความสัมพันธ์ระหว่างอัตราการเติมสารทำงานและอุณหภูมิที่ส่วนที่ไม่มีการถ่ายเทคุณร้อน ของเทอร์โนไซฟอนที่อุณหภูมิส่วนทำระเหย $80^{\circ}\text{C}$	64



## ลำดับสัญลักษณ์

สัญลักษณ์	ความหมาย	หน่วย
$A_x$	พื้นที่หน้าตัดของผนังภาชนะ	$m^2$
$C_p$	ค่าความถูกความร้อนทำเพาของน้ำเย็น	$kJ/kg.K$
$D$	เส้นผ่านศูนย์กลางภายในของท่อ	$m$
$D_0$	เส้นผ่านศูนย์กลางภายนอกของท่อ	$m$
$g$	ค่าความเร่งเนื่องจากแรงโน้มถ่วงของโลก	$m/s^2$
$h_{\infty}$	ค่าสัมประสิทธิ์การพาความร้อนที่ผิวนอกของส่วนควบแน่น	$W/m.K$
$h_{\infty}$	ค่าสัมประสิทธิ์การพาความร้อนที่ผิวนอกของส่วนทำระเหบ	$W/m.K$
$l_s$	ความยาวของส่วนที่ไม่มีการถ่ายเทความร้อน	$m$
$l_c$	ความยาวของส่วนควบแน่น	$m$
$l_e$	ความยาวของส่วนทำระเหบ	$m$
$m$	อัตราการไหลของน้ำเย็น	
$Q$	อัตราการถ่ายเทความร้อน	$W$
$S_{\infty}$	พื้นที่ผิวภายนอกของส่วนควบแน่น	$m^2$
$S_{\infty}$	พื้นที่ผิวภายนอกของส่วนทำระเหบ	$m^2$
$T_i$	ค่าอุณหภูมน้ำเย็นขาเข้า	$^{\circ}C$
$T_o$	ค่าอุณหภูมน้ำเย็นขาออก	$^{\circ}C$
$T_{si}$	อุณหภูมิของส่วนระบบความร้อน	$^{\circ}C$
$T_{so}$	อุณหภูมิของส่วนให้ความร้อน	$^{\circ}C$
$\Delta T_h$	ผลต่างของอุณหภูมิเฉลี่ยเนื่องจากความต่างของ Hydro static head	$^{\circ}C$
$Z$	ค่าความต้านทานความร้อน	$K/W$
$Z_l$	ค่าความต้านทานความร้อนโดยการพาระหว่างส่วนให้ความร้อนกับผิวนอกของส่วนทำระเหบ	$K/W$
$Z_2$	ค่าความต้านทานความร้อนโดยการนำผ่านความหนาของผนังในส่วนทำระเหบ	$K/W$

### ลำดับสัญลักษณ์ (ต่อ)

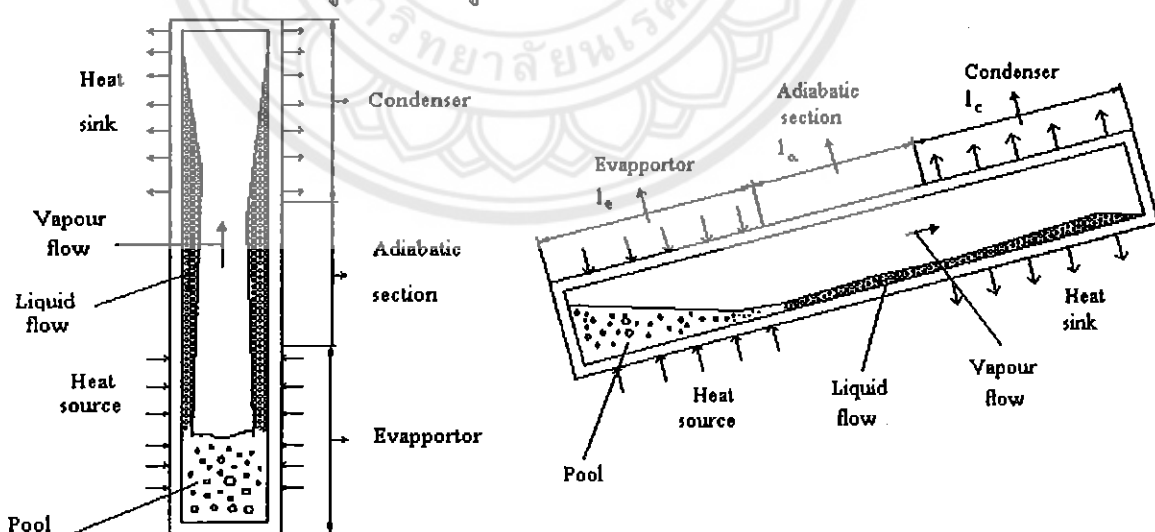
$Z_3$	ค่าความต้านทานความร้อนของเหลวที่กำลังเดือด	K/W
$Z_4$	ค่าความต้านทานความร้อนระหว่างผิวน้ำ ของของเหลวและไอในส่วนทำระเหย	K/W
$Z_5$	ค่าความต้านทานความร้อนที่เกิดจากความคัน ตกคร่อมระหว่างส่วนทำระเหยและส่วนควบแน่น	K/W
$Z_6$	ค่าความต้านทานความร้อนระหว่างผิวน้ำ ของของเหลวและไอในส่วนควบแน่น	K/W
$Z_7$	ค่าความต้านทานความร้อนของของเหลว ที่กำลังควบแน่น	K/W
$Z_8$	ค่าความต้านทานความร้อนโดยการนำผ่านความหนา ของผนังในส่วนควบแน่น	K/W
$Z_9$	ค่าความต้านทานความร้อนโดยการพาระหว่างศิรุกอก ของส่วนควบแน่นกับตัวระบายความร้อน	K/W
$Z_{10}$	ค่าความต้านทานความร้อนโดยการนำในแนวแกนท่อ ผ่านพื้นที่หน้าตัดของผนังท่อจากส่วนทำระเหยมาข้าง ส่วนควบแน่น	K/W
$\Phi_2$	Figure of Merit	
$\Phi_3$	Physical properties	
$\lambda_x$	ค่าการนำความร้อน	W/m.K

## บทที่ 1 บทนำ

### 1.1 ความสำคัญและที่มาของปัญหา

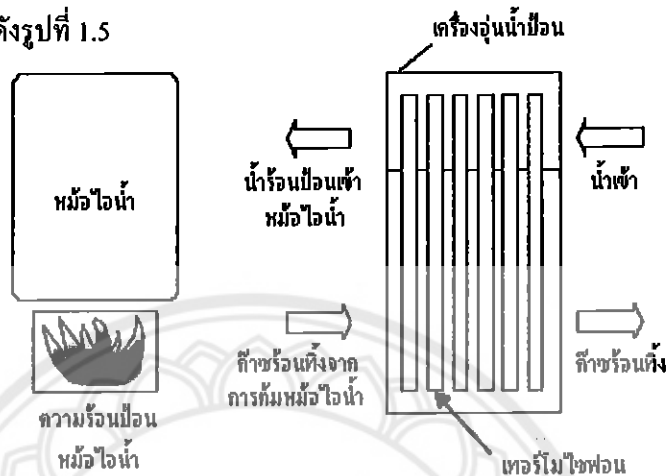
หลักการทำงานเทอร์โนในนานมิกส์ได้ถูกนำมาใช้พัฒนาการทำงานด้านอุตสาหกรรมนานาประเทศ ในสภาวะเศรษฐกิจปัจจุบันซึ่งมีการแข่งขันกันทางด้านธุรกิจสูงขึ้นมากและทรัพยากรด่างๆ เริ่มน้อยลงเนื่องจากการเติบโตทางอุตสาหกรรมและเทคโนโลยี ทุกองค์กรจึงมีจุดมุ่งหมายว่า ลดต้นทุนเพิ่มรายได้ และไม่ทำให้เกิดຄลพิษ ทำให้ห้องความร้อนแบบเทอร์โนใช้พลังงานน้ำทบทะและได้ถูกนำมาประยุกต์ใช้กับหลากหลายองค์กรเพื่อช่วยในการประดับลดลงงาน

เครื่องแอลเเพลี่บนความร้อนชนิดนี้พิเศกว่าชนิดอื่นๆ เมื่อจากสามารถส่งถ่ายความร้อนได้เร็ว ด้วยอุณหภูมิแตกต่างกันเพียงเล็กน้อยก็สามารถส่งถ่ายความร้อนได้ประสิทธิภาพดีโดยไม่ต้องอาศัยพัฒนาภายนอก ซึ่งมีหลักการทำงานง่ายๆ ว่า เมื่อของเหลว (สารทำงาน) ในห้องความร้อนซึ่งภายในเป็นสุญญากาศ นั้นได้รับความร้อนที่ส่วนที่ระเหยเมื่ออุณหภูมิสูงขึ้นสามารถทำงานจะเกิดรูปแบบการไหหลังซึ่งจะส่งผลต่อการส่งผ่านความร้อน ของเหลวบางส่วนจะร้อนจนเปลี่ยนสถานะเป็นไอ และเมื่อไอเหล่านี้ดอยขึ้นไปสัมผัสถกับพื้นผิวที่มีอุณหภูมิต่ำที่ส่วนความแปรผันซึ่งอยู่ด้านบนของส่วนที่ระเหยจะเกิดการควบแน่นจนกลายเป็นหยดน้ำไหลลงมาตามผิวของห้องท่อ เมื่อจากสารแรงโน้มถ่วงของโลกหมุนเวียนอยู่เช่นนี้ เทอร์โนใช้พลอนนั้นมีทั้งที่วางตัวในแนวตั้ง และวางตัวในแนวเอียง ดังรูปที่ 1.1 และรูปที่ 1.2



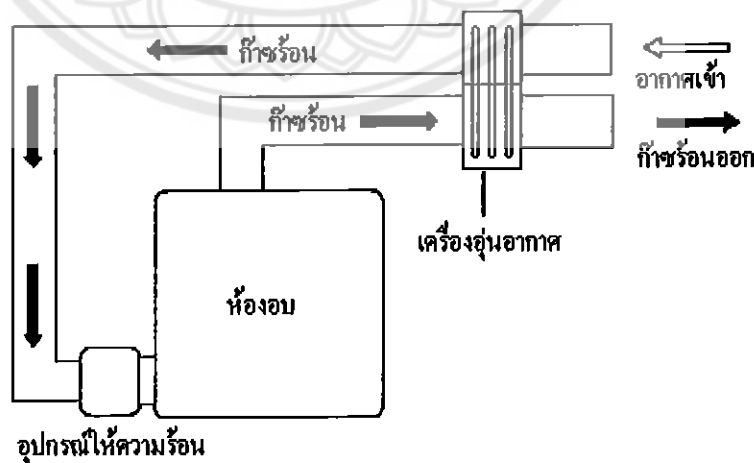
รูปที่ 1.1 เทอร์โนใช้พลอนที่วางตัวในแนวตั้ง [1] รูปที่ 1.2 เทอร์โนใช้พลอนที่วางตัวในแนวเอียง [1]

ในการใช้งานจริงนั้นเทอร์โน่ไฟฟ่อนที่วางตัวในแนวตั้งจะถูกนำไปประบุกต์ใช้ได้ หลากหลายกว่า เช่น สามารถนำไปประบุกต์ใช้เข้ากับเครื่องอุ่นน้ำ ดังรูปที่ 1.3 หรือ การนำเครื่องอุ่น อากาศแบบเทอร์โน่ไฟฟ่อนไปประบุกต์กับการอบแห้ง ดังรูปที่ 1.4 และ การนำไปประบุกต์ใช้กับ เครื่องกำเนิดไฟฟ้า ดังรูปที่ 1.5



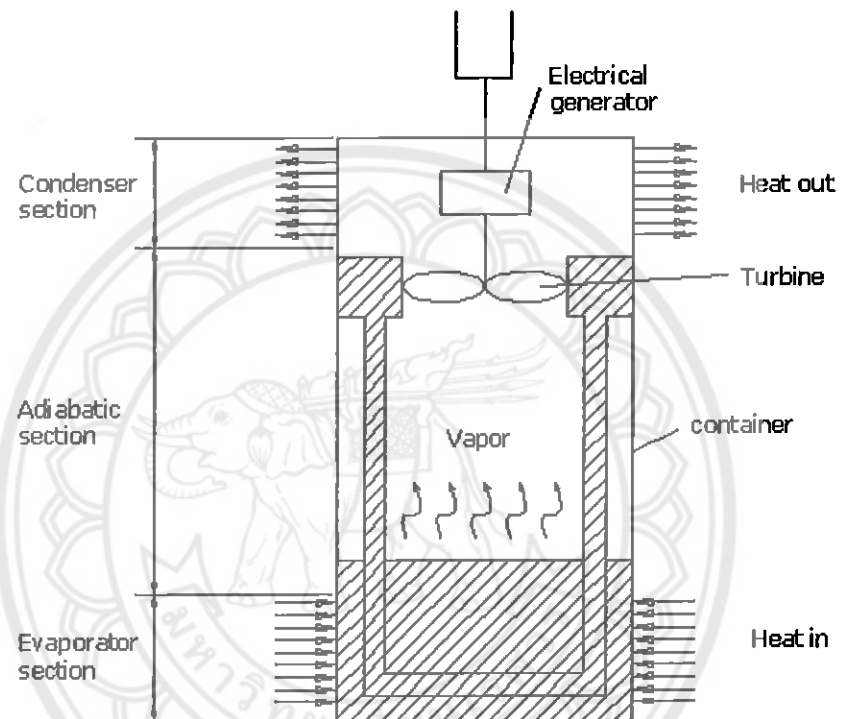
รูปที่ 1.3 การประบุกต์เทอร์โน่ไฟฟ่อนเข้ากับเครื่องอุ่นน้ำ [2]

จากรูปที่ 1.3 จะใช้ก๊าซร้อนทั้งจากการหุ่มที่หม้อไอน้ำนำมาให้ความร้อนกับเครื่องอุ่นน้ำ แบบเทอร์โน่ไฟฟ่อนที่ส่วนทำระเหยทำให้สารทำงานภายในเทอร์โน่ไฟฟ่อนมีอุณหภูมิสูงขึ้นเกิด การเคืองเปลือกผิวสถานะเป็นไอลดอบเข้าสู่ส่วนควบคุมแห่งทางด้านบน ที่ส่วนควบคุมแห่งจะปล่อยไห้น้ำเข็น ไหเด็กมาเป็นตัวระบบทความร้อนจากเทอร์โน่ไฟฟ่อน ทำให้น้ำมีอุณหภูมิสูงขึ้นก่อนไหเด็กหน้า ไอน้ำทำให้ประบัดพลังงานในการหุ่มน้ำ และเช่นเดียวกันกับการนำเครื่องอุ่นอากาศแบบเทอร์โน่ไฟฟ่อนมาประบุกต์ใช้กับการอบแห้ง ดังรูปที่ 1.4



รูปที่ 1.4 การใช้เครื่องอุ่นอากาศแบบเทอร์โน่ไฟฟ่อนในการอบแห้ง [2]

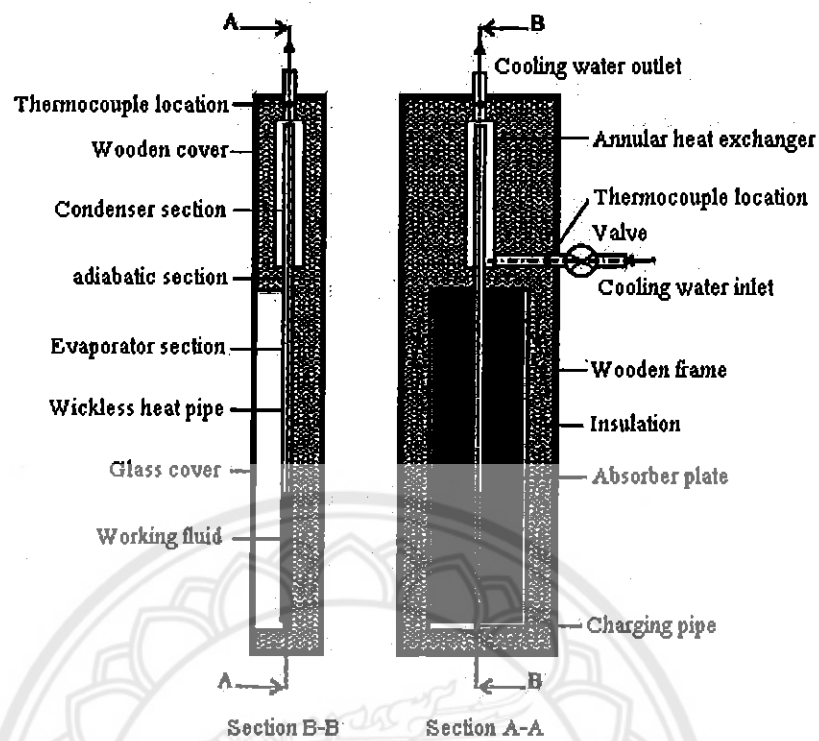
จากรูปที่ 1.4 จะใช้ก๊าซไออกซิเจนร้อนจากห้องอบนำมาให้ความร้อนแก่เครื่องจุ่นอากาศแบบเทอร์โนไซฟ่อนที่ส่วนทำระเหย ทำให้สารทำงานภายในเทอร์โนไซฟ่อนมีอุณหภูมิสูงขึ้นเกิดการเดือดเปลี่ยนสถานะเป็นไอโดยขึ้นส่วนความแปร่ทางด้านบน ที่ส่วนความแปร่จะปล่อยให้อากาศภายในออกไหล่เข้ามาเป็นตัวระบบควบคุมความร้อนจากเทอร์โนไซฟ่อน ทำให้อากาศมีอุณหภูมิสูงขึ้นก่อนไหล่เข้าห้องอบทำให้ประบัดพลังงานที่ใช้กับอุปกรณ์ให้ความร้อน



รูปที่ 1.5 แสดงการประยุกต์ใช้เทอร์โนไซฟ่อนในการผลิตกระแสไฟฟ้า [3]

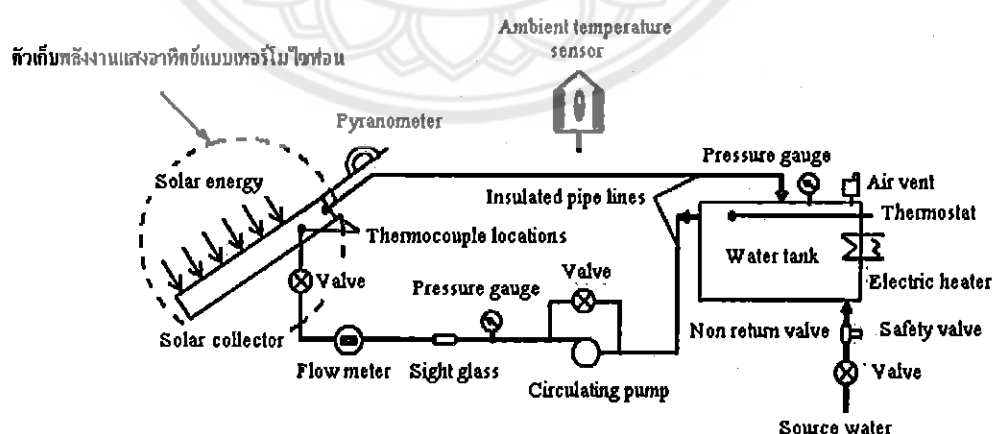
จากรูปที่ 1.5 ใช้จากการระเหยเนื้องจาก การให้ความร้อนที่ส่วนทำระเหยซึ่งมีการทำงานแบบเทอร์โนไซฟ่อนภายในมีกังหันและต่อเข้ากับเครื่องกำนันิดกระแสงไฟฟ้า เมื่อไปพัดเกิดการหมุนเนื่องจากไอลร้อนนี้เครื่องกำนันิดกระแสงไฟฟ้าก็จะให้กำนันิดกระแสงไฟ ซึ่งสามารถนำไปใช้งานต่อได้ส่วนไอลร้อนเมื่อได้สัมผัสกับส่วนที่มีอุณหภูมิต่ำในส่วนความแปร่ก็จะเปลี่ยนสถานะเป็นของเหลวไหลลงสู่ส่วนทำระเหยเป็นวัฏจักรเช่นนี้เรื่อยๆไป

เทอร์โนไซฟ่อนที่วางตัวในแนวเอียงนั้นก็สามารถนำไปประยุกต์ในการใช้งานจริงได้ เช่นกัน ถึงแม้ว่าจะประยุกต์ใช้ได้หลากหลายไม่เท่ากับเทอร์โนไซฟ่อนที่วางตัวในแนวตั้ง แต่ที่เห็นได้ชัดเจนก็คือการนำไปประยุกต์ใช้กับตัวเก็บพลังงานแสงอาทิตย์ (Solar collector) ดังรูปที่ 1.6



รูปที่ 1.6 แสดงการประยุกต์ใช้เทอร์โนไซฟ่อนกับตัวเก็บพลังงานแสงอาทิตย์ [4]

จากรูปที่ 1.6 ส่วนทำระเหยนั้นจะได้รับความร้อนจากแสงอาทิตย์และมีการระบายความร้อนด้วยน้ำเย็นที่ไหลเข้าทางด้านล่างของส่วนความแన่นและไหลออกทางด้านบนของส่วนความแన่น มีการทดสอบว่าส่วนทำระเหยเพื่อที่จะได้คุณภาพแสงอาทิตย์ได้มากขึ้น เมื่อนำมาประกอบทำมุมเอียง 30 องศา จากแนวระดับเข้ากับชุดอุปกรณ์อื่นๆ สำหรับเก็บพลังงานแสงอาทิตย์จะได้ ดังรูปที่ 1.7



รูปที่ 1.7 แสดงการประกอบใช้เทอร์โนไซฟ่อนกับตัวเก็บพลังงานแสงอาทิตย์เข้ากับชุดอุปกรณ์อื่นๆ สำหรับเก็บพลังงานแสงอาทิตย์ [4]

จากรุปที่ 1.7 มีการปล่อยน้ำจากถังน้ำไว้ให้ไปยังห้องทดลองในใช้ฟอนที่อยู่ในแผงรับแสงอาทิตย์ซึ่งทำมุมเอียงจากแนวระดับ สารทำงานจะได้รับความร้อนจากแสงอาทิตย์ที่ส่วนทำระเหยและใช้น้ำเย็นที่ไหลจากถังน้ำเป็นตัวระบายความร้อนที่ส่วนควบคุม และมีตัววัดผลลัพธ์งานแสงอาทิตย์ (Pyranometer) ติดอยู่ที่ด้านบนของแผงรับแสงอาทิตย์

ดังที่ได้ยกตัวอย่างการประยุกต์ใช้ห้องทดลองในใช้ฟอนกับการใช้งานจริงไปแล้วนั้น ในการใช้งาน จริงเรามีสามารถเดินถึงการทำงานภายในของห้องทดลองได้ เมื่อจากวัสดุที่ใช้ทำห้องทดลองไม่โปร่งใส วัสดุที่ใช้ทำจำเป็นต้องเป็นโลหะเพื่อทำให้ห้องสามารถพักความร้อนได้ดี ดังนั้นการจะศึกษาการทำงานให้เข้าใจอย่างถ่องแท้จึงเป็นไปได้ยากลำบาก เพราะเราไม่สามารถจะเห็นถึงการทำงานภายในห้องทดลองในใช้ฟอนนี้ได้ ไม่สามารถสังเกตผลกระทบของตัวแปรต่างๆ เช่น อัตราการเติมสารทำงาน อุณหภูมิส่วนทำระเหย อัตราส่วนสนับสนุน ความขาวของส่วนทำระเหย ซึ่งเหล่านี้ จะส่งผลต่อรูปแบบการไหลภายใน ทำให้ไม่สามารถวิเคราะห์ได้ว่ารูปแบบการไหลภายในส่งผลอย่างไรต่อค่าการถ่ายเทความร้อน ดังนั้นโครงงานนี้จึงออกแบบรูปแบบการทดลอง เพื่อศึกษาการทำงานภายในห้องทดลองในใช้ฟอนนี้เพื่อให้เข้าใจหลักการทำงานและสามารถวิเคราะห์ผลกระทบของตัวแปรต่างๆ ที่มีต่อการทำงานของห้องทดลองในใช้ฟอน และเดือดศึกษาห้องทดลองในใช้ฟอนที่วางแผนไว้ในแนวคิ่งนี้จากห้องทดลองในใช้ฟอนในแนวคิ่งนี้สามารถนำไปประยุกต์ใช้งานได้มากกว่าห้องทดลองในใช้ฟอนในแนวเอียงและตัวแปรในการศึกษาคือ อัตราการเติมสารทำงาน และอุณหภูมิของส่วนทำระเหย เมื่อจากการศึกษาพบทวนงานวิจัยที่เกี่ยวข้องพบว่าขึ้นไม่มีงานวิจัยใดที่กล่าวถึงผลกระทบของห้องทั้ง 2 ตัวแปรนี้

## 1.2 วัสดุประสงค์

1.2.1 ศึกษารูปแบบการไหลภายในห้องทดลองในใช้ฟอนที่วางแผนคิ่ง

1.2.2 ศึกษาผลกระทบของอุณหภูมิส่วนทำระเหยและอัตราการเติมสารทำงานที่มีผลต่อรูปแบบการไหลภายในห้องทดลองในใช้ฟอน และค่าการถ่ายเทความร้อนของห้องทดลองในใช้ฟอนที่วางแผนคิ่ง

## 1.3 ขอบเขตของการทดลอง

1.3.1 เห้องทดลองสร้างจากท่อแก้ว Pyrex ขนาดเส้นผ่าศูนย์กลางภายนอก 16 มิลลิเมตร และเส้นผ่าศูนย์กลางภายใน 12 มิลลิเมตร ความยาวส่วนทำระเหย 360 มิลลิเมตร ความยาวส่วนที่ไม่มีการถ่ายเทความร้อน 200 มิลลิเมตร ความยาวส่วนควบคุม 305 มิลลิเมตร

1.3.2 ใช้น้ำถังเป็นสารทำงาน

1.3.2 เทอร์โมไชฟ่อนวางตัว 90 องศาจากแนวระดับ

1.3.3 ตัวแปรการทดลองประกอบด้วย

- อุณหภูมิส่วนทำระเหย คือ  $50^{\circ}\text{C}$   $60^{\circ}\text{C}$   $70^{\circ}\text{C}$  และ  $80^{\circ}\text{C}$

- อัตราการเติมสารทำงาน คือ 30% 50% และ 70% ของปริมาตรส่วนทำระเหย

#### 1.4 ขั้นตอนการดำเนินงาน

1.4.1 ศึกษาถูกต้องและบทความที่เกี่ยวข้องจากห้องสมุด อินเทอร์เน็ต และงานวิจัยต่างๆ

1.4.2 ศึกษาแนวทางในการสร้างเครื่องเพื่อเตรียมวัสดุในการสร้างเครื่อง และทำการออกแบบอุปกรณ์การทดลองเพื่อให้สามารถมองเห็นรูปแบบการไหลภายในที่สามารถทดลองตามตัวแปรต่างๆได้

1.4.3 ดำเนินการสร้างและปรับแก้อุปกรณ์การทดลองเชิงทัศน์

1.4.4 ทดสอบและประเมินผลตามตัวแปรต่างๆ หลังจากนั้นทำการวิเคราะห์ผลของตัวแปรต่างๆ ที่มีต่อรูปแบบการไหลภายในเทอร์โมไชฟ่อน

1.4.5 สรุปผลการทดลองและทำการรายงาน

ตารางที่ 1.1 แสดงระยะเวลาและแผนการปฏิบัติงาน

กิจกรรม	2549				2550						
	ธ.ค.	ม.ค.	ก.พ.	มี.ค.	เม.ย.	พ.ค.	มิ.ย.	ก.ค.	ส.ค.	ก.ย.	ต.ค.
ศึกษาถูกต้องและงานวิจัย											
ศึกษาแนวทางในการสร้างเครื่อง ออกแบบอุปกรณ์ในการทดลอง											
ดำเนินการสร้างและปรับแก้ อุปกรณ์การทดลองเชิงทัศน์											
ทดสอบและประเมินผลและ วิเคราะห์ผลการทดลอง											
สรุปผลการทดลองและทำการรายงาน											

#### สถานที่ปฏิบัติงาน

ภาควิชาวิศวกรรมเครื่องกล คณะวิศวกรรมศาสตร์ มหาวิทยาลัยนเรศวร

### 1.5 ประโยชน์ที่คาดว่าจะได้รับ

1.5.1 เข้าใจถึงกระบวนการทำงานภายในของเทอร์โน่ไฟฟอนที่วางตัวในแนวตั้ง

1.5.2 เข้าใจถึงผลกระทบของตัวแปรที่มีต่อรูปแบบการไฟลภายในเทอร์โน่ไฟฟอน ซึ่งจะส่งผลกระทบต่อการถ่ายเทความร้อน

1.5.3 ได้มีการพัฒนาอุปกรณ์การศึกษาฐานรูปแบบเชิงทัศน์ของเทอร์โน่ไฟฟอน

### 1.6 งบประมาณ

1.6.1 ค่าจ้างเหมาสร้างเครื่อง	11600 บาท
-------------------------------	-----------

1.6.2 ค่าปืนน้ำร้อน	4500 บาท
---------------------	----------

1.6.3 วาล์วประดูน้ำ	200 บาท
---------------------	---------

1.6.4 ชุดอุปกรณ์ควบคุมและซีดิเตอร์	11150 บาท
------------------------------------	-----------

1.6.5 วัสดุที่ใช้ในการสร้างเครื่องและทดสอบ (เช่น ท่อแก้ว Pyrex, แผ่นสแตนเลส, กาวแคง ฯลฯ)	31800 บาท
---	-----------

1.6.6 ค่าวัสดุคอมพิวเตอร์	2680 บาท
---------------------------	----------

1.6.7 ค่าถ่ายเอกสาร	2991 บาท
---------------------	----------

รวมเป็นค่าใช้จ่ายทั้งสิ้น	64921 บาท
---------------------------	-----------

## บทที่ 2

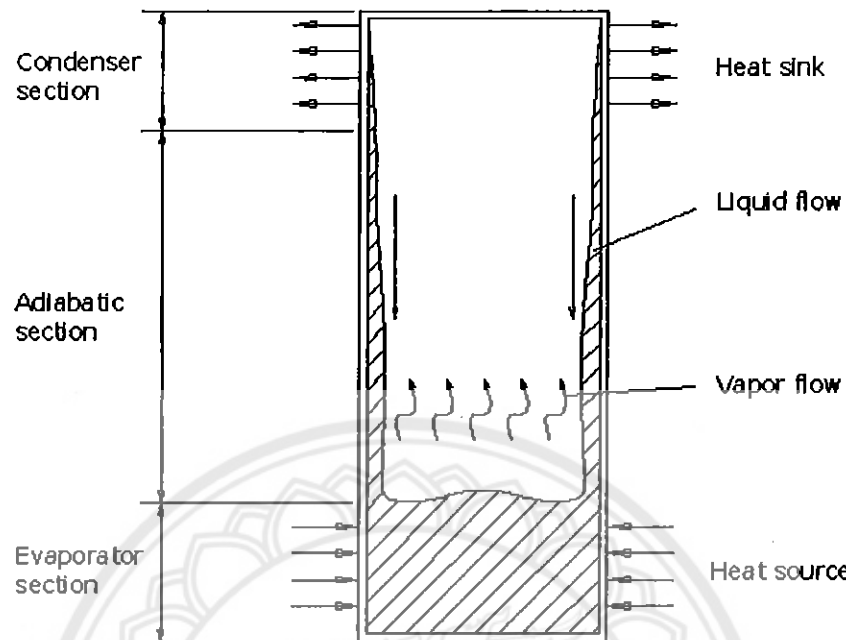
### หลักการและทฤษฎี

ทฤษฎีเกี่ยวกับโครงงานนี้เป็นทฤษฎีเกี่ยวกับเทอร์โน่ไซฟอนซึ่งทางตัวในดิ่ง โดยเริ่มตั้งแต่ หลักการทำงานของเทอร์โน่ไซฟอน รูปแบบการไหลต่างๆ ที่จะเกิดขึ้นเมื่ออุณหภูมิส่วนทำระเหบสูง พอ ค่าการถ่ายเทความร้อน และงานวิจัยที่เกี่ยวข้อง ในโครงงานนี้จำเป็นต้องรู้ทฤษฎีเหล่านี้เพื่อเป็น แนวทางในการวิเคราะห์ผลการทดลอง และการคำนวณหาค่าการถ่ายเทความร้อน สามารถแบ่ง การศึกษาทฤษฎีได้ดังนี้

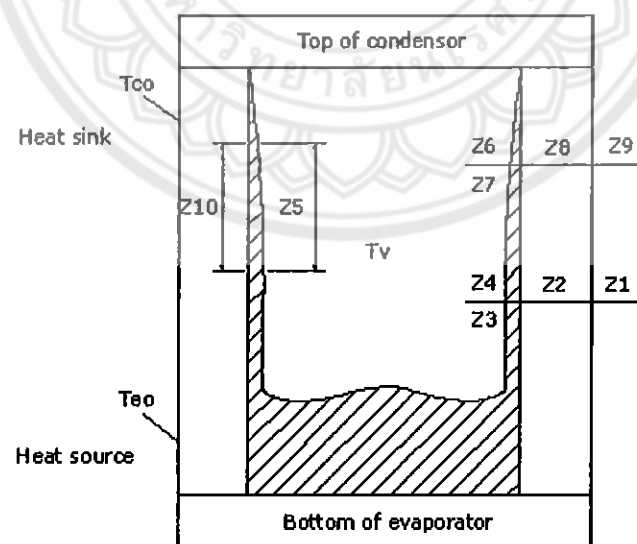
#### 2.1 หลักการทำงานของเทอร์โน่ไซฟอน 2 สถานะแบบปิด (two-phase closed thermosyphon)

เทอร์โน่ไซฟอน 2 สถานะแบบปิด จะมีโครงสร้างเป็นภาชนะปิด โดยภายในบรรจุสารทำงานและเป็นถุงอย่างภาค (เพื่อให้ภายในมีความดันต่ำกว่าความดันบรรจุภาคทำให้สารทำงานเดือดได้เร็วกว่าปกติ) โดยภาชนะปิดนี้จะแบ่งออกเป็น 3 ส่วนคือ ส่วนทำระเหบ (Evaporator section) เป็นส่วนที่ให้ความร้อนกับสารทำงานซึ่งจะมีอุณหภูมิสูง ส่วนที่ไม่มีการถ่ายเทความร้อน (Adiabatic section) ส่วนควบแน่น (Condenser section) เป็นส่วนระบายความร้อนซึ่งจะมีอุณหภูมิต่ำ ส่วนควบแน่นนี้จำเป็นจะต้องอยู่เหนือส่วนทำระเหบเสมอ เมื่อสารทำงานซึ่งอยู่ในส่วนทำระเหบนี้ได้รับความร้อนมากพอ สารทำงานจะเริ่มเดือดและเกิดรูปแบบการไหลขึ้นซึ่งจะส่งผลต่อค่าการถ่ายเทความร้อน สารทำงานบางส่วนจะร้อนจนเปลี่ยนสถานะกลาญเป็นไอโดยขึ้นสู่ด้านบนผ่าน ส่วนที่ไม่มีการถ่ายเทความร้อนไปปั้งส่วนควบแน่น เมื่อไอเหล่านี้สัมผัสถกับผิวดองส่วนควบแน่นซึ่ง มีอุณหภูมิที่ต่ำกว่าจะถูกความร้อนให้กับพื้นผิวแล้วก็จะเปลี่ยนสถานะตัวเองเป็นของเหลวไหล ตามผิวท่อกลับสู่ส่วนทำระเหบเพื่อไปรับความร้อนอีกรอบหนึ่งนี้เรียกว่า循環 ไม่ถูกกำหนดเป็นวัฏจักรเช่นนี้เรียกว่า ดังรูปที่ 2.1

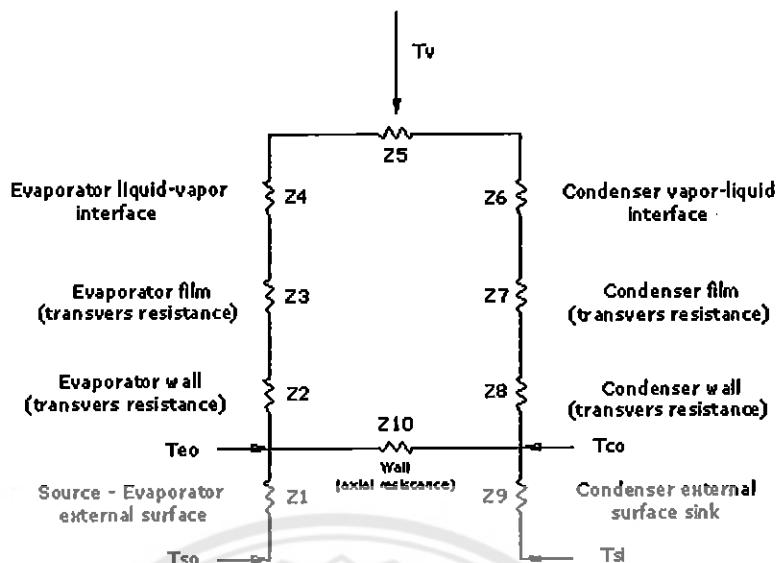
สามารถแสดงค่าความต้านทานความร้อนที่ส่วนต่างๆ ทั้งภายในและภายนอกของเทอร์โน่ไซฟอน 2 สถานะแบบปิด ได้ดังรูปที่ 2.2 และข้างสามารถแสดงค่าความต้านทานความร้อนเหล่านี้ในรูปของ วงจรความต้านทานได้ ดังรูปที่ 2.3



รูปที่ 2.1 แสดงหลักการและส่วนประกอบต่างๆ ของเทอร์โน่ไฟฟอน 2 สถานะแบบปิด [1]



รูปที่ 2.2 แสดงตำแหน่งค่าความต้านทานของห้องท่อความร้อนเทอร์โน่ไฟฟอน 2 สถานะแบบปิด [1]



รูปที่ 2.3 แสดงวงจรค่าความต้านทานของท่อความร้อนเทอร์โน่ไซฟอน 2 สถานะแบบปิด [1]

## 2.2 การถ่ายเทความร้อนในการทำงานของเทอร์โน่ไซฟอน 2 สถานะแบบปิด

ในการทำงานของเทอร์โน่ไซฟอน 2 สถานะแบบปิด สามารถแสดงอัตราการถ่ายเทความร้อนทึ้งหนด (Q) ได้โดย ความต้านทานความร้อนทึ้งหนด (Z) และ ผลต่างของอุณหภูมิที่ส่วนให้ความร้อนและที่ส่วนระบบความร้อน ( $\Delta T = T_{so} - T_{si} - \Delta T_h$ ) ทำให้ได้ความสัมพันธ์ ดังนี้

$$Q = \Delta T / Z \quad (2.1)$$

โดย  $T_{so}$  กือ อุณหภูมิของส่วนให้ความร้อน

$T_{si}$  กือ อุณหภูมิของส่วนระบบความร้อน

$\Delta T_h$  กือ ผลต่างของอุณหภูมิเฉลี่ยเนื่องจากความต่างของ Hydro static head

$$\text{เปรียบเทียบจากความสัมพันธ์ } Z_{10}/(Z_2+Z_3+Z_5+Z_7+Z_8) > 20 \quad (2.2)$$

หากมากกว่า 20 ค่า Z สามารถหาได้จาก

$$Z = Z_1 + Z_2 + Z_3 + Z_5 + Z_7 + Z_8 + Z_9 \quad (2.3)$$

หากน้ำอุ่นกว่าหรือเท่ากับ  $20^{\circ}\text{C}$  สามารถหาได้จาก

$$Z = Z_1 + [(Z_2 + Z_3 + Z_5 + Z_7 + Z_8)^{-1} + 1/Z_{10}]^{-1} + Z_9 \quad (2.4)$$

และสามารถแสดงคำแนะนำ ว่าจะค่าความต้านทานแต่ละตัวได้ดังนี้

$Z_1$  และ  $Z_9$  คือ ค่าความต้านทานความร้อนโดยการพาระห่วงส่วนให้ความร้อนกับผิวนอกของส่วนทำระเหย และระหว่างผิวนอกของส่วนควบแน่นกับตัวระบบความร้อน ตามลำดับ โดยใช้ความสัมพันธ์ดังนี้

$$Z_1 = 1/(h_{eo} S_{eo}) \text{ และ } Z_9 = 1/(h_{co} S_{co}) \quad (2.5)$$

โดย	$h_{eo}$	คือ ค่าสัมประสิทธิ์การพาความร้อนที่ผิวนอกของส่วนทำระเหย
	$h_{co}$	คือ ค่าสัมประสิทธิ์การพาความร้อนที่ผิวนอกของส่วนควบแน่น
	$S_{eo}$	คือ พื้นที่ผิวภายนอกของส่วนทำระเหย
	$S_{co}$	คือ พื้นที่ผิวภายนอกของส่วนควบแน่น

$Z_2$  และ  $Z_8$  คือ ค่าความต้านทานความร้อนโดยการนำผ่านความหนาของผนังในส่วนทำระเหยและส่วนควบแน่น ตามลำดับ โดยใช้ความสัมพันธ์ดังนี้

$$Z_2 = \frac{\ln(D_0/D)}{2\pi I_c \lambda_x} \text{ และ } Z_8 = \frac{\ln(D_0/D)}{2\pi I_c \lambda_x} \quad (2.6)$$

โดย	$D_0$	คือ เส้นผ่านศูนย์กลางภายนอกของห้อง
	$D$	คือ เส้นผ่านศูนย์กลางภายในของห้อง
	$\lambda_x$	คือ Thermal conductivity ( ค่าการนำความร้อน )
	$I_c$	คือ ความยาวของส่วนทำระเหย และ ส่วนควบแน่น ตามลำดับ

$Z_3$  และ  $Z_5$  คือ ค่าความต้านทานความร้อนของของเหลวที่กำลังเต็อคและความแน่นภายในเทอร์โมไฟฟ่อน โดยค่าความต้านทานนี้จะขึ้นกับ คุณสมบัติของของไอล ขนาดเส้นผ่านศูนย์กลางของเทอร์โมไฟฟ่อน และอัตราการถ่ายเทความร้อน โดยใช้ความสัมพันธ์ดังนี้

$$Z_3 = Z_{3P}F + Z_{3f}(1-F) \quad (2.7)$$

$$Z_{3f} = \frac{CQ^{1/3}}{D^{3/4} g^{1/3} l_e(\Phi_2)^{4/3}} \quad (2.8)$$

$$Z_{3p} = \frac{1}{l_e \Phi_3 g^{0.2} Q^{0.4} (\pi D l_e)^{0.6}} \quad (2.9)$$

โดย

g คือ ค่าความเร่งเนื่องจากแรงโน้มถ่วงของโลก มีค่า  $9.81 \text{ m}^2/\text{s}$  $Z_{3f}$  คือ ค่าความด้านทานความร้อนของฟิล์ม $Z_{3p}$  คือ ค่าความด้านทานความร้อนของการเดือดเป็น气泡 $\Phi_2$  คือ Figure of Merit $\Phi_3$  คือ (คุณสมบัติทางฟิสิกส์) Physical properties

$$\text{หากของไอลเป็นน้ำ} \quad \Phi_3 = 63(P_v/P_a)^{0.23} \quad (2.10)$$

$$\text{หากของไอลเป็นไอนีน} \quad \Phi_3 = 56(P_v/P_a)^{0.23} \quad (2.11)$$

$$C = 0.235$$

$$Z_7 = \frac{CQ^{1/3}}{D^{3/4} g^{1/3} l_e(\Phi_2)^{4/3}} \quad (2.12)$$

$Z_4$  และ  $Z_6$  คือ ค่าความด้านทานความร้อนที่เกิดขึ้นระหว่างที่ผิวน้ำของของเหลวและไออกไซในส่วนทำระเหยและส่วนควบแน่นตามลำดับ ซึ่งมีค่าน้อยมาก จึงไม่นำมาคิด

$Z_5$  คือ ค่าความด้านทานความร้อนที่เกิดจากความดันตอกคร่อมระหว่างส่วนทำระเหยและส่วนควบแน่น เมื่อเปรียบเทียบ กับ  $Z_3$  และ  $Z_7$  จึงไม่นำมาคิด

$Z_{10}$  คือ ค่าความด้านทานความร้อน โดยการนำในแนวแกนท่อผ่านพื้นที่หน้าตัดของผนังท่อจากส่วนทำระเหยมาขึ้นส่วนควบแน่น โดยใช้ความสัมพันธ์ดังนี้

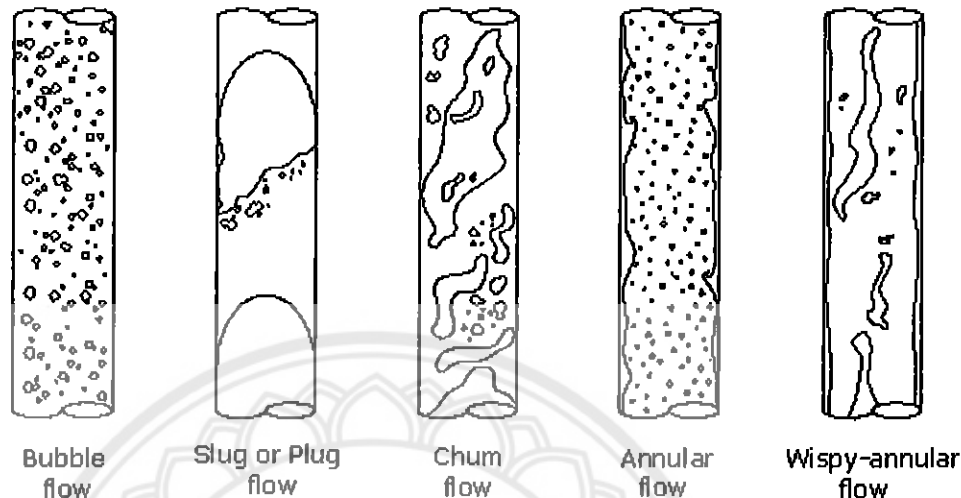
$$Z_{10} = (0.5 l_e + l_a + 0.5 l_c)/(A_x \lambda_x) \quad (2.13)$$

โดย  $A_x$  คือ พื้นที่หน้าตัดของผนังภาชนะ

$l_e$  คือ ความยาวของส่วนที่ไม่มีการถ่ายเทความร้อน

### 2.3 รูปแบบการไหลของสตานะภายในท่อหน้าตัดกลมที่วงตัวแนวตั้ง

รูปแบบการไหลภายในท่อของแนวตั้ง แสดงและให้คำจำกัดความ ได้ดังนี้



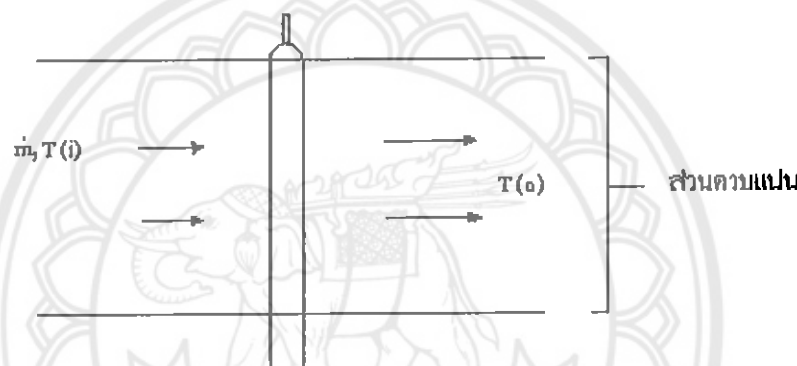
รูปที่ 2.4 แสดงรูปแบบการไหลภายในท่อปิดในแนวตั้ง [5]

- **Bubble flow** เป็นการไหลในช่วงเริ่มต้นของการไหลของฟองอากาศในของเหลวอย่างต่อเนื่อง และ ฟองไอนี เพราะกระบวนการทั่วของเหลว
- **Slug flow** หรือ **Plug flow** เมื่อความเร็วเพิ่มขึ้นฟองอากาศนั้นจะเริ่มจับคันเป็นลักษณะของหัวกระสุนปืน และการแพร่กระจายของฟองอากาศน้อยกว่า Bubble flow
- **Churn flow** เนื่องจากความเร็วในการไหลเพิ่มมากขึ้นอีกทำให้ไอล่วนที่เป็นลักษณะกระสุนเกิดการแตกออก形成มาซึ่งความไม่เสถียรภายในท่ออาจทำให้ห้องเกิดการสั่นได้แต่ในกรณีที่ห้องมีเดินผ่านศูนย์กลางที่เล็กการสั่นนี้อาจไม่เกิดขึ้น
- **Annular flow** การไหลในช่วงนี้มีความเร็วของกระแสทั้งของเหลวจะไหลขึ้นไปตามผิวห่อเป็นแผ่น พิสูจน์ส่วนที่เป็นไอลดูตระหง่านของห่อ

- Wispy Annular flow ในการไอลชนิกนี้ความเร็วในการไอลของไอนั้นจะเพิ่มมากขึ้น จนสามารถพาของเหลวที่ไอลเป็นฟิล์มไอลตามขึ้นไปกับส่วนที่เป็นไอล โดยของเหลวนี้จะรวมตัวกันจนเป็นก้อนนูน เรียกว่า "Wisp" และจะมี mass flux สูงมาก

#### 2.4 การคำนวณอัตราการถ่ายเทความร้อนในส่วนควบคุม

จากการทดลองได้บันทึกค่าของอัตราการไอลของน้ำเย็น, ค่าอุณหภูมิของน้ำเย็นขาเข้าและค่าอุณหภูมิของน้ำเย็นขาออกที่ตู้ส่วนควบคุม และนำค่าที่บันทึกได้เหล่านี้มาคำนวณค่าการถ่ายเทความร้อนของเทอร์โมไฟฟ่อนทั้ง 2 หลอด ดังรูปที่ 2.5 และสมการที่ 2.14



รูปที่ 2.5 แสดงรูปประชุมการคำนวณอัตราการถ่ายเทความร้อนในส่วนควบคุม

$$Q = \dot{m} C_p \Delta T = \dot{m} C_p (T_o - T_i) \quad (2.14)$$

โดยที่  $Q$  เป็นอัตราการถ่ายเทความร้อน (kW)

$\dot{m}$  เป็นอัตราการไอลของน้ำเย็น

$C_p$  เป็นค่าความถูกความร้อนจำเพาะของน้ำเย็น

$\Delta T$  เป็นค่าความแตกต่างของอุณหภูมน้ำเย็นขาเข้าและขาออก

$T_i$  เป็นค่าอุณหภูมน้ำเย็นขาเข้า

$T_o$  เป็นค่าอุณหภูมน้ำเย็นขาออก

## 2.5 การทวนทราบวิธีที่เกี่ยวข้อง

จากการศึกษางานทดลองของ P. Terdtoon, M. Chailungkar, and S. Ritthidej ในเรื่องผลกราฟของ Bond number ที่มีผลกับการไหล 2 สถานะภายในห้องปิดที่ทำงาน แบบเทอร์โน่ไซฟอนซึ่งทำงานในสภาวะปกติ โดยทำการทดสอบ ท่อ 2 ขนาดที่เส้นผ่านศูนย์กลางไม่เท่ากัน และวงศ์วันในแนว 90 องศา และ 30 องศา โดยแบ่งศึกษาการเปลี่ยนแปลงรูปแบบการไหลและค่าความร้อนที่เกิดขึ้นเป็น 3 ช่วง

$$\text{โดย Bond number (Bo) } = d [\sigma g (\rho_f - \rho_v)/\rho^2]^{1/2} \quad (2.15)$$

ทำการคำนวณด้วยค่าที่ได้ คือ

อุณหภูมิไออกซิเจน 30°C อัตราการเติมสารทำงาน คือ 50 % และสารทำงาน คือสารทำความเย็น

R123

ตัวแปรที่ปรับค่าได้ คือ

ค่าเส้นผ่านศูนย์กลางภายในห้อง 11.2 และ 25.4 มิลลิเมตร และมีค่า L/d เท่ากับ 5, 10 และ 30 มุมเอียง 90 องศา และ 30 องศา จากแนวระดับ

และจากการทดลองสามารถสรุปได้ว่ารูปแบบการไหลจะขึ้นกับ aspect ratio (Le/d) และ Bond number (Bo) ดังนี้

- ที่ (Le/d) มีค่าเท่ากับ 10 หรือนอกกว่า จากการไหลแบบ Annular flow ในแนวตั้ง เมื่อท่อวงศ์วันเอียงจะเปลี่ยนการไหลเป็นแบบ slug flow จะมีแผ่นพื้นของเหลวบางๆ อยู่ส่วนบนซึ่งจะช่วยในการระบายความร้อนได้ ในการพิเศษ化เปรียบเทียบอัตราการถ่ายเทขายความร้อนระหว่างการวางท่อในแนวราบกับการวางท่อในแนวตั้ง จะพบว่ามีอัตราการถ่ายเทขายความร้อนที่ใกล้เคียงกันมาก

- ที่ (Le/d) มีค่าน้อยกว่า 10 และ Bo มีค่าน้อย จากการไหลแบบ bubbly flow ในแนวตั้ง เมื่อท่อวงศ์วันเอียงจะเปลี่ยนการไหลเป็นแบบ stratified flow น้ำครึ่งในส่วนล่างอาจจะมองเห็นฟองไอที่รวมตัวกันเป็นลักษณะหัวกระสุน

- ที่ (Le/d) มีค่าน้อยกว่า 10 และ Bo มีค่ามาก จากการไหลแบบ bubbly flow เมื่อท่อวงศ์วันเอียงจะเปลี่ยนเป็นการไหลแบบ stratified flow และ bubbly flow ในส่วนนี้จะปราศจากฟองไอที่รวมตัวกันเป็นลักษณะหัวกระสุน หากเปรียบเทียบอัตราการถ่ายเทขายความร้อนระหว่างการวางท่อในแนวราบกับการวางท่อในแนวตั้ง จะพบว่ามีอัตราการถ่ายเทขายความร้อนที่สูงกว่าในกรณีที่ Bo มีค่าน้อย จาก 2 ปัจจัยนี้อาจสามารถสรุปได้ 2 ข้อ คือ

1. บริเวณพื้นที่ด้านล่างของห้องจะไม่ถูก-cn-กวนด้วยฟองไอ

## 2. ฟองไอที่รวมตัวกันเป็นลักษณะหัวกระสุนจะไม่เคลื่อนที่สู่ด้านบนของท่อ

จากการศึกษางานทดลองของ P. Terdtoon M. Chailungkar, and M. Shiraishi ในเรื่องของผลกระทบของอัตราส่วนสนทรสนท์ ที่มีต่อรูปแบบการไหลภายในท่อเทอร์โนไซฟ่อนช่วงทางด้านในแนวเอียงที่การทำงานสภาวะปกติ

เทอร์โนไซฟ่อนมีเส้นผ่านศูนย์กลาง 11 มิลลิเมตร เลือกใช้สารทำงานเป็นสารทำความเย็น R123 อุณหภูมิไอ  $30^{\circ}\text{C}$  อัตราการเติมที่ 80% เป็นการสังเกตประกายการณ์การไหล เสือกมุมเอียงที่  $90^{\circ}$ ,  $30^{\circ}$  และ  $5^{\circ}$  จากแนวคิ่ง มีอัตราส่วนสนทรสนท์ 30, 10, และ 5 ปรากฏการการไหลจะถูกบันทึกไว้ในกล้องวิดีโอดังกล่าวและถ่ายภาพ และถ้าการถ่ายภาพความร้อนจะถูกบันทึกไว้ด้วย

จากการศึกษาแบบวิเคราะห์ถึงผลกระทบของ  $Le/d$  ที่มีต่อประกายการณ์ของรูปแบบการไหลภายในท่อเทอร์โนไซฟ่อนช่วงทางด้านในแนวเอียงที่การทำงานสภาวะปกติ สามารถที่จะสรุปได้ว่ารูปแบบการไหลภายในพื้นฐานสามารถแบ่งตามเงื่อนไขของ  $Le/d$  แสดงได้ดังนี้

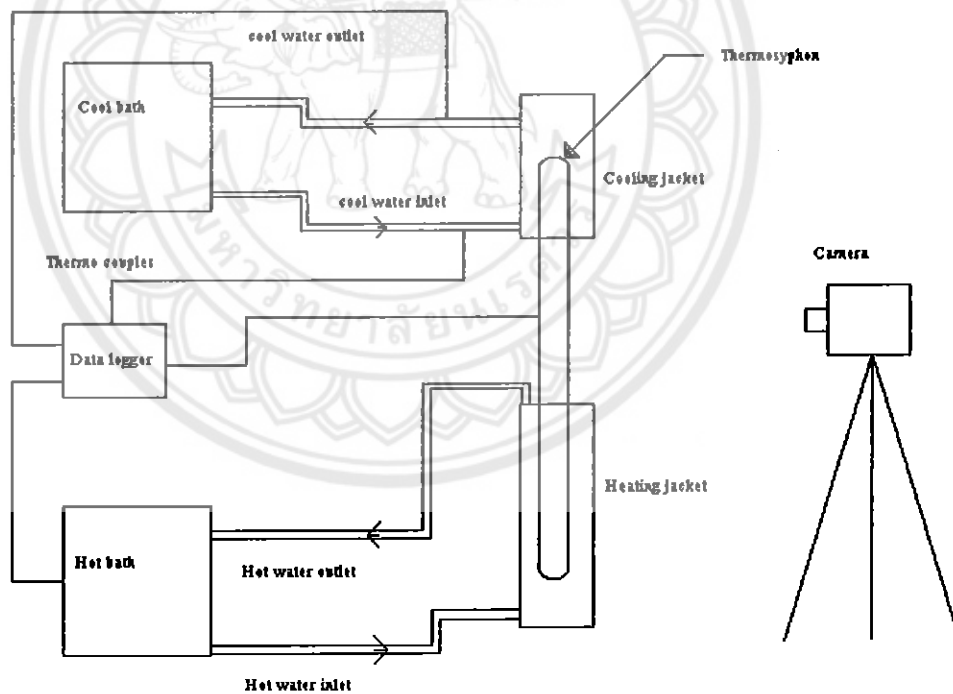
ที่  $Le/d$  มีค่า 10 หรือสูงกว่า รูปแบบการไหลภายในจะเปลี่ยนจาก annular และ churn flow ที่แนวคิ่ง ไปเป็น stratified slug flow ที่แนวเอียง และในขณะเดียวกันมีการปรับปุ่งอัตราการถ่ายภาพความร้อนระหว่างแนวคิ่งและแนวเอียง ดังนั้นการเปลี่ยนแปลงของรูปแบบการไหลภายในจะช่วยรักษาสภาวะเปียกที่ผิวท่อค้านในของส่วนที่ระเหยแม้แต่ในการทำงานที่สภาวะปกติ

ที่  $Le/d$  มีค่าน้อยกว่า 10 การไหลแบบ bubbly flow นั้นจะมีอิทธิพลทึ้งในแนวคิ่งและแนวเอียง ขึ้นอยู่กับสภาวะเปียกของแต่ละกรณี การเอียงตัวของเทอร์โนไซฟ่อนจากแนวคิ่งจะไม่ส่งผลต่อการเปลี่ยนรูปแบบการไหลภายในทั้งหมด ดังนั้นการปรับปุ่งอัตราการถ่ายภาพความร้อนจะทำได้มากกว่ากรณีก่อนหน้านี้

### บทที่ 3

#### การออกแบบ

จากวัตถุประสงค์ของโครงการ คือ การสร้างอุปกรณ์การทดลองเพื่อศึกษารูปแบบการไหลภายในท่อเทอร์โมไฟฟ่อน โดยจะถูกแบ่งออกเป็น 2 ชุด คือ ชุดที่ 1 ศึกษารูปแบบการไหลในส่วนทำระเหยและชุดที่ 2 ศึกษารูปแบบการไหลในส่วนความแน่น โดยชุดการทำท่อทั้ง 2 ชุดนี้จะถูกวางแผนดังนี้ ซึ่งแต่ละชุดจะเติมสารทำงานที่ 30% 50% 70% ของปริมาตรส่วนทำระเหย และให้อุณหภูมิของส่วนทำระเหยที่ 50°C 60°C 70°C และ 80°C เมื่อสารทำงานในหลอดเทอร์โมไฟฟ่อนได้รับความร้อนจากน้ำร้อนในส่วนทำระเหยจะทำให้ท่อเทอร์โมไฟฟ่อนเริ่มทำงานและในส่วนความแน่นจะมีการระบายความร้อนด้วยน้ำเย็น โดยมีการบันทึกอุณหภูมิ และอัตราการไหลของน้ำเย็น รวมถึงบันทึกภาพรูปแบบการไหลของเทอร์โมไฟฟ่อน ดังรูปที่ 3.1



รูปที่ 3.1 แสดงแผนผังการทำงานของชุดอุปกรณ์การทดลอง

โครงการนี้แบ่งการศึกษาเทอร์โมไฟฟ่อนออกเป็น 2 ชุดการทดลองคือ ศึกษารูปแบบการให้ผลที่ส่วนทำระเหย และศึกษารูปแบบการให้ผลที่ส่วนควบแน่น จึงกำหนดให้ชุดทดลองแบบที่ 1 มีส่วนทำระเหยเป็นท่อแก้วเพื่อศึกษาที่ส่วนทำระเหย และชุดทดลองแบบที่ 2 มีส่วนควบแน่นเป็นท่อแก้วเพื่อศึกษาที่ส่วนควบแน่น มีการออกแบบชุดการทดลองของแต่ละชุดดังนี้

### 3.1 เทอร์โมไฟฟ่อนแบบที่ 1 มีส่วนทำระเหยเป็นท่อแก้ว

- ในส่วนทำระเหย ใช้หลอดแก้วไพรีกซ์ ( Pyrex glass tube ) ซึ่งสามารถทนความร้อนได้สูงและสามารถสังเกตเห็นถึงรูปแบบการให้ผลภายในได้ โดยที่มีขนาดเส้นผ่าศูนย์กลางภายนอก 16 มิลลิเมตร เส้นผ่านศูนย์กลางภายใน 12 มิลลิเมตร ยาว 360 มิลลิเมตร

- ส่วนควบแน่นและในส่วนที่ไม่มีการถ่ายเทความร้อน ใช้ท่อห่อแคงซึ่งมีค่าการนำความร้อนที่ดี โดยที่มีขนาดเส้นผ่านศูนย์กลางภายนอก 16 มิลลิเมตร เส้นผ่านศูนย์กลางภายใน 12 มิลลิเมตร ยาว 505 มิลลิเมตร และที่บริเวณค้านบนของท่อมีท่อเล็กเติมสารขนาดเส้นผ่านศูนย์กลางภายนอก 6.3 มิลลิเมตร ยาว 10 มิลลิเมตร

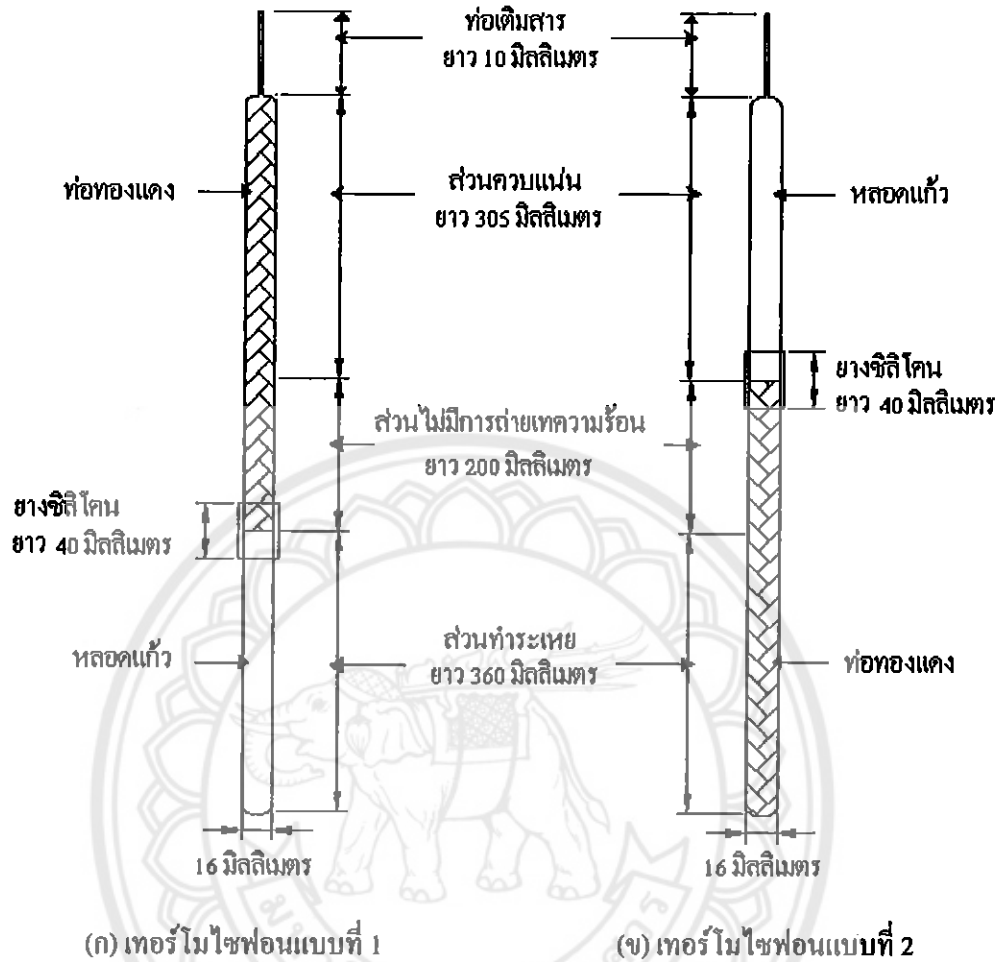
ใช้ท่อยางซิลิโคนซึ่งทนความร้อนได้สูงถึงอุณหภูมิ  $200^{\circ}\text{C}$  ทำการเช็คท่อทั้ง 2 ชนิดนี้ไว้ด้วยกัน โดยท่อซิลิโคนมีขนาดเส้นผ่านศูนย์กลางภายนอก 20 มิลลิเมตร เส้นผ่านศูนย์กลางภายใน 16 มิลลิเมตร ยาว 40 มิลลิเมตร ดังรูปที่ 3.2 ข

### 3.2 เทอร์โมไฟฟ่อนแบบที่ 2 มีส่วนควบแน่นเป็นท่อแก้ว

- ในส่วนทำระเหยและส่วนที่ไม่มีการถ่ายเทความร้อน ใช้ท่อห่อแคงซึ่งมีค่าการนำความร้อนที่ดี โดยที่มีขนาดเส้นผ่านศูนย์กลางภายนอก 16 มิลลิเมตร เส้นผ่านศูนย์กลางภายใน 12 มิลลิเมตร ยาว 560 มิลลิเมตร

- ในส่วนควบแน่นใช้หลอดแก้วไพรีกซ์ ( Pyrex glass tube ) ซึ่งสามารถทนความร้อนได้สูงและสามารถสังเกตเห็นถึงรูปแบบการให้ผลภายในได้ โดยที่มีขนาดเส้นผ่านศูนย์กลางภายนอก 16 มิลลิเมตร เส้นผ่านศูนย์กลางภายใน 12 มิลลิเมตร ยาว 305 มิลลิเมตร และบริเวณค้านบนของท่อมีท่อเล็กเติมสารขนาดเส้นผ่านศูนย์กลางภายนอก 6.3 มิลลิเมตร ยาว 10 มิลลิเมตร

ใช้ท่อยางซิลิโคนซึ่งทนความร้อนได้สูงในการเช็คท่อทั้ง 2 ชนิดนี้ไว้ด้วยกัน โดยท่อซิลิโคนมีขนาดเส้นผ่านศูนย์กลางภายนอก 20 มิลลิเมตร เส้นผ่านศูนย์กลางภายใน 16 มิลลิเมตร ยาว 40 มิลลิเมตร ดังรูปที่ 3.2 ข



รูปที่ 3.2 เทอร์โน้ไซฟ่อนทั้ง 2 ชุดการทดลอง

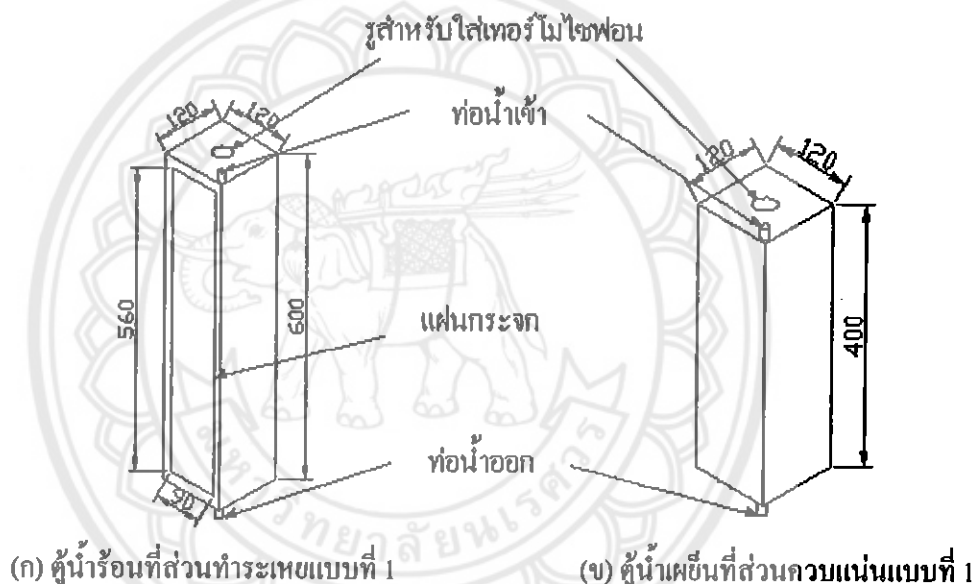
สำหรับคุณภาพของเทอร์โน้ไซฟ่อนนั้นทำการแบ่งออกเป็น 2 ชุดการทดลองเช่นเดียวกันคือ ตู้น้ำสำหรับใส่เทอร์โน้ไซฟ่อนแบบที่ 1 ซึ่งพิจารณาที่ส่วนทำระเหย และตู้น้ำสำหรับใส่เทอร์โน้ไซฟ่อนแบบที่ 2 ซึ่งพิจารณาที่ส่วนควบแน่น ซึ่งแต่ละชุดจะประกอบด้วยตู้น้ำ 2 ตู้ คือตู้น้ำร้อนสำหรับส่วนทำระเหย และตู้น้ำเย็นสำหรับส่วนควบแน่น ดังนี้

### 3.3 ตู้น้ำร้อนและตู้น้ำเย็นของเทอร์โน้ไซฟ่อนแบบที่ 1

- ที่ตู้น้ำร้อนเลือกใช้สแตนเลส ซึ่งมีคุณสมบัติกันความร้อนได้สูงและไม่เป็นสนิม โดยมีขนาด กว้าง 120 มิลลิเมตร สูง 120 มิลลิเมตร สูง 600 มิลลิเมตร และมีแผ่นกระจกประกอบที่ด้านหน้าและด้านหลังของตู้เพื่อสังเกตการเปลี่ยนแปลงได้ตามวัตถุประสงค์และสามารถบันทึกภาพ

เก็บไว้ได้ โดยกระชากมีขนาดกว้าง 90 มิลลิเมตร ยาว 560 มิลลิเมตร หนา 5 มิลลิเมตร ที่ด้านบนจะระบุเพื่อใส่เทอร์โนไซฟอน ขนาดเส้นผ่านศูนย์กลาง 17 มิลลิเมตร และมีท่อสำหรับน้ำเข้า�้าอกขนาดเส้นผ่านศูนย์กลางภายนอก 7 มิลลิเมตร ยาว 50 มิลลิเมตร ทั้งด้านบนและด้านล่างของตู้ ดังรูปที่ 3.3 ก

- ที่ตู้น้ำเข็นเลือกใช้สแตนเลส ซึ่งมีคุณสมบัติทนความร้อนได้สูงและไม่เป็นสนิม โดยมีขนาด กว้าง 120 มิลลิเมตร ยาว 120 มิลลิเมตร สูง 400 มิลลิเมตร ที่ด้านบนจะระบุเพื่อใส่เทอร์โนไซฟอน ขนาดเส้นผ่านศูนย์กลาง 17 มิลลิเมตร และมีท่อสำหรับน้ำเข้า�้าอกขนาดเส้นผ่านศูนย์กลางภายนอก 7 มิลลิเมตร ยาว 50 มิลลิเมตร ทั้งด้านบนและด้านล่างของตู้น้ำในส่วนท่าระเหย ดังรูปที่ 3.3 ข

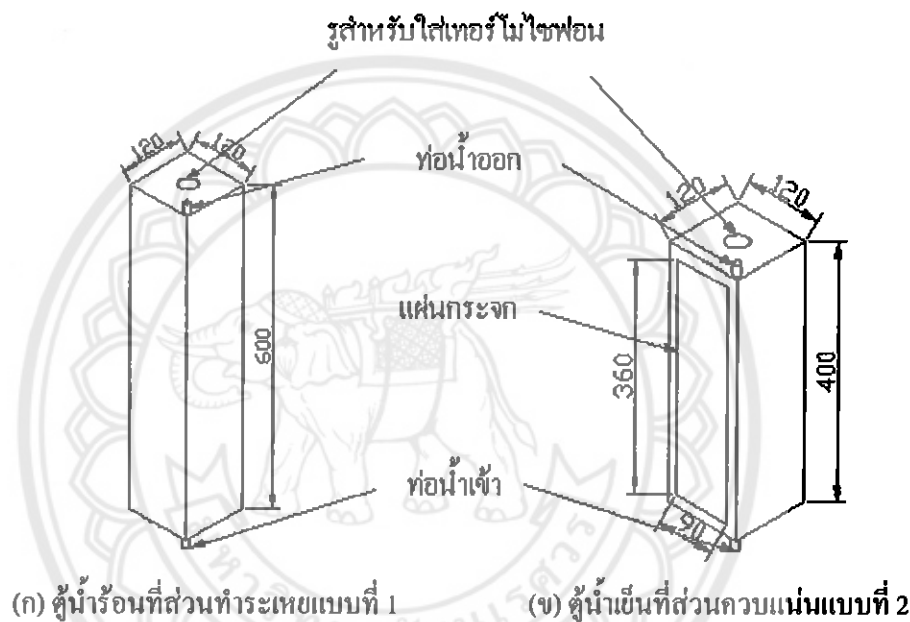


รูปที่ 3.3 แสดงภาพตู้น้ำร้อนและตู้น้ำเข็นของเทอร์โนไซฟอนแบบที่ 1

### 3.4 ตู้น้ำร้อนและตู้น้ำเย็นของเทอร์โนไซฟอนแบบที่ 2

- ที่ตู้น้ำร้อนเลือกใช้สแตนเลส ซึ่งมีคุณสมบัติทนความร้อนได้สูงและไม่เป็นสนิม โดยมีขนาด กว้าง 120 มิลลิเมตร ยาว 120 มิลลิเมตร สูง 400 มิลลิเมตร ที่ด้านบนจะระบุเพื่อใส่เทอร์โนไซฟอน ขนาดเส้นผ่านศูนย์กลาง 17 มิลลิเมตร และมีท่อสำหรับน้ำเข้า�้าอกขนาดเส้นผ่านศูนย์กลางภายนอก 7 มิลลิเมตร ยาว 50 มิลลิเมตร ทั้งด้านบนและด้านล่างของตู้น้ำในส่วนท่าระเหย ดังรูปที่ 3.4 ก

- ที่ตู้น้ำเย็นเลือกใช้สแตนเลส ซึ่งมีคุณสมบัติทนความร้อนได้สูงและไม่เป็นสนิม โดยมีขนาด กว้าง 120 มิลลิเมตร ยาว 120 มิลลิเมตรสูง 600 มิลลิเมตร และมีแผ่นกระจกประับที่ด้านหน้าและด้านหลังของตู้เพื่อสังเกตการเปลี่ยนแปลงได้ตามอัตโนมัติและสามารถบันทึกภาพเก็บไว้ได้ โดยกระจกนี้ขนาดกว้าง 90 มิลลิเมตร ยาว 560 มิลลิเมตร หนา 5 มิลลิเมตร ที่ด้านบนจะรูเพื่อใส่เทอร์โนไชฟอน ขนาดเส้นผ่าศูนย์กลาง 17 มิลลิเมตร และมีท่อสำหรับน้ำเข้า/ออกขนาดเส้นผ่านศูนย์กลางภายนอก 7 มิลลิเมตร ยาว 50 มิลลิเมตร ทั้งด้านบนและด้านล่างของตู้ ดังรูปที่ 3.4 ข



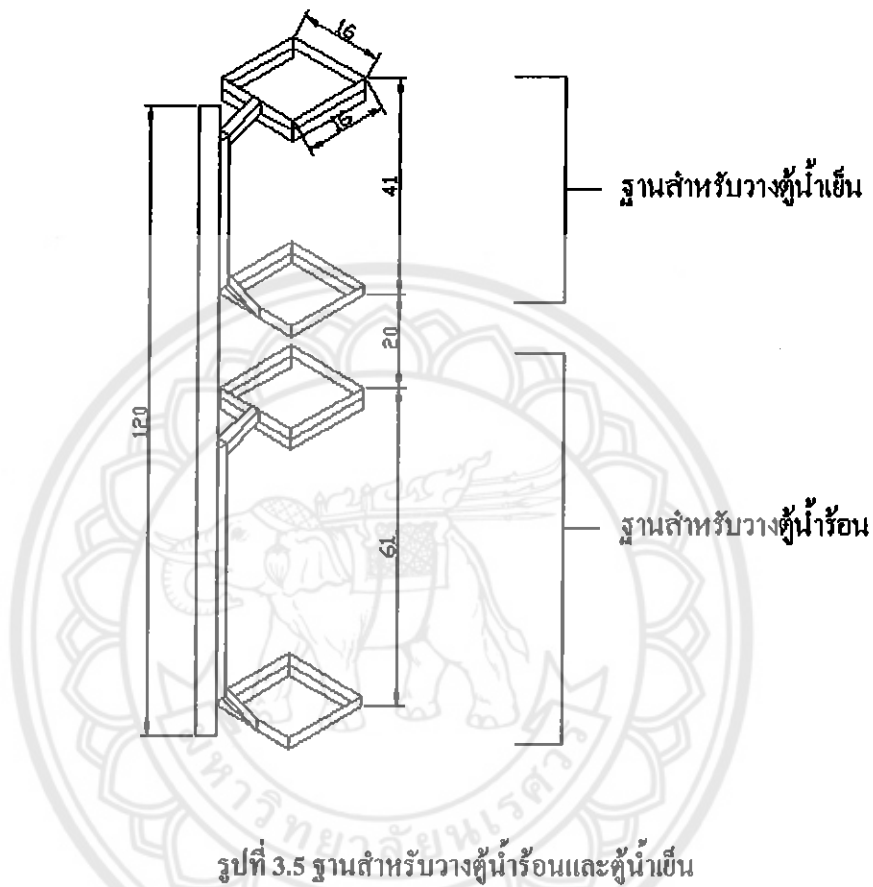
รูปที่ 3.4 แสดงภาพตู้น้ำร้อนและตู้น้ำเย็นของเทอร์โนไชฟอนแบบที่ 2

เมื่อประกอบเทอร์โนไชฟอนเข้ากับตู้น้ำทั้ง 2 ตู้แล้วจึงนำมาประกอบกันแท่นๆ การทดลองซึ่งประกอบด้วยฐานสำหรับวางตู้น้ำร้อนและตู้น้ำเย็น ซึ่งทั้ง 2 ชุดการทดลองนั้นใช้ฐานสำหรับวางตู้น้ำที่มีขนาดเท่ากัน และส่วนโถะ โครงเหล็กสำหรับวางอุปกรณ์ทั้งหมดรวมถึงแผงไฟด้วย

### 3.5 แท่นๆ ของการทดลอง

- ที่ฐานสำหรับวางตู้น้ำร้อนและตู้น้ำเย็น ในการประกอบนั้นจะใช้เหล็กขนาด 1 นิ้วในการทำเป็นกรอบ 2 กรอบแล้วเชื่อมกันเหล็กกลวงหนาตัดสี่เหลี่ยมเพื่อตั้งในแนวคิ่ง ขนาดของฐานวางตู้น้ำจะเท่ากันทั้ง 2 ชุดการทดลอง ซึ่งชุดการทดลองที่ 1 จะนำตู้น้ำร้อนที่ติดกับกระจกซึ่งเป็น

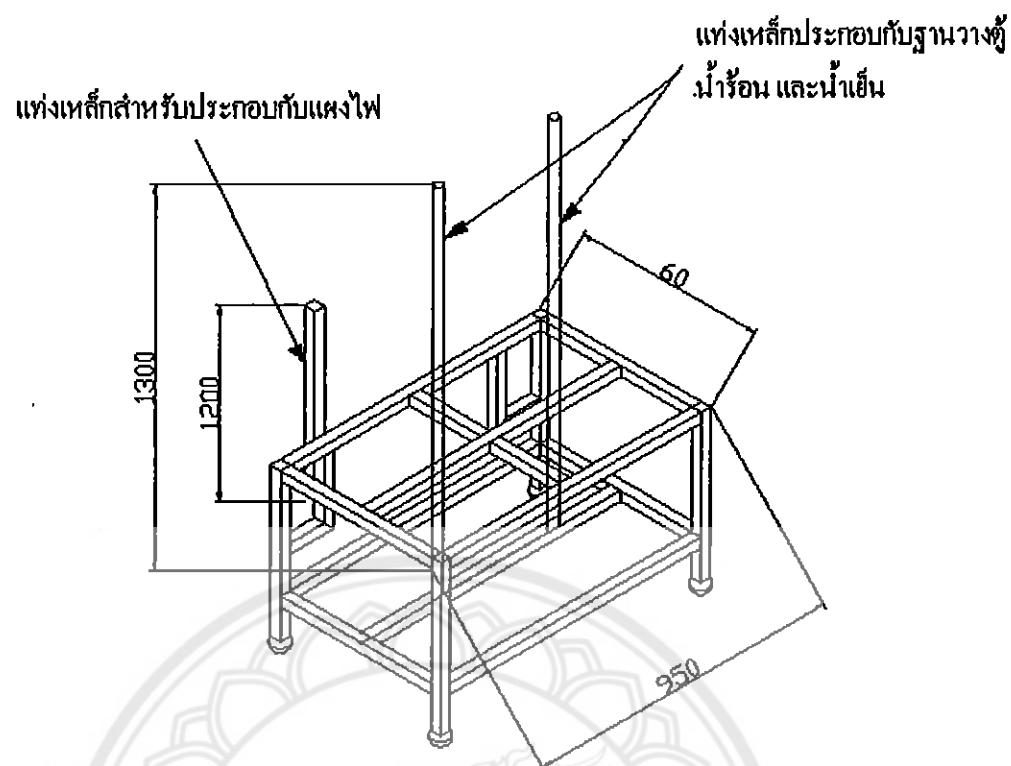
ส่วนทาระเหยิส์ในกรอบด้านล่าง และซุ้นนำเย็นที่เป็นส่วนควบແນ่นใส่ในกรอบด้านบน ชุดการทดลองที่ 2 จะนำซุ้นนำร้อนที่เป็นส่วนทาระเหยิส์ในกรอบด้านล่าง และซุ้นนำที่ติดกับกระจะกซึ่งเป็นส่วนควบແນ่นใส่ในกรอบด้านบน ดังแสดงในรูป 3.5



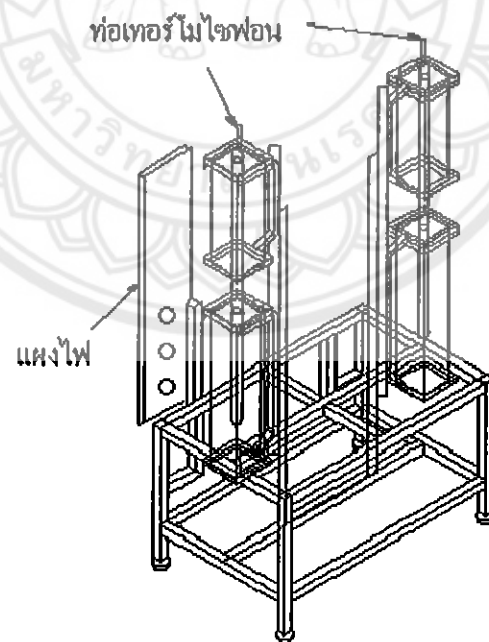
รูปที่ 3.5 ฐานสำหรับวางซุ้นนำร้อนและซุ้นนำเย็น

- ที่ส่วนให้ะ โครงเหล็กนั้นทำจากโครงเหล็กมีความยาว 950 มิลลิเมตร ความกว้าง 600 มิลลิเมตร มีก้านเหล็กกลวงหนาตัดกลมความยาว 1300 มิลลิเมตร สำหรับใช้ให้ะนี้เข้ากับฐานวางซุ้นนำร้อนและซุ้นนำเย็น และด้านท้ายของให้ะนี้ก้านเหล็กความยาว 1200 มิลลิเมตร สำหรับประกอบเข้ากันแหงไฟ โดยด้านล่าง ให้ะติดล้อเพื่อความสะดวกต่อการเคลื่อนที่ ดังแสดงในรูป 3.6

จากนั้นนำซุ้นนำร้อนและซุ้นนำเย็นของทั้ง 2 ชุดการทดลองมาประกอบเข้ากับฐานวางและให้ะ โครงเหล็ก ดังแสดงในรูปที่ 3.7



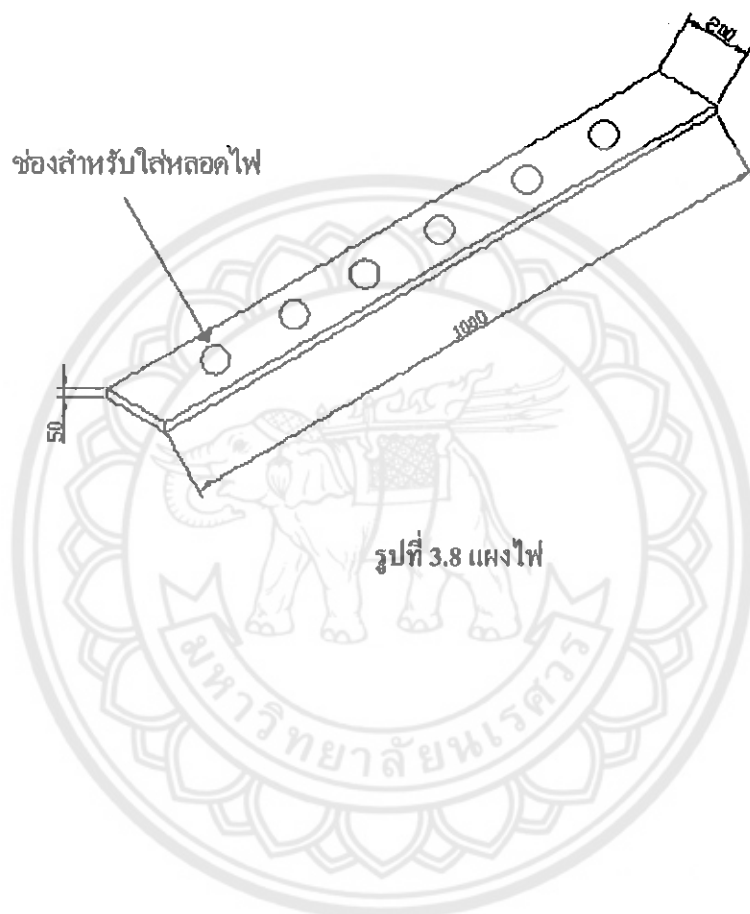
รูปที่ 3.6 ตัวโครงเหล็ก



รูปที่ 3.7 อุปกรณ์การทดลองที่ประกอบเสร็จสมบูรณ์แล้ว

### 3.6 แผงไฟ

เนื่องจากในการเก็บภาพนิ่งของรูปแบบการไฟกลากายในท่อเทอร์โนไซฟอน จำเป็นต้องติดตั้งแผงไฟไว้ที่ด้านหลังของตัวเครื่องเพื่อให้แสงและเงา ทำให้ภาพที่เก็บได้มีความสวยงาม และคมชัดยิ่งขึ้น โดย ไม่ใช้แผงไฟมีขนาด กว้าง 200 มิลลิเมตร ยาว 1000 มิลลิเมตร หนา 50 มิลลิเมตร และมีหลอดไฟขนาด 60 w จำนวน 6 หลอด ดังรูป 3.8



(๑๙๖๗/๖๓)

บทที่ 4  
วิธีการดำเนินงาน

ผศ.  
๙๔๒๖ ๙  
๒๕๐

จากการออกแบบชุดการทดลอง เริ่มดำเนินงานโดยกำหนดตัวแปรต่างๆ เพื่อให้ผลการทดลองอยู่ในขอบเขตที่ศึกษา รวมถึงรายละเอียดของการติดตั้ง และวิธีการทดลอง ดังนี้

#### 4.1 ตัวแปรควบคุม

4.1.1 อัตราการ ไหลของน้ำเย็นที่ผ่านส่วนควบคุม ไม่ค่าคงที่ประมาณ 1 ลิตรต่อนาทีและมีอุณหภูมิกที่ประมาณ  $29^{\circ}\text{C}$

4.1.2 อัตราการ ไหลของน้ำร้อนที่ผ่านส่วนท่าระเหยมีค่าคงที่ประมาณ 1.85 ลิตรต่อนาที

4.1.3 ท่อ มีเส้นผ่านศูนย์กลางภายใน 12 มิลลิเมตร เส้นผ่านศูนย์กลางภายนอก 16

#### มิลลิเมตร

4.1.4 ความยาวของส่วนที่ไม่มีการถ่ายเทความร้อน 200 มิลลิเมตร

4.1.5 ความยาวของส่วนควบคุมแน่น 305 มิลลิเมตร

4.1.6 สารทำงาน โดยกำหนดสารทำงานคือน้ำกลั่น

4.1.7 ความดันสุญญากาศของท่อเทอร์โนไซฟอนก่อนเติมสารทำงานอยู่ในช่วง -0.9 ถึง -1

bar

#### 4.2 ตัวแปรที่ต้องการศึกษา

4.2.1 อุณหภูมิของส่วนท่าระเหยที่  $50^{\circ}\text{C}$   $60^{\circ}\text{C}$   $70^{\circ}\text{C}$  และ  $80^{\circ}\text{C}$

4.2.2 อัตราการเติมสารทำงานมี 3 ค่า คือ 30% 50% และ 70% ของปริมาตรส่วนท่าระเหย

#### 4.3 อุปกรณ์ประกอบและเครื่องมือวัด

4.3.1 สายเทอร์โนไซฟ์ปีก Chromel-Alumel type K ของบริษัท OMEGA ใช้ต่อเข้ากับเครื่องเก็บข้อมูลภายนอกและจุดที่ต้องการวัดอุณหภูมิ ดังรูป 4.1



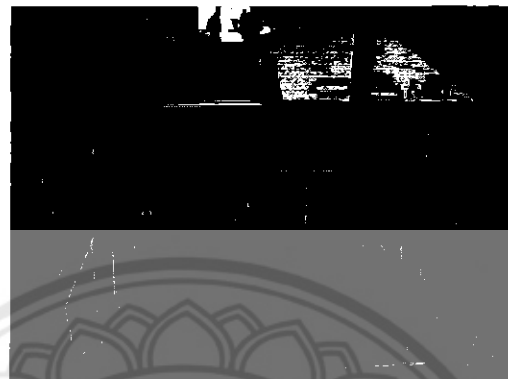
รูปที่ 4.1 แสดงสายเทอร์โน่กับปั๊มเพลที่ต่อเข้ากับอุปกรณ์ต่างๆ

4.3.2 ปั๊มน้ำร้อน (Arwana pump) ใช้กับน้ำร้อน Model. SW-501 Phase 1, 0.37 kw, 0.5 HP,  $H_{max}=18$  m,  $Q = 120$  L/min ซึ่งสามารถทนความร้อนได้ 80-90 องศาเซลเซียส ดังรูป 4.2



รูปที่ 4.2 แสดงรูปปั๊มน้ำร้อน

4.3.3 เครื่องเก็บข้อมูลภายนอก Agilent 34970A Data Acquisition/Switch Unit เป็นเครื่องเก็บอุณหภูมิโดยใช้สายเทอร์โนมัปเปิลเป็นตัวเชื่อมต่อในการประมวลค่า ดังรูป 4.3



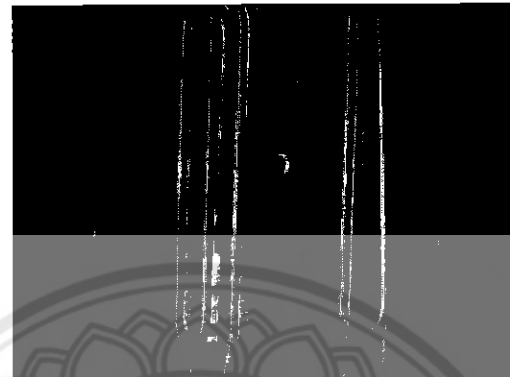
รูปที่ 4.3 เครื่องเก็บข้อมูลภายนอก

4.3.5 กล้องดิจิตอล Sony Cyber-shot ความละเอียด 7.2 Mega pixels ใช้สำหรับบันทึกภาพการทดลองเป็นภาพนิ่ง ดังรูป 4.4



รูปที่ 4.4 กล้องดิจิตอลสำหรับถ่ายภาพนิ่ง

4.3.6 ชีคเตอร์สั่งทำเอง ขนาด 2000 w 2 ตัว สำหรับต้มน้ำในถังน้ำร้อน ดังรูป 4.5



รูปที่ 4.5 ชีคเตอร์

4.3.7 เครื่องปั๊มน้ำ Robinair Capacity 94 L/M Motor H.P. 1/3 สำหรับฉุดอากาศ  
ออกจากหลอดแก้วเพื่อให้ภายในหลอดแก้วเป็นสุญญากาศ ดังรูป 4.6



รูปที่ 4.6 เครื่องปั๊มน้ำ

**4.3.8 ແຜງຄວນຄຸນອຸພາກູນີແລະສວິຕ່ຈີ້ສໍາຮັບຕັ້ງອຸພາກູນີ ແລະເປີດ-ປຶກ ແຜງຄວນຄຸນອຸພາກູນີ ກັນອືືເທິ່ງ ດັ່ງຮູບ 4.7**

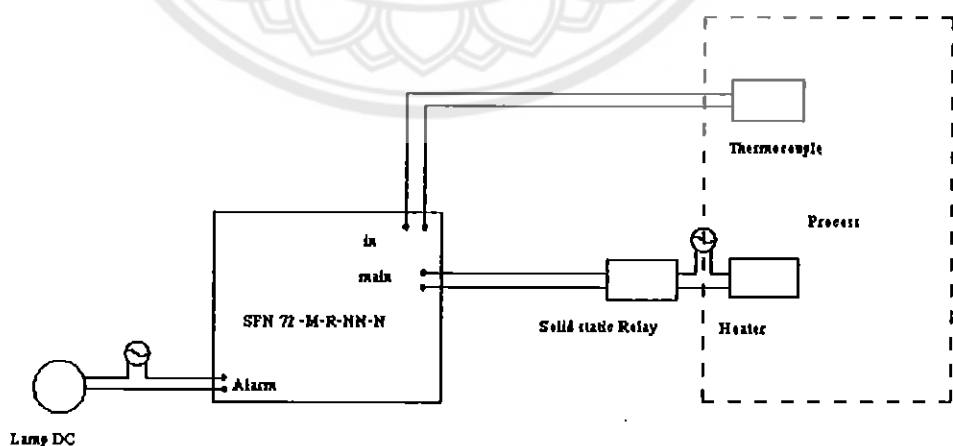
ໄດຍໃນຊັດແຜງຄວນຄຸນນີ້ມີສ່ວນປະກອບ ດັ່ງນີ້

- Temperature Controller Model : SFN72-M-R-NN-N
- Solid state Relay Model : P2425AL
- Heat sink
- Lamp

ແລະສາມາດແສດງແຜນຜັງຂອງແຜງຄວນຄຸນອຸພາກູນີ໌ທີ່ຕ່ອເຫັນກັບອຸປະກອດຕ່າງໆ ຂອງຊັດກາຣາໂທຄລອງໄດ້ ດັ່ງຮູບ 4.8



ຮູບທີ 4.7 ແຜງຄວນຄຸນອຸພາກູນີ



ຮູບທີ 4.8 ແສດງຮູບແຜງຄວນຄຸນອຸພາກູນີ໌ທີ່ຕ່ອເຫັນກັບອຸປະກອດຕ່າງໆ ຂອງຊັດກາຣາໂທຄລອງ

4.3.9 ตือกน้ำ SANWA Bond valve ขนาด 5 ทุน สำหรับปล่อยน้ำเย็นให้เข้าในตู้ส่วนควบคุมแทน

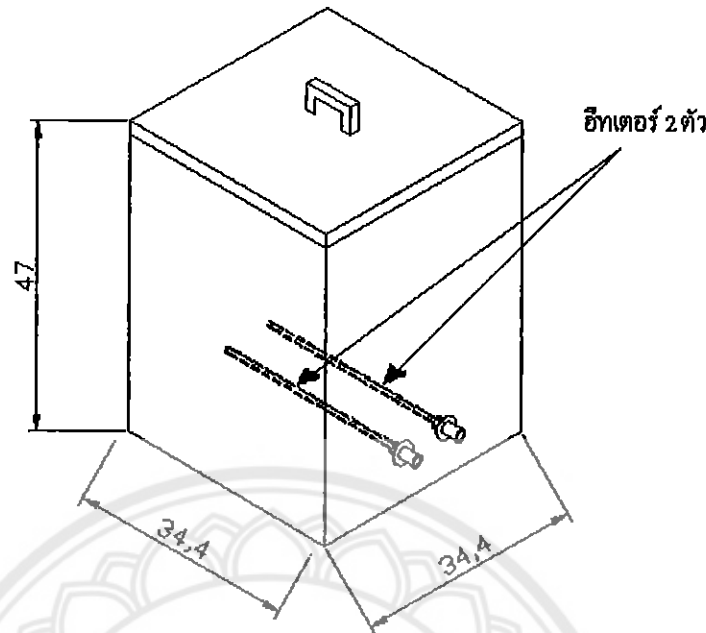
4.3.10 เครื่องเติมสารทำงาน ซึ่งประกอบด้วยバル์วปีก-ปีด 3 ตัว มาตรวัดความดัน 2 ตัว ท่อแก้วพร้อมเกลฟ์วัสดุสำหรับเติมสาร 1 ท่อ

ที่ท่อค้านข้างพร้อมวาล์วสำหรับต่อ กับปืนสูญญากาศ ท่อค้านล่างพร้อมวาล์วสำหรับต่อ กับท่อเล็กที่ค้านบนของท่อในส่วนควบคุมแน่น ท่อค้านบนซึ่งมีเกลียวท่อวัสดุในหน่วยมิลลิเมตรพร้อมวาล์วสำหรับใส่สารทำงาน ดังรูปที่ 4.9



รูปที่ 4.9 เครื่องเติมสารทำงาน

4.3.11 ถังคั้มน้ำน้ำเลือกใช้วัสดุในการทำน้ำเป็นสแตนเลสเพื่อไม่ให้เกิดสนิมที่ตัวถัง เมื่อระยะเวลาในการทำงานนานๆ ซึ่งที่ตัวถังได้หุ้มด้วยผ้าวนกันความร้อนซึ่งตุ้มขนาด 34.4 cm x 34.4 cm x 47 cm โดยถังจะรับไส่ ชีตเตอร์ สายเทอร์โมคัปเปิล และรูน้ำทึบที่ฝาได้จะรูเพื่อระบบความดัน และชีตเตอร์เวลาใช้สำหรับต้มน้ำ 36 ลิตร ที่อุณหภูมิ 80-90°C ดังนั้น ชีตเตอร์ที่ใช้น้ำเป็นชีตเตอร์แบบจุ่ม ติดตั้งที่คานข้างของตัวถัง มีความยาว 28.5 cm เส้นผ่าศูนย์กลางของเกลียว 1.25 นิว ขนาด 220 v / 2000 w และจำเป็นใช้ชีตเตอร์ 2 ตัว เมื่องจากหากใช้เพียงแค่ชีตเตอร์ 1 ตัว จะเป็นต้องใช้เวลาในการต้มน้ำ 45-60 นาที โดยที่ หากใช้ชีตเตอร์ 2 ตัว จะใช้เวลาในการต้มน้ำเพียง 15 นาที ดังรูปที่ 4.10



รูปที่ 4.10 ลังด้านน้ำสำหรับดันน้ำร้อนเข้าที่ส่วนทำระเหย

#### 4.4 วิธีการทดลอง

ตั้งที่ได้ก่อตัวมาแล้วก่อนหน้านี้ซึ่งแบ่งการทดลองออกเป็น 2 ชุด ได้แก่ ชุดที่ศึกษารูปแบบการไหลในส่วนทำระเหย และชุดที่ศึกษารูปแบบการไหลในส่วนความแน่น โดยมีวิธีการดังนี้

4.4.1 นำห้องที่เป็นแก้วมาต่อ กับห้องแขง โดยการขัดด้วยหอยชิลิโคนซึ่งสามารถอุดหูมิได้สูง ที่ด้านบนของห้องท่อในส่วนความแน่นจะมีห่อเล็กต่อข้ามเข้าไป ให้ประกอบห่อเล็กนี้เข้ากับห้องแขงแล้วโดยขัดด้วยหอยชิลิโคนขนาดเล็กสำหรับเติมสารทำงานจากเครื่องปั๊มสูญญากาศ ทาด้วยกาวแดงทั้ง 2 ส่วน ทิ้งไว้ 1 วัน เพื่อให้กาวแห้งแห้ง จากนั้นนำสายที่เครื่องปั๊มสูญญากาศมาสวมแล้วทำการเติมสารทำงานเข้าไปตามอัตราส่วนที่ต้องการ

4.4.2 นำห้องเทอร์โนไชฟอนแบบที่ 1 ที่ส่วนทำระเหยเป็นห้อแก้วซึ่งทำการเติมสารเสร็จแล้วนำไปประกอบเข้ากับถังน้ำร้อนในส่วนทำระเหยโดยสอดเข้าทางรูกลมทางด้านบนของถังน้ำซึ่งตั้งอยู่บนฐานวาง จากนั้นนำถังน้ำเข็นในส่วนความแน่นไปส่วนเข้ากับห้องแขงซึ่งเป็นส่วนความแน่นของห้องเทอร์โนไชฟอนและประกอบเข้ากับฐานวาง และนำกาวแดงมาทาที่บริเวณช่องว่างตรงส่วนที่เป็นข้อต่อของห้องห้องเทอร์โนไชฟอนทุกจุดเพื่อป้องกันน้ำรั่วออก แล้วทิ้งไว้ 1 วันให้กาวแห้งแห้ง ทำเหมือนกันทั้งในส่วนที่ศึกษาส่วนทำระเหยและในส่วนที่ศึกษาส่วนความแน่น

4.4.3 นำท่อเล็กที่ด้านบนของส่วนความแแห่นมาต่อเข้ากับสายจากปืนสูญญากาศเพื่อฉุดอากาศภายในท่อเทอร์โน่ไซฟอนออกให้หมด จากนั้นทำการเติมสารทำงาน (น้ำกัดลุน) ที่ด้านบนของเครื่องเติมสารตามอัตราส่วนที่ต้องการ พ่อไได้ปริมาณสารที่ต้องการแล้วให้หนีบหัวท่อทองแดงเล็กที่ด้านบนของส่วนความแแห่นแล้วตัดออกมาเชื่อมเพื่อป้องกันอากาศเข้า

4.4.4 นำสายเทอร์โน่ไซฟอนไปต่อเข้ากับสายยางที่ทางน้ำไหลเข้าจากตู้ส่วนความแแห่น 2 เส้น 1 ชุด ที่ทางน้ำออกจากตู้ส่วนความแแห่น 2 เส้น 1 ชุด แล้วพาความเดงบริเวณ 2 ชุดนี้เพื่อป้องกันน้ำรั่วซึม นำสายเทอร์โน่ไซฟอนไปจุ่นในถังน้ำร้อนเพื่อวัดอุณหภูมิในถังน้ำร้อน และนำอีกเส้นหนึ่งไปติดกับส่วนที่ไม่มีการถ่ายเทความร้อนพร้อมหุ้มกันหนาว

4.4.5 นำสายยางทบทวนความร้อนต่อเข้ากับท่อน้ำเข้าของตู้น้ำในส่วนทำระเหย ซึ่งต่อ กับปืนที่ฉุดน้ำร้อนมาจากถังน้ำร้อน และนำสายยางทบทวนความร้อนอีกเส้นหนึ่งที่ต่อ กับถังน้ำร้อนไปต่อ กับท่อน้ำออกของตู้ในส่วนทำระเหย ใช้เข็มขัดรัดสายยางรัดท่อไว้เพื่อป้องกันน้ำรั่วซึมตรงบริเวณรอยต่อสายยางกับตู้ในส่วนทำระเหย

4.4.6 เมื่อติดตั้งอุปกรณ์เสร็จแล้ว นำกระดาษใบมาตรฐานติดกับตู้ที่ทำการทดลองที่ด้านตรงข้ามกับด้านที่เราตั้งกล้องถ่ายรูปไว้ งานนี้นำแผงไฟมาตรฐานที่ด้านหลังของตู้อีกที่เพื่อให้แสงและเงาทำให้ภาพที่ได้มีความสวยงามและคมชัด ตรวจดูอุปกรณ์ทั้งหมดอีกครั้ง แล้วเริ่มดำเนินการทดลอง

4.4.7 เริ่มทำการทดลอง เปิดปืนปล่อยน้ำร้อนจากถังน้ำร้อนเข้าสู่ตู้ส่วนทำระเหย ตั้งค่าอุณหภูมิเริ่มต้นที่  $50^{\circ}\text{C}$  ปล่อยน้ำเย็นจากก้อนน้ำเข้าสู่ตู้ส่วนความแแห่นควบคุมอัตราการไหลให้ได้ประมาณ 1 ลิตรต่อนาที

4.4.8 เปิดเครื่องเก็บข้อมูลภายนอก เพื่อบันทึกค่าอุณหภูมิต่างๆ ที่ติดตั้งสายเทอร์โน่ไซฟอนไปแล้วไว้

4.4.9 ติดตั้งกล้องดิจิตอลเพื่อบันทึกภาพนิ่ง

4.4.10 รอเวลาให้ระบบอยู่ในภาวะสมดุลโดยไม่ขึ้นกับเวลาจึงเริ่มบันทึกค่าอุณหภูมิลงในตารางที่เตรียมไว้ แล้วบันทึกภาพรูปแบบการไหลภายในด้วยกล้องดิจิตอลเพื่อนำมาวิเคราะห์ต่อไป

4.4.11 เมื่อบันทึกอุณหภูมิและภาพนิ่งที่อุณหภูมิเริ่มต้น  $50^{\circ}\text{C}$  เสร็จแล้วให้ปรับอุณหภูมิที่แผงควบคุมเป็น  $60^{\circ}\text{C}$   $70^{\circ}\text{C}$  และ  $80^{\circ}\text{C}$  ตามลำดับ แล้วทำการหัวขอ 4.4.10 เช่นเดิม

4.4.12 เมื่อทดลองท่อในส่วนทำระเหยเป็นท่อแก้วเสร็จแล้วให้เปลี่ยนเป็นอีกหัวหนึ่งซึ่งมีส่วนความแแห่นเป็นแก้วแล้วทำการทดลองเช่นเดิม หนีบหัวท่อเทอร์โน่ไซฟอนที่มีส่วนทำระเหยเป็นหัวแก้ว

4.4.13 นำผลการทดลองที่ได้นามาวิเคราะห์แล้วสรุปผลการทดลอง

## บทที่ 5

### ผลการทดลอง และ วิเคราะห์ผลการทดลอง

ลังที่ได้กล่าวมาแล้วว่าการทดลองนี้จะถูกแบ่งออกเป็น 2 ชุด ก็อ ชุดที่ศึกษารูปแบบการไหลในส่วนท่าระเหย (ส่วนท่าระเหยเป็นท่อแก้ว) และชุดที่ศึกษารูปแบบการไหลในส่วนควบแน่น (ส่วนควบแน่นเป็นท่อแก้ว) โดยทั้ง 2 ชุดจะมีอัตราการเติมสาร 30% 50% และ 70% ของปริมาตรส่วนท่าระเหย ควบคุมอุณหภูมิที่  $50^{\circ}\text{C}$   $60^{\circ}\text{C}$   $70^{\circ}\text{C}$  และ  $80^{\circ}\text{C}$  จากทฤษฎีจะนอกไว้ว่า หากท่อเทอร์โมไฟฟอนวางตัว 90 องศา จากแนวราบนั้นอัตราการเติมสารของปริมาตรส่วนท่าระเหยที่เหมาะสมก็อ 40-60% จึงได้ทำการทดลองที่อัตราการเติมสารที่ 30% และ 70% ของปริมาตรส่วนท่าระเหยด้วย เพื่อวัดความแตกต่างกันในการทำงานมากแค่ไหน โดยมีผลการทดลองดังนี้

#### 5.1 ลักษณะการไหลของสารทำงานภายในเทอร์โมไฟฟอนขณะทำงานในแนวตั้ง

เมื่อให้ความร้อนที่ส่วนท่าระเหยของเทอร์โมไฟฟอนนั้นสารทำงานภายในเทอร์โมไฟฟอนเริ่มน้ำการเดือดสารทำงานจะเริ่มเปลี่ยนสถานะจากของเหลวเป็นไอโลหะขึ้นด้านบนผ่านส่วนที่ไม่มีการถ่ายเทความร้อนไปควบแน่นเป็นหยดน้ำที่ส่วนควบแน่นและไหลขึ้นกลับลงมาเนื่องจากแรงศักดิ์ของโลกผ่านส่วนที่ไม่มีการถ่ายเทความร้อนลงมาบังส่วนท่าระเหยอีกครั้งหนึ่ง และถ้าอุณหภูมิที่ส่วนท่าระเหยสูงขึ้นเรื่อยๆ ความเร็วของไอเนื่องจากการเดือดภายในท่อเทอร์โมไฟฟอนก็จะมากขึ้นเรื่อยๆ จนสามารถสังเกตเห็นรูปแบบการไหลของสารทำงานในลักษณะต่างๆ ได้แก่แบบ Slug flow ก็อ นี่มีความเร็วเพิ่มขึ้นฟองไอล่อนานี้จะเริ่มจับตัวกันเป็นลักษณะของหัวกระสุนขึ้น แบบ Churn flow ก็อ นี่เนื่องจากความเร็วในการไหลเพิ่มมากขึ้นอีกท่าให้ไอล่อนานที่เป็นลักษณะกระสุนก็เกิดการแตกออก นำมาซึ่งความไม่เสถียรภายในท่ออาจจะทำให้ท่อเกิดการสันได้ แต่ในกรณีที่ท่อมีเดินผ่านศูนย์กลางที่เล็กการสันนี้อาจไม่เกิดขึ้น แบบ Annular flow ก็อ นการไหลในช่วงนี้มีความเร็วในกระทั่งของเหลวจะไหลขึ้นไปตามพิษท่อเป็นแพ่น้ำมันส่วนที่เป็นไอลอยู่ตรงกลางของท่อ และจะมี mass flux สูงมาก มีผลทำให้ถ้าความดันทางความร้อนภายในเทอร์โมไฟฟอน ( $Z$ , ลิ่ง  $Z$ , ในรูปที่ 2.2 และสมการที่ 2.7 ลิ่ง 2.12) มีค่าน้อยลง ความเร็วไหลของสารทำงานเนื่องจากการเดือดบังส่งผลต่อ Reynolds number ซึ่งตัวบ ทำให้ท่อเทอร์โมไฟฟอนนั้นส่งผ่านความร้อนได้ดีขึ้นด้วย

## 5.2 ผลกระทบของอุณหภูมิส่วนท่าระเหยที่มีต่อรูปแบบการไหล และค่าการถ่ายเทความร้อนของเทอร์โนไซฟอน

### 5.2.1 ที่อัตราการเติบ 30% ของปริมาตรส่วนท่าระเหย

พิจารณาดูที่ทำการทดลองในส่วนท่าระเหย

- อุณหภูมิ 50 °C

ที่ช่วงอุณหภูมนี้สารทำงานภายในท่อเทอร์โนไซฟอนยังไม่มีการเดือด หรือ เกิดไอน้ำเกase ที่ผิวค้านในของท่อส่วนท่าระเหย เนื่องจากอุณหภูมิของน้ำภายในตู้ส่วนท่าระเหยยังไม่สูงพอที่จะทำให้ท่อเทอร์โนไซฟอนนี้ทำงาน จึงไม่สามารถสังเกตเห็นรูปแบบการไหลใดๆ ที่ส่วนท่าระเหยได้ ดังรูป 5.1 (ก)

- อุณหภูมิ 60 °C

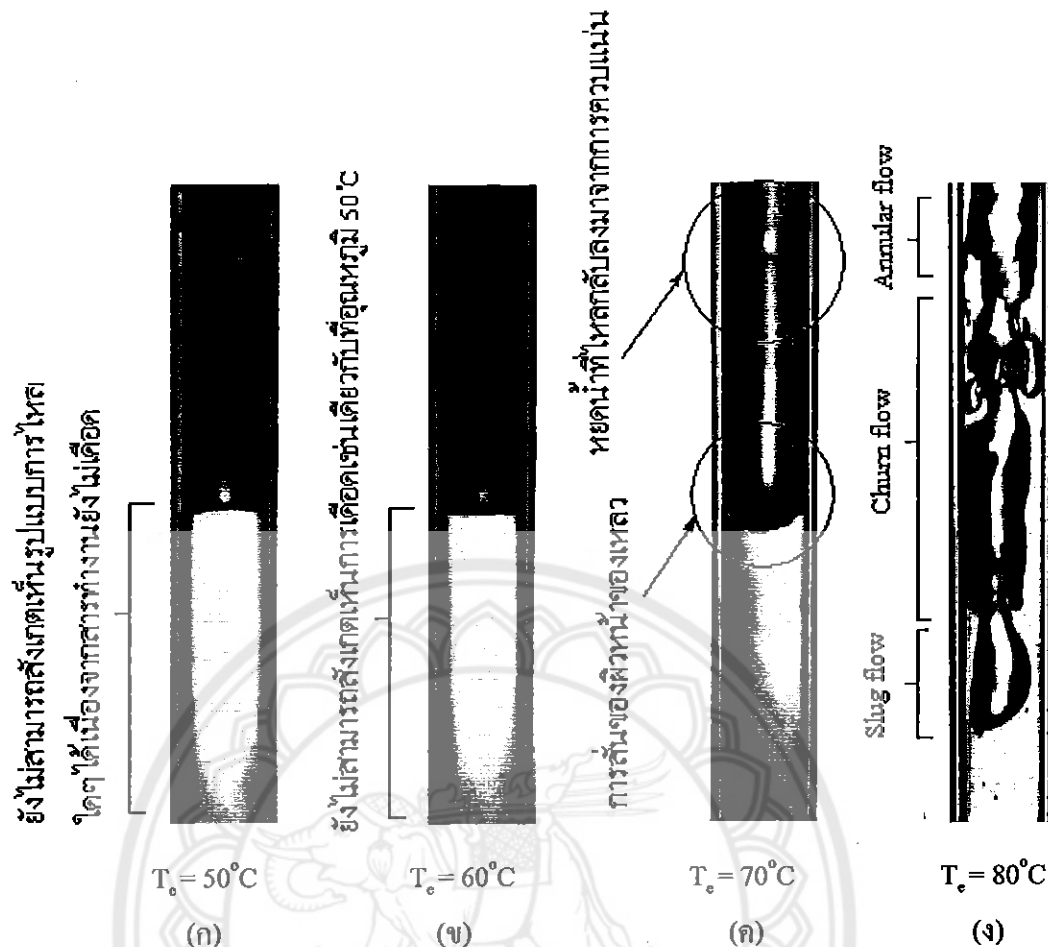
เมื่อเดียวกับที่อุณหภูมิ 50 °C คือ สารทำงานภายในท่อเทอร์โนไซฟอนยังไม่มีการเดือด หรือเกิดไอน้ำเกase ที่ผิวค้านในของท่อส่วนท่าระเหย เนื่องจากอุณหภูมิของน้ำภายในตู้ส่วนท่าระเหยยังไม่สูงพอที่จะทำให้ท่อเทอร์โนไซฟอนทำงาน จึงไม่สามารถสังเกตเห็นรูปแบบการไหลใดๆ ที่ส่วนท่าระเหยได้ ดังรูป 5.1 (ข)

- อุณหภูมิ 70 °C

ที่ช่วงอุณหภูมนี้จะเริ่มสังเกตเห็นหยดน้ำเกase ที่ผิวค้านในบางส่วนของท่อที่ส่วนท่าระเหย และสามารถสังเกตเห็นความเปลี่ยนแปลงที่ผิวน้ำของสารทำงาน คือจะมีการกระเพื่อมของสารทำงานบริเวณผิวน้ำเป็นจังหวะนีความถี่ประมาณ 13-15 ครั้งต่อนาที ซึ่งเกิดจากอุณหภูมิของน้ำในตู้ส่วนท่าระเหยสูงขึ้นจนท่อเทอร์โนไซฟอนนี้เริ่มทำงาน และเริ่มสังเกตเห็นหยดน้ำจากการควบแน่นในหลอดนาจากส่วนที่ไม่มีการถ่ายเทความร้อน (ควบคันไอล์บี้ไม่สูงพอที่จะพาไอล์บันไปควบแน่นที่ส่วนควบแน่น) แต่ยังไม่สามารถสังเกตเห็นรูปแบบการไหลใดๆ ได้ ดังรูปที่ 5.1 (ก)

- อุณหภูมิ 80 °C

ที่ช่วงอุณหภูมนี้ไม่สามารถสังเกตเห็นหยดน้ำจากการควบแน่นที่ไอล์บันลงมาจากส่วนควบแน่นได้ เนื่องจากรูปแบบการไหลภายในท่อในทิศทางที่ส่วนทางก้นหยดน้ำที่ไอล์บันนี้ นำพาหยดน้ำไอล์บี้ไปด้วย และจะเริ่มสังเกตเห็นรูปแบบการไหลของ Slug flow และ Churn flow เพียงช่วงเวลาเล็กน้อยในตอนต้นๆ ขณะที่อุณหภูมนี้ของน้ำในตู้ท่าระเหยยังไม่ถึง 80 °C จากนั้น จะเริ่มสังเกตเห็นรูปแบบการไหลของ Annular flow เป็นส่วนใหญ่ อาจสรุปได้ว่า รูปแบบการไหลของ Annular flow คือรูปแบบการไหลหลักที่ช่วงอุณหภูมนี้ ดังรูปที่ 5.1 (ก)



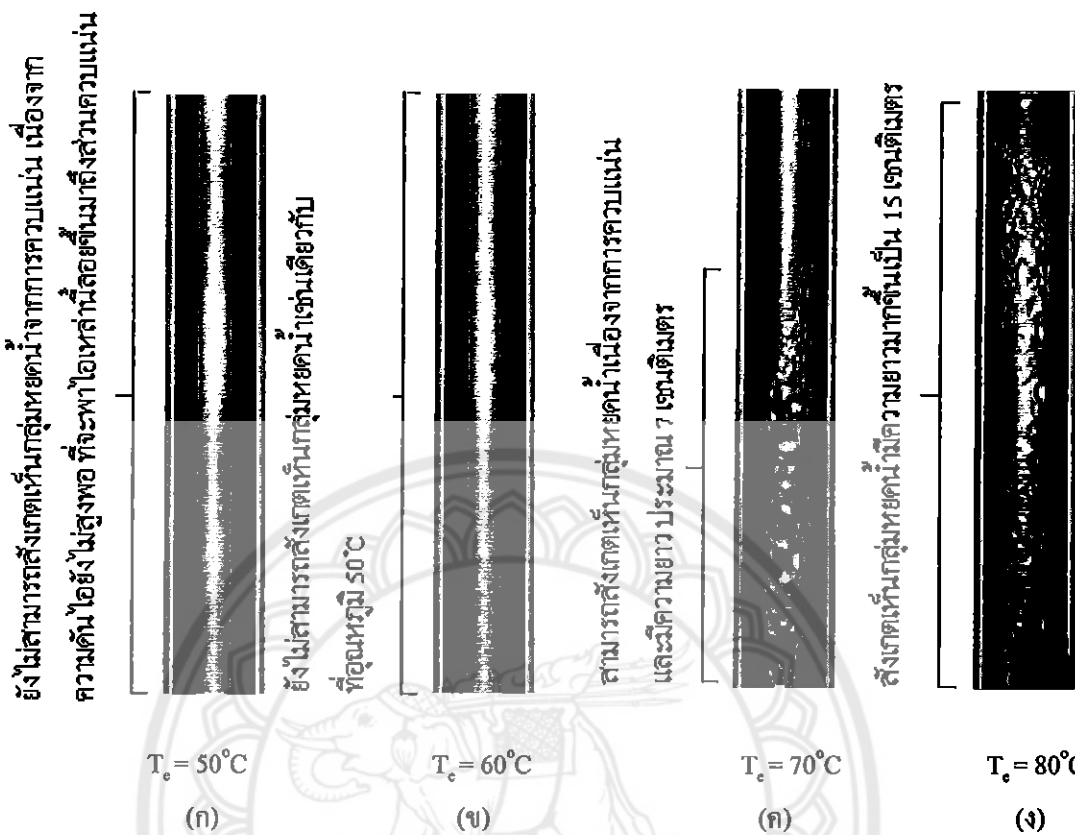
#### พิจารณาชุดที่ทำการทดลองในส่วนความแน่น

- อุณหภูมิ  $50^{\circ}\text{C}$

ที่ช่วงอุณหภูมนี้สารทำงานภายในห้องเทอร์โน่ไฟฟอนยังไม่มีการเดือด เมื่อจากอุณหภูมิของน้ำภายในตู้ส่วนทำระเหยยังไม่สูงพอที่จะทำให้ห้องเทอร์โน่ไฟฟอนนี้ทำงาน ความคันของไอจากการระเหยยังไม่เพียงพอที่จะพาไอเหล่านี้ลอดขึ้นมาข้างส่วนความแน่น จึงไม่สามารถสังเกตเห็นรูปแบบการไหลใดๆ หรือหยดน้ำเนื่องจากการความแน่นที่ส่วนความแน่นได้ ดังรูปที่ 5.2 (ก)

- อุณหภูมิ  $60^{\circ}\text{C}$

เช่นเดียวกับที่อุณหภูมิ  $50^{\circ}\text{C}$  คือสารทำงานภายในห้องเทอร์โน่ไฟฟอนยังไม่มีการเดือด หรือเกิดไอน้ำภาวะที่ผิวด้านในของห้องที่ส่วนเนื้องจากอุณหภูมิของน้ำภายในตู้ส่วนทำระเหยยังไม่สูงพอที่จะทำให้ห้องเทอร์โน่ไฟฟอนนี้ทำงาน ความคันของไอจากการระเหยยังไม่เพียงพอที่จะพาไอเหล่านี้ลอดขึ้นมาข้างส่วนความแน่น จึงไม่สามารถสังเกตเห็นรูปแบบการไหลใดๆ หรือหยดน้ำเนื่องจากการความแน่นที่ส่วนความแน่นได้ ดังรูปที่ 5.2 (ข)



รูปที่ 5.2 ผลกระทบของอุณหภูมิส่วนทำรำเบห์ที่มีต่อรูปแบบการไหลในส่วนความแน่นของเทอร์โนไฟฟอนที่มีอัตราการเติม 30%

- อุณหภูมิ  $70^\circ\text{C}$

ที่ช่วงอุณหภูมนี้ท่อเทอร์โนไฟฟอนนี้เริ่มทำงานแล้ว จะเริ่มสังเกตเห็นกุ่มหกดของเหลว เกาะอยู่ที่ผิวด้านในของท่อส่วนความแน่นเนื่องจากความคัน ไอสูงพอที่จะพาไอเหล่านี้ไปยังส่วน ความแน่นได้แล้ว และกุ่มหกดของเหลวนี้กำลังไหลกลับลงมาซึ่งส่วนทำรำเบห์เนื่องจากแรงดึงดูด ของโลก ไอน้ำเหล่านี้รวมตัวกันหนาแน่นโดยมีความขาวประมาณ 7 เซนติเมตรวัดจากขอบล่างของ ศูนย์ส่วนความแน่น คิดเป็น 19.44% ของความขาวส่วนความแน่นทั้งหมด ดังรูปที่ 5.2 (ค)

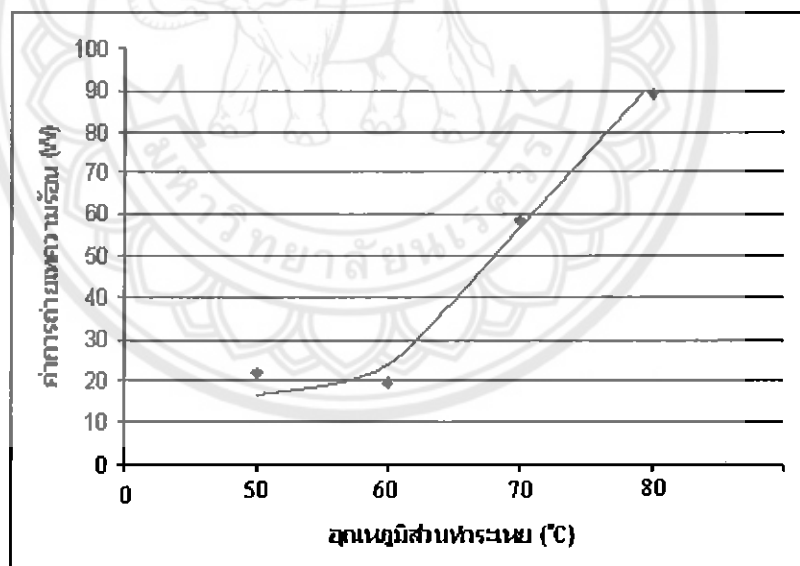
- อุณหภูมิ  $80^\circ\text{C}$

ที่ช่วงอุณหภูมนี้ จะเริ่มสังเกตเห็นหกดของเหลวเกาะอยู่ที่ผิวด้านในของท่อส่วนความแน่น และกำลังไหลกลับลงมาซึ่งส่วนทำรำเบห์เนื่องจากแรงดึงดูดของโลก แต่ความขาวของไอน้ำที่ รวมตัวกันอย่างหนาแน่นจะมีความขาวมากกว่าช่วงอุณหภูมิ  $70^\circ\text{C}$  โดยมีความขาวประมาณ 15 เซนติเมตรวัดจากขอบล่างของศูนย์ส่วนความแน่น คิดเป็น 41.67% ของความขาวส่วนความแน่น

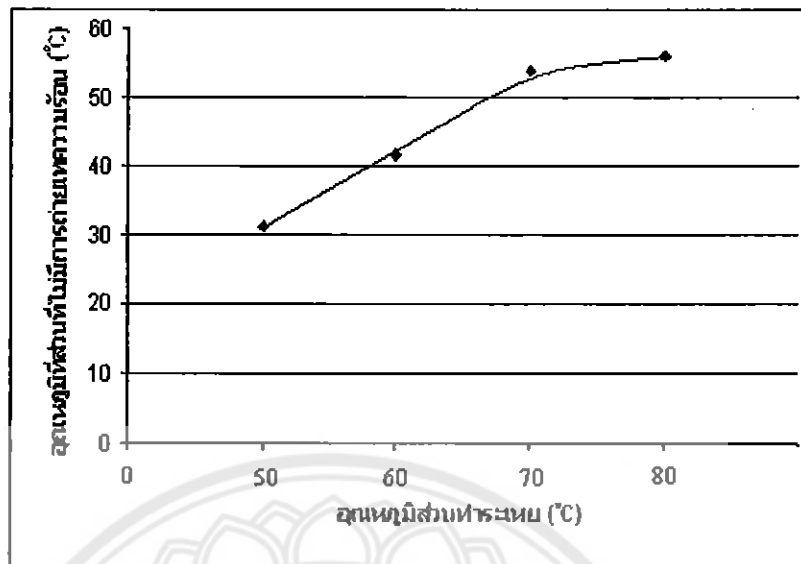
ทั้งหมด เมื่อongจากอุณหภูมิในตู้ส่วนทำระเหยสูงขึ้นมาก สารทำงานจึงร้อนและมีความดันไอน้ำสูงกว่าช่วงอุณหภูมิ  $70^{\circ}\text{C}$  ทำให้ในส่วนควบคุมแห่งนี้เป็นต้องใช้พื้นที่มากกว่าเดิมในการจะทำการควบคุมแห่งนี้ อย่างไรก็ตาม ให้กลับลงมาสู่ส่วนทำระเหย ดังรูป 5.2 (ง)

รูปที่ 5.3 แสดงความสัมพันธ์ระหว่างอุณหภูมิที่ส่วนทำระเหยและค่าการถ่ายเทความร้อน จะเห็นว่าค่าการถ่ายเทความร้อนจะมีแนวโน้มสูงขึ้นด้วยหากอุณหภูมิของส่วนทำระเหยสูงขึ้น เมื่ออุณหภูมิส่วนทำระเหยเพิ่มขึ้นจาก  $50^{\circ}\text{C}$  ไปเป็น  $80^{\circ}\text{C}$  ค่าการถ่ายเทความร้อนจะเพิ่มขึ้นจาก 21.97 W ไปเป็น 88.98 W

ที่เป็นเช่นนี้เนื่องมาจาก เมื่ออุณหภูมิส่วนทำระเหยสูงขึ้นสารทำงานจะเกิดการเดือดและเริ่มเปลี่ยนสถานะเป็นไออกและมีรูปแบบการไหลต่างๆ ที่รูปแบบการไหลนี้เปลี่ยนไป เพราะความเร็วและความดันของไอน้ำมีค่าสูงขึ้น ความดันนี้จะพาไออกผ่านส่วนที่ไม่มีการถ่ายเทความร้อนไปยังส่วนควบคุมแห่งนี้ ดังนัก ตัวอย่าง อุณหภูมิของส่วนที่ไม่มีการถ่ายเทความร้อนจะมีค่าสูงขึ้นเรื่อยๆ เมื่ออุณหภูมิที่ส่วนทำระเหยสูงขึ้นดังแสดงในรูปที่ 5.4 ทำให้ค่าการถ่ายเทความร้อนสูงขึ้นเนื่องจากอุณหภูมน้ำเย็นขาดจะมีค่าสูงขึ้นด้วยดังรูปที่ 2.5 และสมการที่ 2.14



รูปที่ 5.3 แสดงความสัมพันธ์ระหว่างอุณหภูมิที่ส่วนทำระเหยและค่าการถ่ายเทความร้อนของเทอร์โมไฟฟ่อนที่มีอัตราการเติมสารทำงาน 30%



รูปที่ 5.4 แสดงความสัมพันธ์ระหว่างอุณหภูมิที่ส่วนทำระเหยและอุณหภูมิที่ส่วนที่ไม่มีการถ่ายเทความร้อนของเทอร์โนไซฟอนที่มีอัตราการเติมสารทำงาน 30%

#### 5.2.2 ที่อัตราการเติม 50% ของปริมาตรส่วนทำระเหย

##### พิจารณาชุดที่ทำการทดลองในส่วนทำระเหย

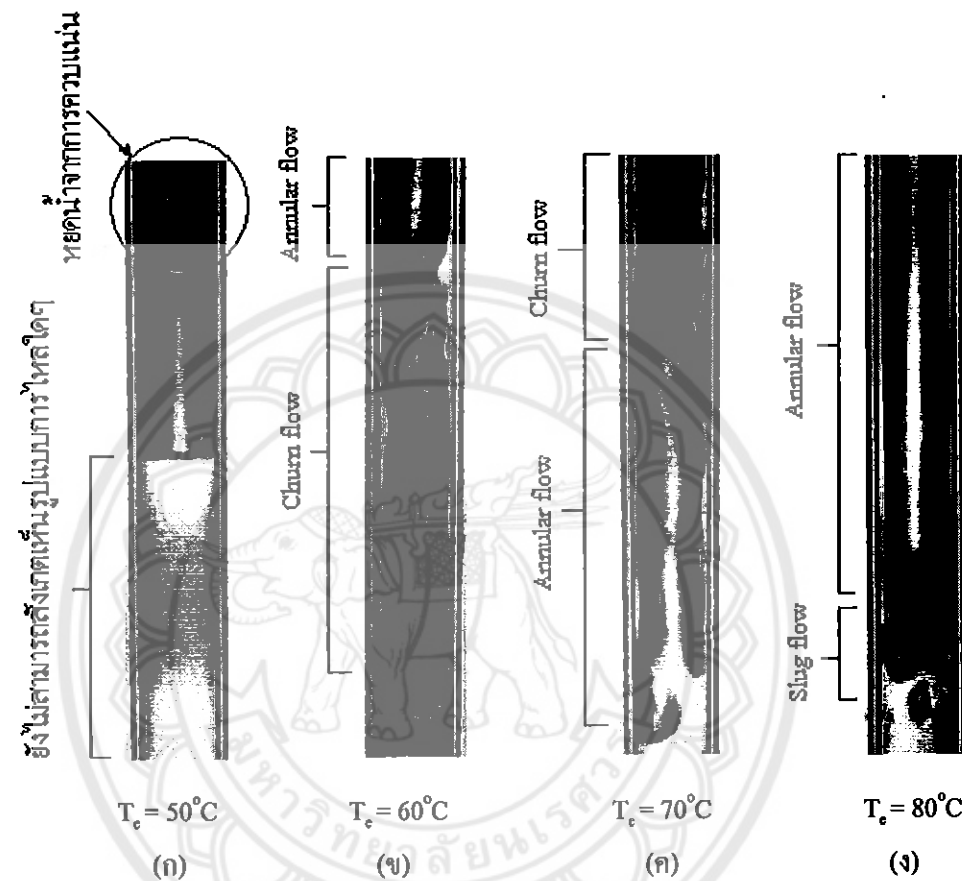
- อุณหภูมิ 50°C

ที่ช่วงอุณหภูมนี้สามารถทำงานภายใต้ห้องไนโตร์ไม่ใช้ฟ่อนบังไม่มีการเดือด แต่สามารถสังเกตเห็นเบื้องต้นจากการควบคุมแหน่งซึ่งให้ลดลงมากจากส่วนที่ไม่มีการถ่ายเทความร้อน (ความดันไอขังไม่สูงพอที่จะพาไอออกแล้วนี่ไปควบคุมแหน่งที่ส่วนควบคุมแหน่ง) เพราะว่าอุณหภูมิของน้ำภายในตู้ส่วนทำระเหยบังไม่สูงพอที่จะทำให้ห้องไนโตร์ไม่ใช้ฟ่อนนี้ทำงาน จึงยังไม่สามารถสังเกตเห็นรูปแบบการไหลได้ที่ส่วนทำระเหยได้ ดังรูป 5.5 (ก)

- อุณหภูมิ 60°C

ที่ช่วงอุณหภูมนี้สามารถทำงานภายใต้ห้องไนโตร์ไม่ใช้ฟ่อนเริ่มมีการเดือดจึงสามารถสังเกตเห็นรูปแบบการไหลได้หลายรูปแบบแต่อ้างถูกป้าว่า ในช่วงแรกนั้นสามารถสังเกตเห็นรูปแบบการไหลของ Slug flow ต่อจากนั้นการไหลเริ่มเปลี่ยนเป็นรูปแบบของ Churn flow โดยที่อาจจะมีรูปแบบการไหลของ Annular flow และเป็นบางช่วงเวลา หรือ อ้างถูกป้าวได้ว่า รูปแบบการไหลของ Slug flow แล้วเปลี่ยนเป็น Churn flow ก็อ รูปแบบการไหลหลักของช่วงอุณหภูมนี้ พบน้ำซึ่งไหลลงมาจากส่วนควบคุมแหน่งจากแรงดึงดูดของโลกไม่สามารถสังเกตเห็นได้อีกต่อไปเนื่องจาก

รูปแบบการไหลภายในท่อไอลในพิศทางที่ส่วนทางกับหยอดน้ำที่ไอลลงมาจึงนำพาหยอดน้ำไอลเข้าไปด้วย ดังรูป 5.5 (ข)



รูปที่ 5.5 ผลกระทบของอุณหภูมิส่วนทำระเหยที่มีต่อรูปแบบการไหลในส่วนทำระเหยของเทอร์โนไฟฟอนที่มีอัตราการเติม 50%

- อุณหภูมิ  $70^\circ\text{C}$

ที่ช่วงอุณหภูมนี้รูปแบบการการไหลของ Slug flow และ และรูปแบบการการไหลของ Churn flow จะถูกสังเกตได้เพียงเล็กน้อย โดยทั่วไปแล้วจะสังเกตเห็นรูปแบบการการไหลของ Annular flow เป็นส่วนใหญ่ ซึ่งอาจสรุปได้ว่ารูปแบบการการไหลของ Annular flow ซึ่งนี้รูปแบบการการไหลของ Slug flow และ และรูปแบบการการไหลของ Churn flow เพียงเล็กน้อย เป็นรูปแบบการการไหลหลักที่ช่วงอุณหภูมนี้ หยอดน้ำซึ่งไอลลงมาจากส่วนควบคุมเนื่องจากแรงดึงดูดของโลกไม่สามารถสังเกตเห็น

ได้อีกต่อไป เมื่อจากรูปแบบการไหลภายในท่อไอลินทิศทางที่ส่วนทางกับหยดน้ำที่ไหลลงมาจึงนำพาหยดน้ำไอลินไปด้วย ดังรูป 5.5 (ค)

- อุณหภูมิ  $80^{\circ}\text{C}$

ที่ช่วงอุณหภูมนี้ รูปแบบการการไหลของ Slug flow และ รูปแบบการไหลของ Churn flow สามารถสังเกตเห็นได้อย่างมาก จะสังเกตเห็นรูปแบบการไหลของ Annular flow เป็นส่วนใหญ่จึงอาจสรุปได้ว่ารูปแบบการไหลของ Annular flow เป็นรูปแบบการไหลหลักที่ช่วงอุณหภูมนี้ ทัค น้ำซึ่งไหลลงมาจากส่วนควบแน่นเมื่อจากแรงดึงดูดของโลกไม่สามารถสังเกตเห็นได้อีกต่อไป เมื่อจากรูปแบบการไหลภายในท่อไอลินทิศทางที่ส่วนทางกับหยดน้ำที่ไหลลงมาจึงนำพาหยดน้ำไอลินไปด้วย ดังรูป 5.5 (ง)

พิจารณาดูที่ทำการทดลองในส่วนควบแน่น

- อุณหภูมิ  $50^{\circ}\text{C}$

ที่ช่วงอุณหภูมนี้ สารทำงานภายในท่อเทอร์โมไชฟอนซึ่งไม่มีการเดือด เมื่อจากอุณหภูมิของน้ำภายในตู้ส่วนทำระเหยซึ่งไม่สูงพอที่จะทำให้ท่อเทอร์โมไชฟอนนี้ทำงาน ความคันของไอจากการระเหยซึ่งไม่เพียงพอที่จะพาไอเหล่านี้ลอดเข้ามาซึ่งส่วนควบแน่น จึงไม่สามารถสังเกตเห็นรูปแบบการไหลใดๆ หรือหยดน้ำเมื่อจากการควบแน่นที่ส่วนควบแน่นได้ ดังรูป 5.6 (ก)

- อุณหภูมิ  $60^{\circ}\text{C}$

เมื่อเดินทางกับอุณหภูมิ  $50^{\circ}\text{C}$  คือ สารทำงานภายในท่อเทอร์โมไชฟอนซึ่งไม่มีการเดือด เมื่อจากอุณหภูมิของน้ำภายในตู้ส่วนทำระเหยซึ่งไม่สูงพอที่จะทำให้ท่อเทอร์โมไชฟอนนี้ทำงาน ความคันของไอจากการระเหยซึ่งไม่เพียงพอที่จะพาไอเหล่านี้ลอดเข้ามาซึ่งส่วนควบแน่น จึงซึ่งไม่สามารถสังเกตเห็นรูปแบบการไหลใดๆ หรือหยดน้ำเมื่อจากการควบแน่นที่ส่วนควบแน่นได้ ดังรูป 5.6 (ข)

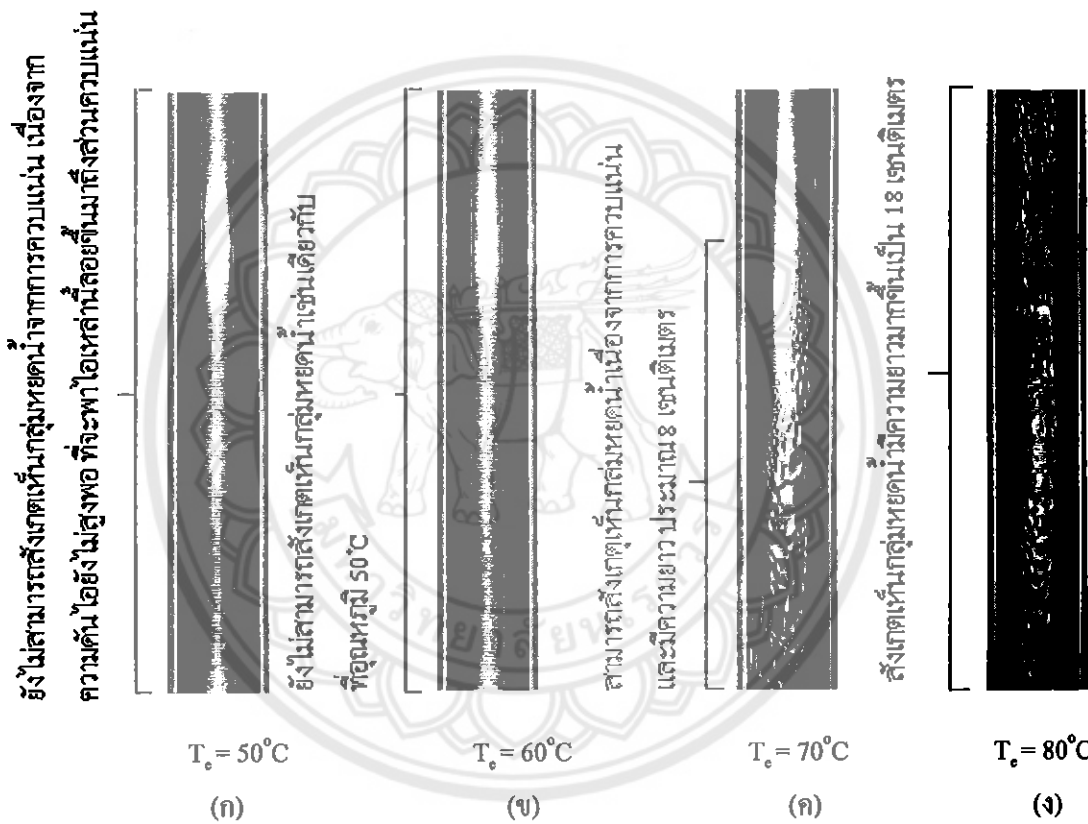
- อุณหภูมิ  $70^{\circ}\text{C}$

ที่ช่วงอุณหภูมนี้ท่อเทอร์โมไชฟอนนี้เริ่มทำงานแล้ว จะเริ่มสังเกตเห็นก้อนหยดของเหลวเกาะอยู่ที่ผิวค้านในของท่อส่วนควบแน่นและกำลังไหลกลับลงมาซึ่งส่วนทำระเหยเมื่อจากแรงดึงดูดของโลก ไอน้ำเหล่านี้รวมตัวกันหนาแน่นโดยมีความขาวประมาณ 8 เซนติเมตรวัดจากขอบล่างของตู้น้ำส่วนควบแน่น กิตเป็น 22.22% ของความขาวส่วนควบแน่นทั้งหมด ดังรูปที่ 5.6 (ก)

- อุณหภูมิ  $80^{\circ}\text{C}$

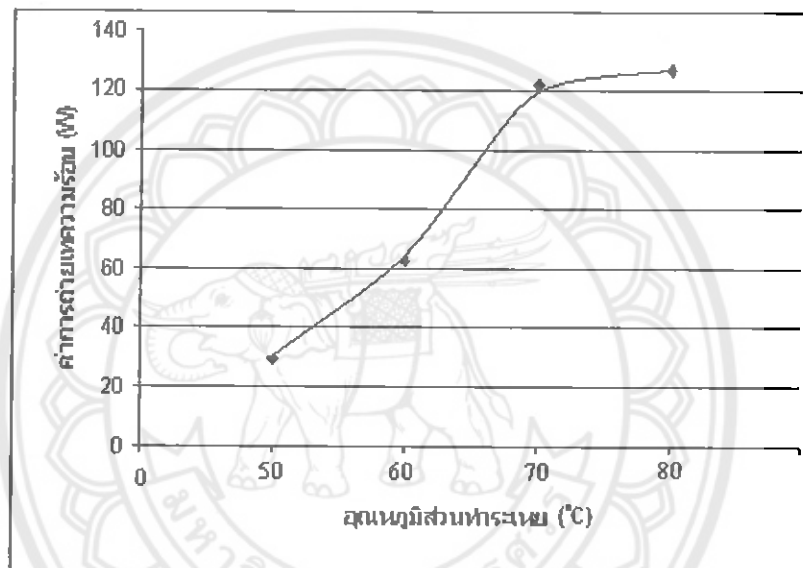
ที่ช่วงอุณหภูมนี้จะสังเกตเห็นก้อนหยดของเหลวจากการควบแน่นเกาะอยู่ที่ผิวค้านในของท่อส่วนควบแน่นและกำลังไหลกลับลงมาซึ่งส่วนทำระเหยเมื่อจากแรงดึงดูดของโลก แต่ความขาว

ของไอน้ำที่รวมตัวกันอย่างหนาแน่นจะมีความยาวมากกว่าช่วงอุณหภูมิ  $70^{\circ}\text{C}$  โดยมีความยาวประมาณ 18 เซนติเมตรด้วยกันของตู้น้ำส่วนควบคุม คิดเป็น 50% ของความยาวส่วนควบคุมทั้งหมด เนื่องจากอุณหภูมิในตู้ส่วนทำระเหยสูงขึ้นมากสารทำงานจึงร้อนและมีความดันไอนากว่าช่วงอุณหภูมิ  $70^{\circ}\text{C}$  ทำให้ในส่วนควบคุมแน่นจำเป็นต้องใช้พื้นที่มากกว่าเดิมในการทำการควบคุมแน่นไอน้ำเหล่านี้ให้กลับลงมาสู่ส่วนทำระเหย ดังรูปที่ 5.6 (ง)

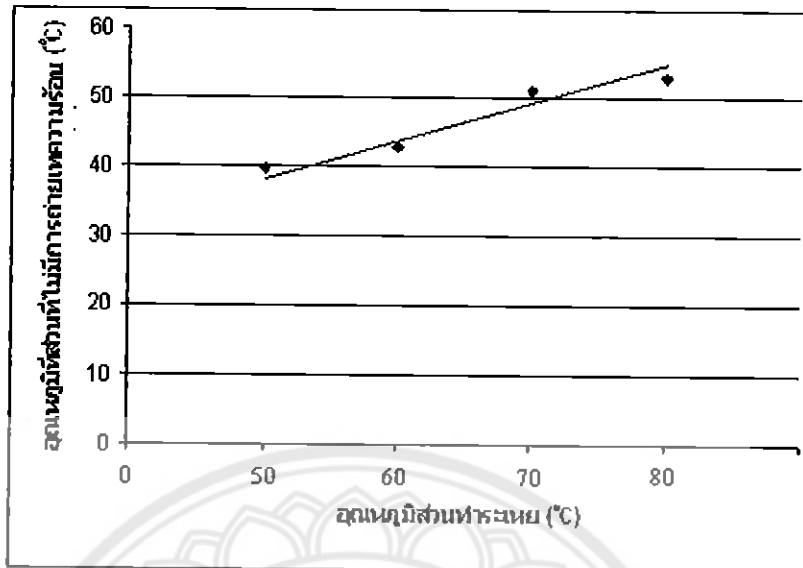


รูปที่ 5.7 แสดงความสัมพันธ์ระหว่างอุณหภูมิที่ส่วนทำระเหยและค่าการถ่ายเทความร้อน จะเห็นว่าค่าการถ่ายเทความร้อนจะมีแนวโน้มสูงขึ้นด้วยหากอุณหภูมิของส่วนทำระเหยสูงขึ้น เมื่ออุณหภูมิส่วนทำระเหยเพิ่มขึ้นจาก  $50^{\circ}\text{C}$  ไปเป็น  $80^{\circ}\text{C}$  ค่าการถ่ายเทความร้อนจะเพิ่มขึ้นจาก 29.2 W ไปเป็น 126.78 W

ที่เป็นเช่นนี้เนื่องมาจากการเปลี่ยนแปลงของอุณหภูมิส่วนทำระเหยสูงขึ้นสารทำงานจะเกิดการเดือดและเริ่มเปลี่ยนสถานะเป็นไออกและมีรูปแบบการไหลคล่องๆ ที่รูปแบบการไหลนั้นเปลี่ยนไป เพราะความเร็วและความคันของไอนีมีค่าสูงขึ้น ความคันนี้จะพาไ้อร้อนผ่านส่วนที่ไม่มีการถ่ายเทความร้อนไปปัจจุบันความแห้งได้มากขึ้น สังเกตได้จากอุณหภูมิของส่วนที่ไม่มีการถ่ายเทความร้อนจะมีค่าสูงขึ้นเรื่อยๆ เมื่ออุณหภูมิที่ส่วนทำระเหยสูงขึ้นคงแสดงในรูปที่ 5.8 ทำให้การถ่ายเทความร้อนสูงขึ้นเนื่องจากอุณหภูมน้ำเย็นขาดออกจะมีค่าสูงขึ้นด้วยค่ารูปที่ 2.5 และสมการที่ 2.14



รูปที่ 5.7 แสดงความสัมพันธ์ระหว่างอุณหภูมิที่ส่วนทำระเหยและค่าการถ่ายเทความร้อนของเทอร์โบไฟฟ่อนที่มีอัตราการเติมสารทำงาน 50%



รูปที่ 5.8 แสดงความสัมพันธ์ระหว่างอุณหภูมิที่ส่วนท่อระเหยและอุณหภูมิที่ส่วนที่ไม่มีการถ่ายเทความร้อนของเทอร์โน่ไฟฟอนที่มีอัตราการเติมสารทำงาน 50%

### 5.2.3 ที่อัตราการเติม 70% ของปริมาตรส่วนท่อระเหย

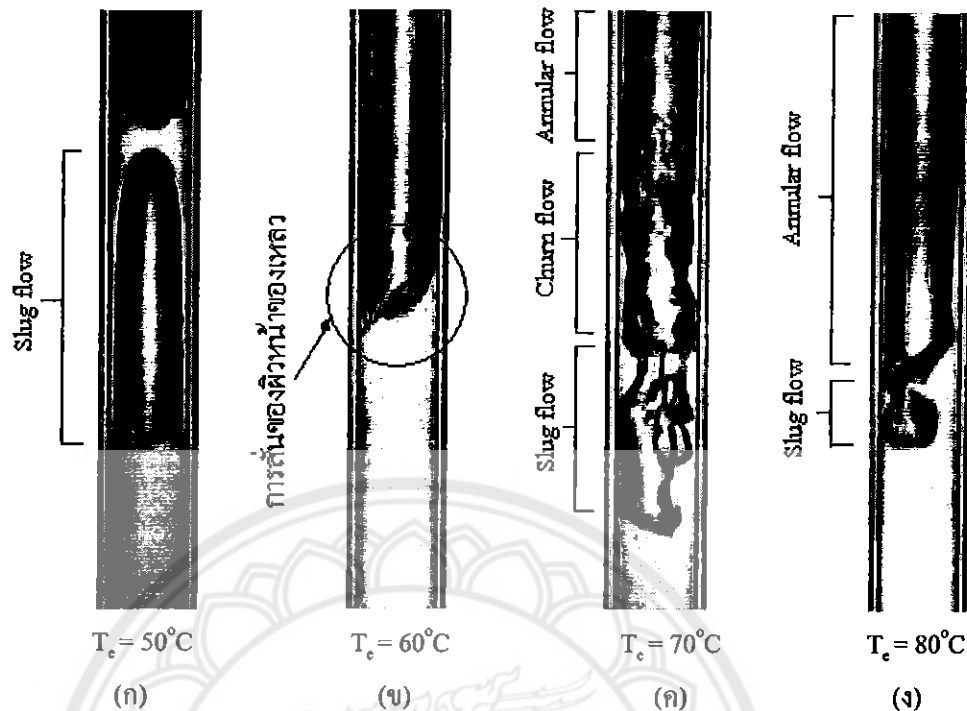
พิจารณาชุดที่ทำการทดลองในส่วนท่อระเหย

- อุณหภูมิ  $50^{\circ}\text{C}$

ที่ช่วงอุณหภูมนี้เริ่มนิการเดือดของสารทำงาน และจะเริ่มสังเกตเห็นการทำงานของห่อเทอร์โน่ไฟฟอน ได้แล้วโดยเที่นรูปแบบการไหลของ Slug flow อย่างชัดเจนแต่เพียงรูปแบบเดียว โดยมีลักษณะเหมือนหัวกระสุนพุ่งขึ้นอย่างช้าๆ ทีละหัว โดยลักษณะของหัวกระสุนนี้จะเริ่มจากเด็กๆ แล้วขยับตัวให้ใหญ่ขึ้น ดังรูปที่ 5.9 (ก)

- อุณหภูมิ  $60^{\circ}\text{C}$

ที่ช่วงอุณหภูมนี้ไม่สามารถสังเกตเห็นหบคน้าจากการความแน่นเกราะที่ผิวค้านในของห่อที่ส่วนท่อระเหย แต่สามารถสังเกตเห็นความเปลี่ยนแปลงที่ผิวน้ำของสารทำงาน คือจะมีการกระเพื่อมของสารทำงานบริเวณผิวหน้าเป็นจังหวะซึ่งมีความถี่ประมาณ 19-22 ครั้งต่อนาที ซึ่งเกิดจากที่อุณหภูมิของน้ำในตู้ส่วนท่อระเหยสูงขึ้นจนห่อเทอร์โน่ไฟฟอนนี้เริ่มทำงาน แต่ยังไม่สามารถสังเกตเห็นรูปแบบการไหลใดๆ ได้ ดังรูปที่ 5.9 (ข)



รูปที่ 5.9 ผลกระทบของอุณหภูมิส่วนทำระเหยที่มีต่อรูปแบบการไหลในส่วนทำระเหยของเทอร์โน่ไฟฟอนที่มีอัตราการเติบ 70%

- อุณหภูมิ  $70^\circ\text{C}$

ที่ช่วงอุณหภูมนี้สามารถภายในท่อเทอร์โน่ไฟฟอนนี้การเดือดแล้วสามารถสังเกตเห็นรูปแบบการไหลของ Slug flow ต่อจากนั้นการไหลเริ่มเปลี่ยนเป็นรูปแบบของ Churn flow เป็นส่วนใหญ่โดยที่อาจจะมีรูปแบบการไหลของ Annular flow เกิดผสมกันเป็นบางช่วงเวลา หรืออาจสรุปได้ว่า รูปแบบการไหลของ Slug flow แล้วเปลี่ยนเป็น Churn flow ก็จะ รูปแบบการไหลหลักของช่วงอุณหภูมนี้ หยุดน้ำซึ่งให้ลงมากจากส่วนควบคุมแน่นื่องจากแรงดึงดูดของโลก ไม่สามารถสังเกตเห็นได้อีกด้วยไปเนื่องจากรูปแบบการไหลภายในท่อภายในทิศทางที่ส่วนทางก้นหยุดน้ำที่ไหลลงมาเจ็บน้ำเหล่านี้ไหลขึ้นไปด้วย ดังรูป 5.9 (ค)

- อุณหภูมิ  $80^\circ\text{C}$

ที่ช่วงอุณหภูมนี้ สามารถเห็นรูปแบบการไหลของ Slug flow และ และรูปแบบการไหลของ Churn flow เพียงเล็กน้อยเท่านั้น โดยจะสังเกตเห็นรูปแบบการไหลของ Annular flow เป็นส่วนใหญ่ จึงอาจสรุปได้ว่ารูปแบบการไหลของ Annular flow เป็นรูปแบบการไหลหลักที่ช่วงอุณหภูมนี้ หยุดน้ำซึ่งให้ลงมากจากส่วนควบคุมแน่นื่องจากแรงดึงดูดของโลก ไม่สามารถสังเกตเห็น

ได้อีกต่อไปเนื่องจากรูปแบบการไหลภายในท่อไอลในทิศทางที่ส่วนทางก้นทบคน้ำที่ไหลลงมาจึงนำพาheyคน้ำเหล่านี้ไหลขึ้นไปด้วย ดังรูป 5.9 (ง)

#### พิจารณาชุดที่ทำการทดลองในส่วนความแన่น

- อุณหภูมิ  $50^{\circ}\text{C}$

ที่ช่วงอุณหภูมนี้สารทำงานภายในท่อเทอร์โมไฟฟอนยังไม่มีการเดือด เนื่องจากอุณหภูมิของน้ำภายในตู้ส่วนทำระเหยยังไม่สูงพอที่จะทำให้ท่อเทอร์โมไฟฟอนนี้ทำงาน ความคันของไอจากการระเหยยังไม่เพียงพอที่จะพาไอลเหล่านี้ลอดเข้ามาซึ่งส่วนความแnan จึงไม่สามารถสังเกตเห็นรูปแบบการไหลใดๆ หรือheyคน้ำเนื่องจากการความแnanที่ส่วนความแnanที่ส่วนความแnanได้ ดังรูป 5.10 (ก)

- อุณหภูมิ  $60^{\circ}\text{C}$

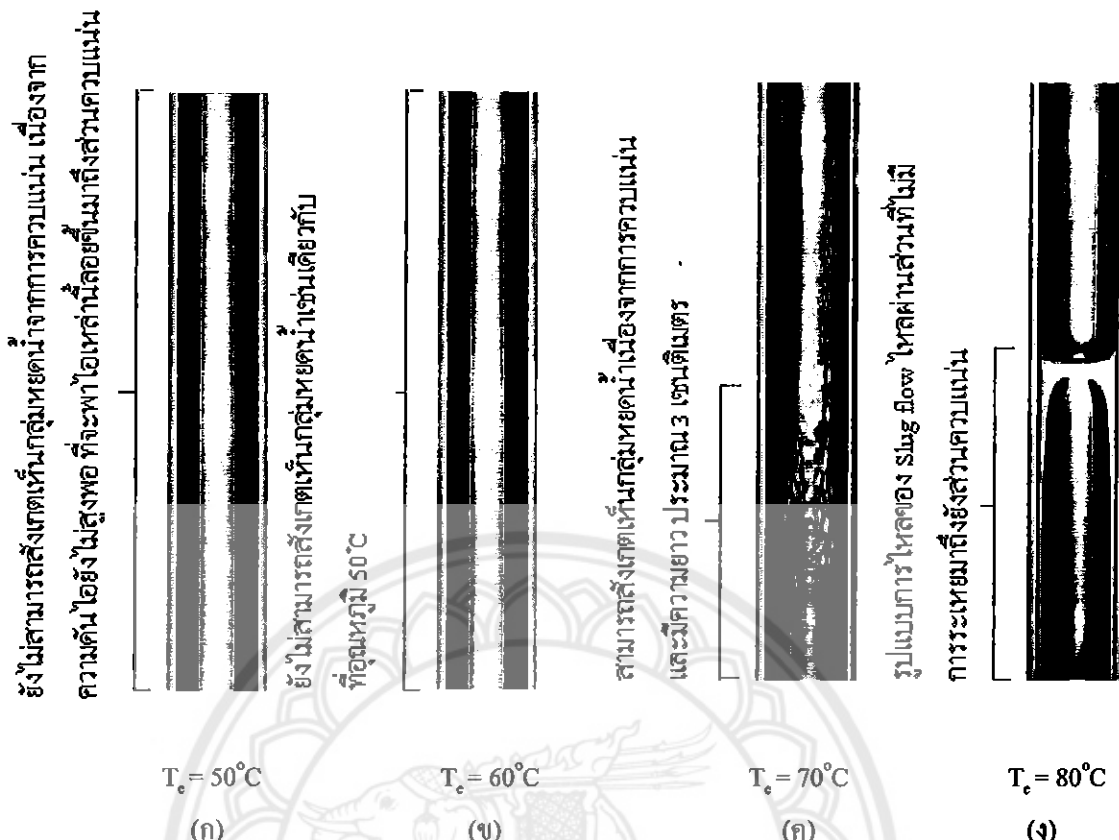
ชั่นเดียวกับที่อุณหภูมิ  $50^{\circ}\text{C}$  คือสารทำงานภายในท่อเทอร์โมไฟฟอนยังไม่มีการเดือด เนื่องจากอุณหภูมิของน้ำภายในตู้ส่วนทำระเหยยังไม่สูงพอที่จะทำให้ท่อเทอร์โมไฟฟอนนี้ทำงาน ความคันของไอจากการระเหยยังไม่เพียงพอที่จะพาไอลเหล่านี้ลอดเข้ามาซึ่งส่วนความแnan จังหวะไม่สามารถสังเกตเห็นรูปแบบการไหลใดๆ หรือheyคน้ำเนื่องจากการความแnanที่ส่วนความแnanที่ส่วนความแnanได้ ดังรูปที่ 5.10 (ข)

- อุณหภูมิ  $70^{\circ}\text{C}$

ที่ช่วงอุณหภูมนี้ท่อเทอร์โมไฟฟอนนี้เริ่มทำงานแล้ว จะเริ่มสังเกตเห็นก้อนหบดของเหลว เนื่องจากการความแnanแกะอยู่ที่ผิวถังในของท่อส่วนความแnanและกำลังไหลกลับลงมาซึ่งส่วนทำระเหยเนื่องจากแรงดึงดูดของโลก ไอน้ำเหล่านี้รวมตัวกันหนาแน่นโดยมีความขาวประมาณ 3 เซนติเมตรวัดจากขอบล่างของถังน้ำส่วนความแnan คิดเป็น 8.33% ของความขาวส่วนความแnanทั้งหมด ดังรูปที่ 5.10 (ค)

- อุณหภูมิ  $80^{\circ}\text{C}$

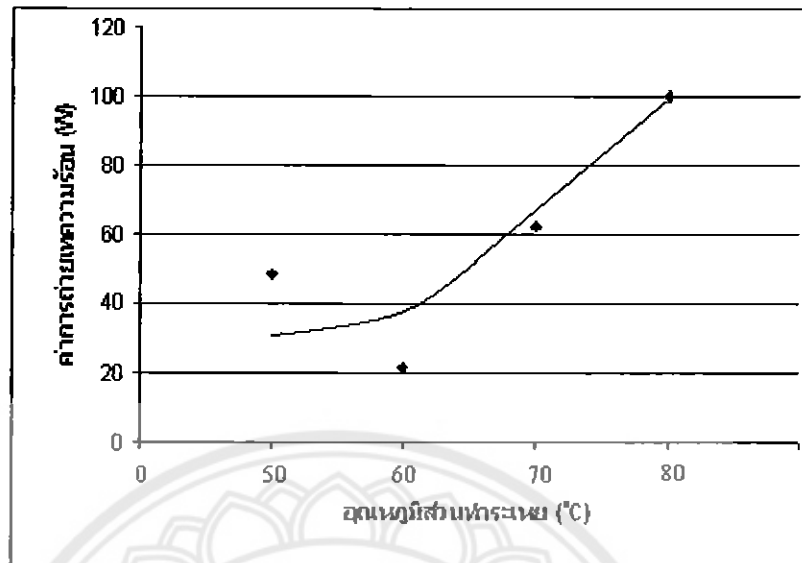
ที่ช่วงอุณหภูมนี้ จะไม่สามารถสังเกตเห็นก้อนหบดของเหลวจากการความแnanแกะก้อน เนื่องจากอุณหภูมนี้ท่อเทอร์โมไฟฟอนนี้เริ่มทำงานแล้ว แต่จะสามารถสังเกตเห็นไอน้ำที่ร้อนจัดไหลมาถึงส่วนความแnanและมีทิศทางการไหลที่ส่วนทางก้นก้อนหบดน้ำที่ไหลลงมาจึงนำพาไอก้อนหบดน้ำไหลเหล่านี้ขึ้นไปด้วย ดังรูป 5.10 (ง)



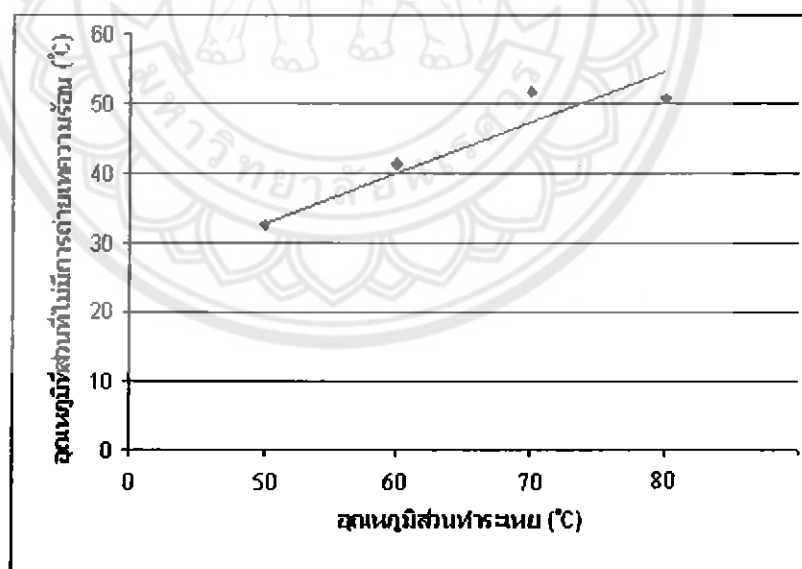
รูปที่ 5.10 ผลกระบวนการอุณหภูมิส่วนทำระเหยที่มีต่อรูปแบบการให้พลังงานในส่วนความแหน่งของเทอร์โนไซฟอนที่มีอัตราการเติบ 70%

รูปที่ 5.11 แสดงความสัมพันธ์ระหว่างอุณหภูมิที่ส่วนทำระเหยและค่าการถ่ายเทความร้อนจะเทื่องว่าค่าการถ่ายเทความร้อนจะมีแนวโน้มสูงขึ้นด้วยหากอุณหภูมิของส่วนทำระเหยสูงขึ้น เมื่ออุณหภูมิส่วนทำระเหยเพิ่มขึ้นจาก  $50^\circ\text{C}$  ไปเป็น  $80^\circ\text{C}$  ค่าการถ่ายเทความร้อนจะเพิ่มขึ้นจาก 48.44 W ไปเป็น 100.3 W

ที่เป็นเช่นนี้เนื่องมาจากการถ่ายเทความร้อนจะมีแนวโน้มสูงขึ้นสารทำงานจะเกิดการเดือดและเริ่มเปลี่ยนสถานะเป็นไอและมีรูปแบบการให้พลังงานต่างๆ ที่รูปแบบการให้พลังงานเปลี่ยนไป เพราะความเร็วและความดันของไอจะเพิ่มขึ้น ความดันนี้จะพาไอร้อนผ่านส่วนที่ไม่มีการถ่ายเทความร้อนไปยังส่วนความแหน่งได้มากขึ้น สังเกตได้จากอุณหภูมิของส่วนที่ไม่มีการถ่ายเทความร้อนจะมีค่าสูงขึ้นเรื่อยๆ เมื่ออุณหภูมิที่ส่วนทำระเหยสูงขึ้นดังแสดงในรูปที่ 5.12 ทำให้ค่าการถ่ายเทความร้อนสูงขึ้นเนื่องจากอุณหภูมน้ำเย็นขาดออกจะมีค่าสูงขึ้นคับชดังรูปที่ 2.5 และสมการที่ 2.14



รูปที่ 5.11 แสดงความสัมพันธ์ระหว่างอุณหภูมิที่ส่วนท่าระเหยและค่าการถ่ายเทความร้อนของเทอร์โนไชฟอนที่มีอัตราการเติมสารทำงาน 70%



รูปที่ 5.12 แสดงความสัมพันธ์ระหว่างอุณหภูมิที่ส่วนท่าระเหยและอุณหภูมิที่ส่วนที่ไม่มีการถ่ายเทความร้อน ของเทอร์โนไชฟอน ที่มีอัตราการเติมสารทำงาน 70%

ผลกระแทบทองอุณหภูมิส่วนท่าระเหยที่มีต่อค่าการถ่ายเทคุณร้อน ณ อัตราการเติมต่างๆ พบว่าผลกระแทบทองอุณหภูมนิ้วนิ้วใน้มเหมือนกัน คือ เมื่ออุณหภูมิส่วนท่าระเหยสูงขึ้นค่าการถ่ายเทคุณร้อนจะมากขึ้นด้วย สำหรับเทอร์โนไชฟอนที่มีขนาดเส้นผ่าศูนย์กลางภายใน 12 มิลลิเมตร ความยาวที่ส่วนท่าระเหย 360 มิลลิเมตร ความยาวที่ส่วนไม่มีการถ่ายเทคุณร้อน 200 มิลลิเมตร และความยาวที่ส่วนความแปร่ 305 มิลลิเมตร และใช้น้ำกลั่นเป็นสารทำงาน ที่อัตราการเติมสารทำงาน 50% เมื่ออุณหภูมิส่วนท่าระเหยเพิ่มขึ้นจาก  $50^{\circ}\text{C}$  ไปเป็น  $80^{\circ}\text{C}$  ค่าการถ่ายเทคุณร้อนจะเพิ่มขึ้นจาก 29.2 W ไปเป็น 126.78 W

### 5.3 ผลกระทบของอัตราการเติมสารทำงานที่มีต่อรูปแบบการไหลและค่าการถ่ายเทคุณร้อนของเทอร์โนไชฟอน

#### 5.3.1 ที่อุณหภูมิ $50^{\circ}\text{C}$

พิจารณาดูที่ทำการทดลองในส่วนท่าระเหย

- อัตราการเติมที่ 30% ของส่วนท่าระเหย

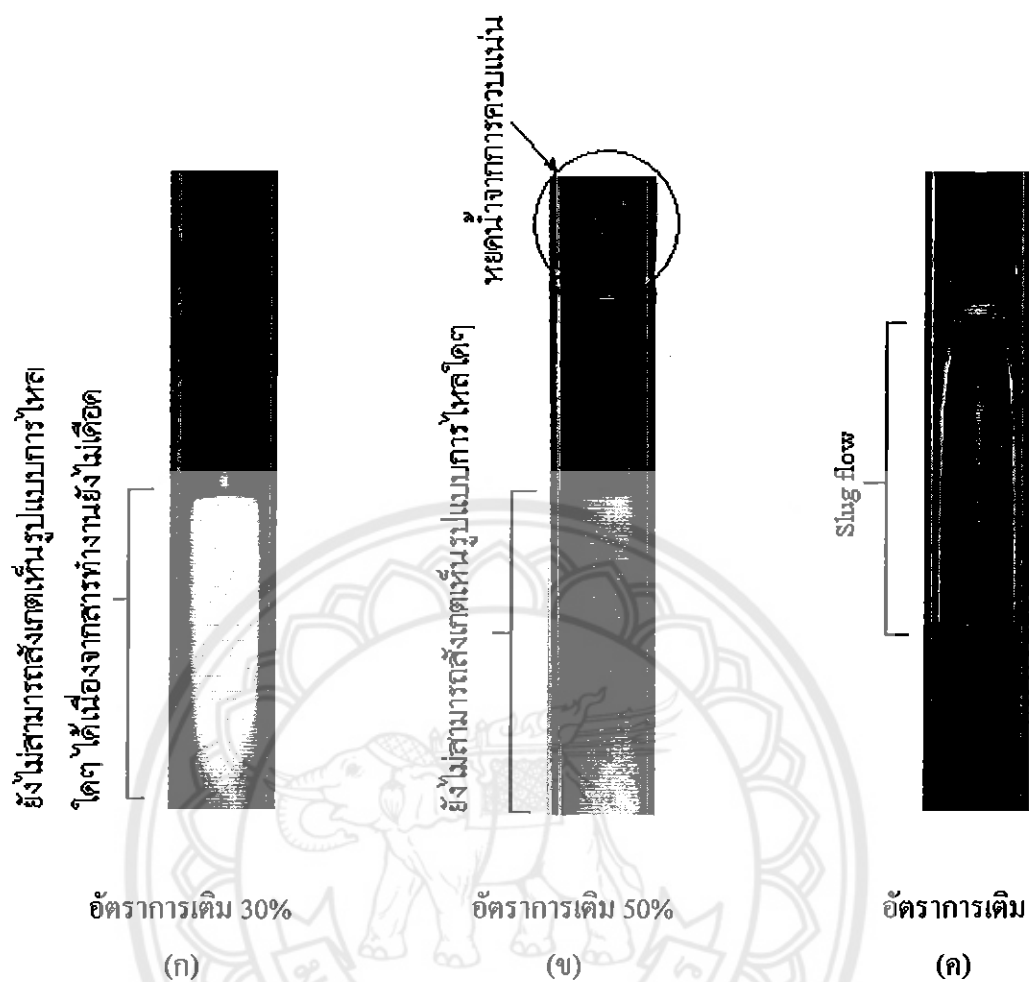
สารทำงานภายในท่อเทอร์โนไชฟอนยังไม่มีการเดือด หรือเกิดไอ้น้ำเกาะที่คิวค้านในของท่อส่วนท่าระเหย เนื่องจากอุณหภูมนิ่องน้ำภายในตู้ส่วนท่าระเหยยังไม่สูงพอที่จะทำให้ท่อเทอร์โนไชฟอนนี้ทำงาน จึงไม่สามารถสังเกตเห็นรูปแบบการไหลใดๆ ที่ส่วนท่าระเหยได้ ดังรูป 5.13 (ก)

- อัตราการเติมที่ 50% ของส่วนท่าระเหย

สารทำงานภายในท่อเทอร์โนไชฟอนยังไม่มีการเดือด แต่สามารถสังเกตเห็นหยดน้ำจากกระบวนการแปรน้ำซึ่งไหลลงมาจากส่วนที่ไม่มีการถ่ายเทคุณร้อน (ความดันไอยังไม่สูงพอ ที่จะพาไอเหล่านี้ไปควบแปรน้ำที่ส่วนความแปร่) เพราะว่าอุณหภูมนิ่องน้ำภายในตู้ส่วนท่าระเหยยังไม่สูงพอที่จะทำให้ท่อเทอร์โนไชฟอนนี้ทำงาน จึงยังไม่สามารถสังเกตเห็นรูปแบบการไหลใดๆ ที่ส่วนท่าระเหยได้ ดังรูป 5.13 (ข)

- อัตราการเติมที่ 70% ของส่วนท่าระเหย

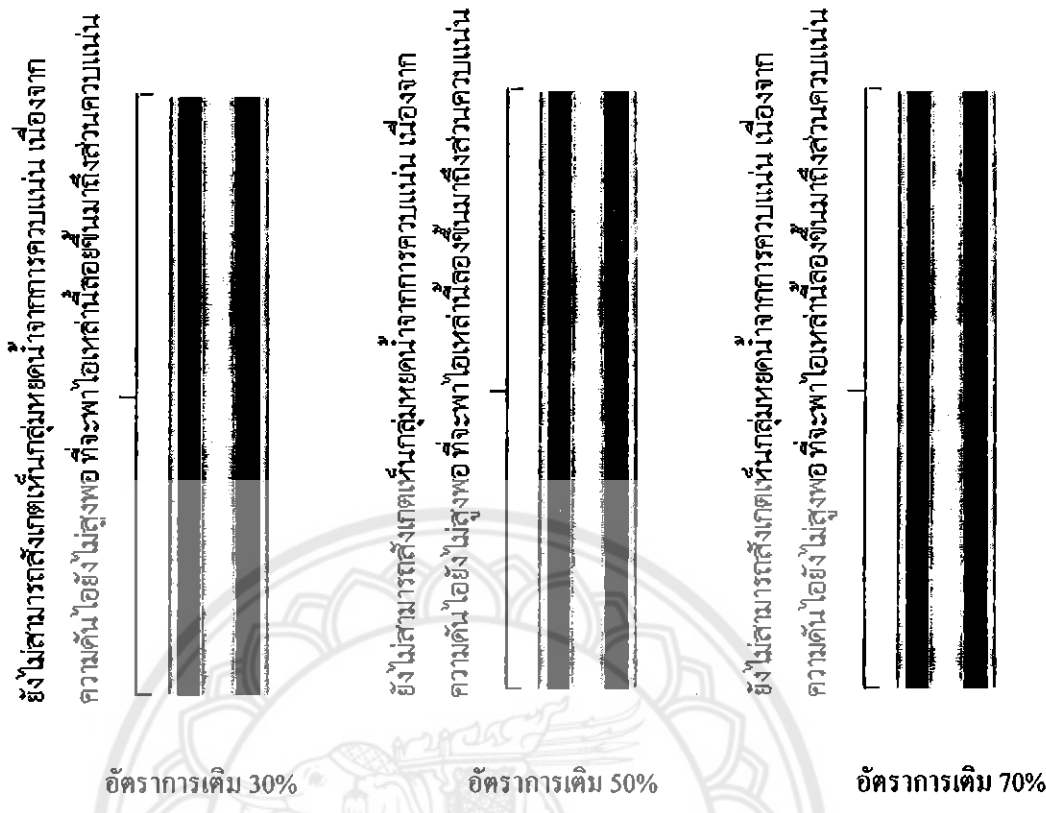
สารทำงานเริ่มนิการเดือด และจะเริ่มสังเกตเห็นการทำงานของท่อเทอร์โนไชฟอนได้แล้ว โดยเห็นรูปแบบการไหลของ Slug flow อย่างชัดเจนแต่เพียงรูปแบบเดียว โดยมีลักษณะเหมือนหัวกระสุนพุ่งขึ้นอย่างช้าๆ ทีละหัว โดยลักษณะของฟองไอหัวกระสุนนี้จะเริ่มจากเล็กๆ แล้วขยายตัวใหญ่ขึ้น ดังรูปที่ 5.13 (ค)



รูปที่ 5.13 ผลกระทบของอัตราการเติมสารทำงานที่มีต่อรูปแบบการไหลในส่วนทำระเหยของเทอร์โนไซฟอนที่อุณหภูมิ  $50^{\circ}\text{C}$

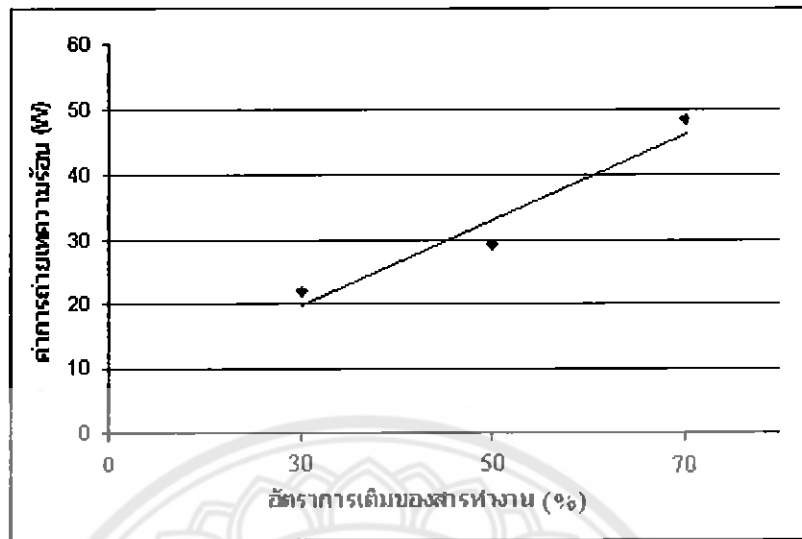
#### พิจารณาดูที่ทำการทดสอบในส่วนความแน่น

อัตราการเติมที่ 30% 50% และ 70% ของส่วนทำระเหย จะให้ผลการทดสอบเช่นเดียวกันคือ สารทำงานภายในห้องเทอร์โนไซฟอนยังไม่มีการเดือด เนื่องจากอุณหภูมิของน้ำภายในดูส่วนทำระเหยยังไม่สูงพอที่จะทำให้ห้องเทอร์โนไซฟอนนี้ทำงาน ความดันของไออการะเหยยังไม่เพียงพอที่จะพาไออกาเหล่านี้ลอดผ่านมาซึ่งส่วนความแน่น จึงไม่สามารถสังเกตเห็นรูปแบบการไหลใดๆ หรือพบน้ำเนื่องจากการความแน่นที่ส่วนความแน่นได้ ดังรูปที่ 5.14

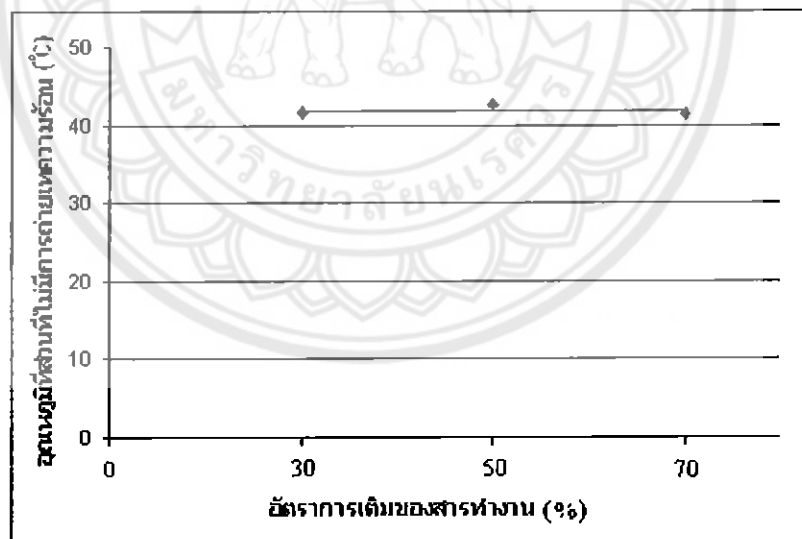


รูปที่ 5.15 แสดงความสัมพันธ์ระหว่างอัตราการเติมสารทำงานและค่าการถ่ายเทความร้อน จะเห็นว่าค่าการถ่ายเทความร้อนจะมีแนวโน้มสูงขึ้นหากอุณหภูมนิ่งส่วนที่กำมะหย婚后สูงขึ้น เมื่ออัตราการเติมสารทำงานเพิ่มขึ้นจาก 30% ไปเป็น 70% ค่าการถ่ายเทความร้อนจะเพิ่มขึ้นจาก  $21.97 \text{ W}$  ไปเป็น  $48.44 \text{ W}$

ที่เป็นเช่นนี้เนื่องมาจากการที่อัตราการเติม 30% และ 50% นั้นท่อเทอร์โนไชฟอนยังไม่ทำงานทำให้ค่าการถ่ายเทความร้อนนั้นใกล้เคียงกัน ส่วนที่อัตราการเติม 70% ท่อเทอร์โนไชฟอนเริ่มมีการเดือดแล้วสังเกตได้จากการเกิดรูปแบบการไหลของ Slug flow ที่ส่วนที่กำมะหย后 ทำให้มีค่าการถ่ายเทความร้อนสูงกว่าที่อัตราการเติม 30% และ 50% นั้น แต่เทอร์โนไชฟอนทั้ง 3 อัตราการเติมยังถือว่าไม่ทำงานเหมือนกันทั้งหมด สังเกตได้จากอุณหภูมนิ่งส่วนที่ไม่มีการถ่ายเทความร้อนนั้นเกือบจะมีค่าเท่ากันทั้ง 3 อัตราการเติม แสดงในรูปที่ 5.16



รูปที่ 5.15 แสดงความสัมพันธ์ระหว่างอัตราการเติมสารทำงานและค่าการถ่ายเทความร้อนของเทอร์โนไฟฟอนที่อุณหภูมิส่วนที่ำระเหย  $50^{\circ}\text{C}$



รูปที่ 5.16 แสดงความสัมพันธ์ระหว่างอัตราการเติมสารทำงานและอุณหภูมิที่ส่วนที่ไม่มีการถ่ายเทความร้อน ของเทอร์โนไฟฟอนที่อุณหภูมิส่วนที่ำระเหย  $50^{\circ}\text{C}$

### 5.3.2 ที่อุณหภูมิ 60°C

พิจารณาชุดที่ทำการทดลองในส่วนท่าระเหย

- อัตราการเติมที่ 30% ของส่วนท่าระเหย

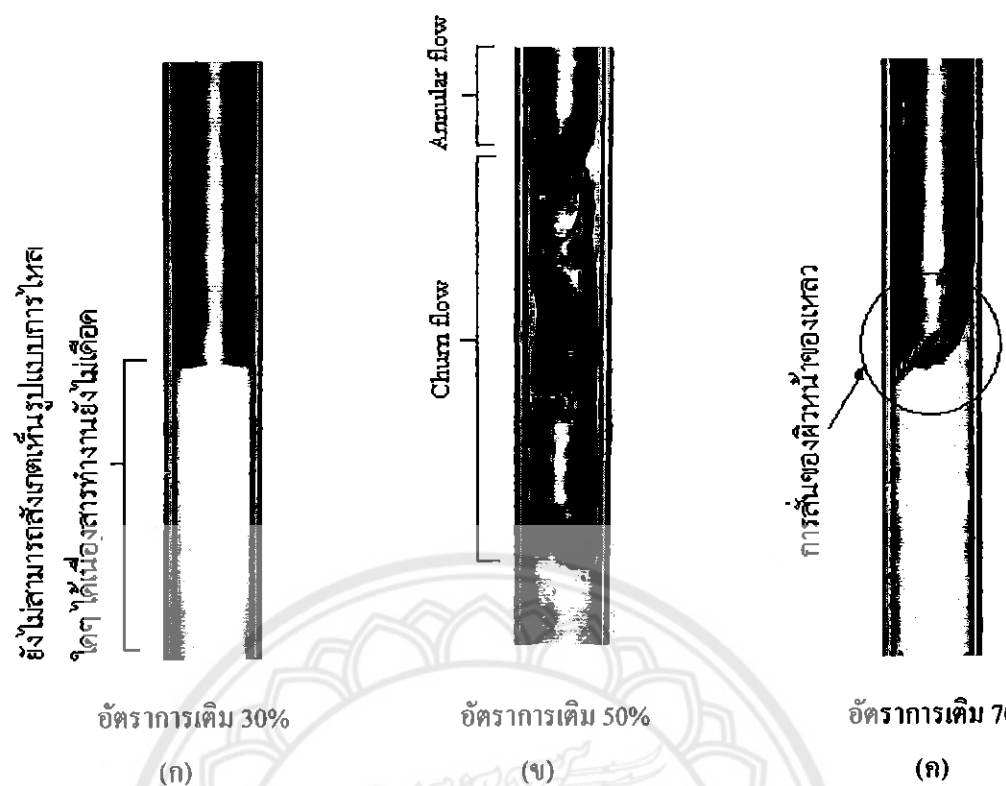
สารทำงานภายในท่อเทอร์โน้ ไฟฟ่อนขังไม่มีการเดือด หรือเกิดไอน้ำเกาะที่ผิวค้านในของท่อส่วนท่าระเหย เนื่องจากอุณหภูมิของน้ำภายในตู้ส่วนท่าระเหยขังไม่สูงพอที่จะทำให้ท่อเทอร์โน้ ไฟฟ่อนทำงาน จึงไม่สามารถสังเกตเห็นรูปแบบการไหลใดๆ ที่ส่วนท่าระเหยได้ ดังรูป 5.17 (ก)

- อัตราการเติมที่ 50% ของส่วนท่าระเหย

สารทำงานภายในท่อเทอร์โน้ ไฟฟ่อนเริ่มนีการเดือดจึงสามารถสังเกตเห็นรูปแบบการไหลได้หลายรูปแบบแต่อาจสรุปได้ว่า ในช่วงแรกนี้สามารถสังเกตเห็นรูปแบบการไหลของ Slug flow ต่อจากนั้นการไหลเริ่มเปลี่ยนเป็นรูปแบบของ Churn flow โดยที่อาจจะมีรูปแบบการไหลของ Annular flow และเป็นบางช่วงเวลา หรือ อาจสรุปได้ว่า รูปแบบการไหลของ Slug flow แล้วเปลี่ยนเป็น Churn flow ก็อธิบายได้ว่า รูปแบบการไหลหลักของอัตราการเติม 50% ของช่วงอุณหภูมนี้ หยุดนิ่ง ไม่สามารถสังเกตเห็นได้อีกต่อไป เนื่องจากรูปแบบการไหลภายในท่อภายในทิศทางที่ส่วนทางก้นหดน้ำที่ไหลลงมาจึงนำพาหดน้ำ ไหลเข้าไปด้วย ดังรูป 5.17 (ข)

- อัตราการเติมที่ 70% ของส่วนท่าระเหย

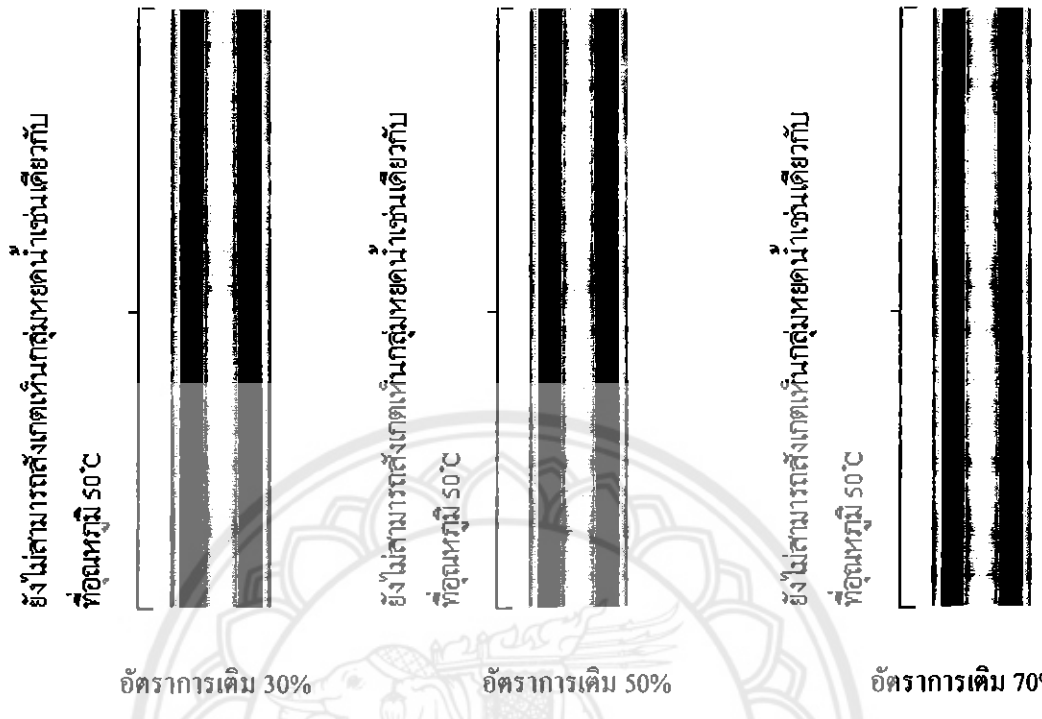
ไม่สามารถสังเกตเห็นหดน้ำจากการควบคุมเน่นเกาะที่ผิวค้านในของท่อที่ส่วนท่าระเหย แต่สามารถสังเกตเห็นความเปลี่ยนแปลงที่ผิวน้ำของสารทำงาน คือจะมีการระเพื่อมของสารทำงานบริเวณผิวน้ำเป็นจังหวะซึ่งมีความถี่ประมาณ 19-22 ครั้งต่อนาที ซึ่งเกิดจากที่อุณหภูมิของน้ำในส่วนท่าระเหยสูงขึ้นจนท่อเทอร์โน้ ไฟฟ่อนนี้เริ่มทำงาน แต่ซึ่งไม่สามารถสังเกตเห็นรูปแบบการไหลใดๆ ได้ ดังรูปที่ 5.17 (ค)



**รูปที่ 5.17** ผลกระบวนการของอัตราการเติมสารทำงานที่มีต่อรูปแบบการไหลในส่วนท่าระเหยของเทอร์โนไชฟอนที่อุณหภูมิ  $60^{\circ}\text{C}$

#### พิจารณาดูค่าที่ทำการทดสอบในส่วนความแน่น

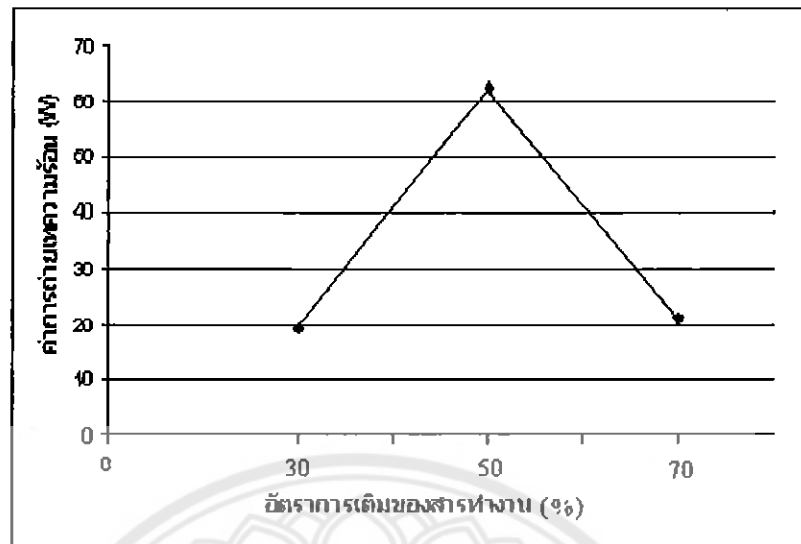
- อัตราการเติมที่ 30%, 50% และ 70% ของส่วนท่าระเหย จะให้ผลการทดสอบเช่นเดียวกัน คือ สารทำงานภายในท่อเทอร์โนไชฟอนยังไม่มีการเดือด เนื่องจากอุณหภูมิของน้ำภายในตู้ส่วนท่าระเหยยังไม่สูงพอที่จะทำให้ท่อเทอร์โนไชฟอนนี้ทำงาน ความคันของไอกการระเหยยังไม่เพียงพอที่จะพาไอกล่ามน้ำลอดขึ้นมาข้างส่วนความแน่น จึงไม่สามารถสังเกตเห็นรูปแบบการไหลได้ หรือกลุ่มหยดน้ำนี้จะหายไปในส่วนความแน่นได้ ดังรูปที่ 5.18



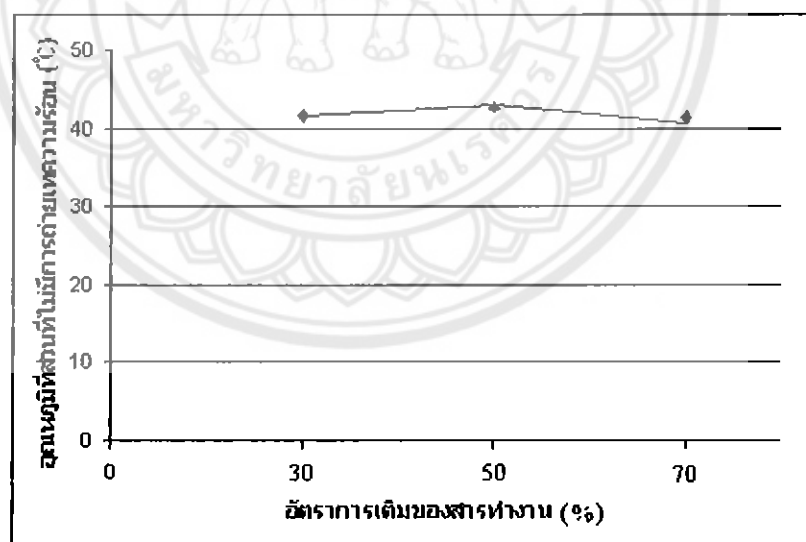
รูปที่ 5.18 ผลกระบวนการสั่งงานทำให้มีอุณหภูมิที่ต่างกัน  
ในไชฟอนที่อุณหภูมิ 60°C

รูปที่ 5.19 แสดงความสัมพันธ์ระหว่างอัตราการเติบสารทำงานและค่าการถ่ายเทความร้อน จะเห็นว่าค่าการถ่ายเทความร้อนที่อัตราการเติบ 30% และ 70% จะมีค่าการถ่ายเทความร้อนน้อยกว่าที่อัตราการเติบ 50% โดยจะมีค่า 19.4 W และ 21.36 W ในขณะที่อัตราการเติบ 50% จะมีค่าการถ่ายเทความร้อนสูงถึง 62.78 W

ที่เป็นเช่นนี้เนื่องมาจากการที่อัตราการเติบสารทำงาน 30% และ 70% เทอร์ไนไซฟอนยังไม่ทำงาน ทำให้มีค่าการถ่ายเทความร้อนน้อยกว่าที่อัตราการเติบ 50% ซึ่งเทอร์ไนไซฟอนเริ่มทำงานแล้ว สังเกตได้จากการเกิดรูปแบบการไหลของ Churn flow และ Annular flow ที่ส่วนทำระเหย หรือสังเกตได้จากอุณหภูมิที่ส่วนความแน่นที่อัตราการเติบ 50% จะมีค่าสูงที่สุด แสดงในรูปที่ 5.20



รูปที่ 5.19 แสดงความสัมพันธ์ระหว่างอัตราการเติมสารทำงานและค่าการถ่ายเทความร้อนของเทอร์โมไฟฟอนที่อุณหภูมิส่วนทำระเหย  $60^{\circ}\text{C}$



รูปที่ 5.20 แสดงความสัมพันธ์ระหว่างอัตราการเติมสารทำงานและอุณหภูมิที่ส่วนที่ไม่มีการถ่ายเทความร้อน ของเทอร์โมไฟฟอนที่อุณหภูมิส่วนทำระเหย  $60^{\circ}\text{C}$

### 5.3.3 ที่อุณหภูมิ 70°C

พิจารณาชุดที่ทำการทดลองในส่วนท่าระเหย

- อัตราการเติมที่ 30% ของส่วนท่าระเหย

เริ่มสังเกตเห็นหยดน้ำเกาะที่ผิวด้านในบางส่วนของท่อที่ส่วนท่าระเหยและสามารถ

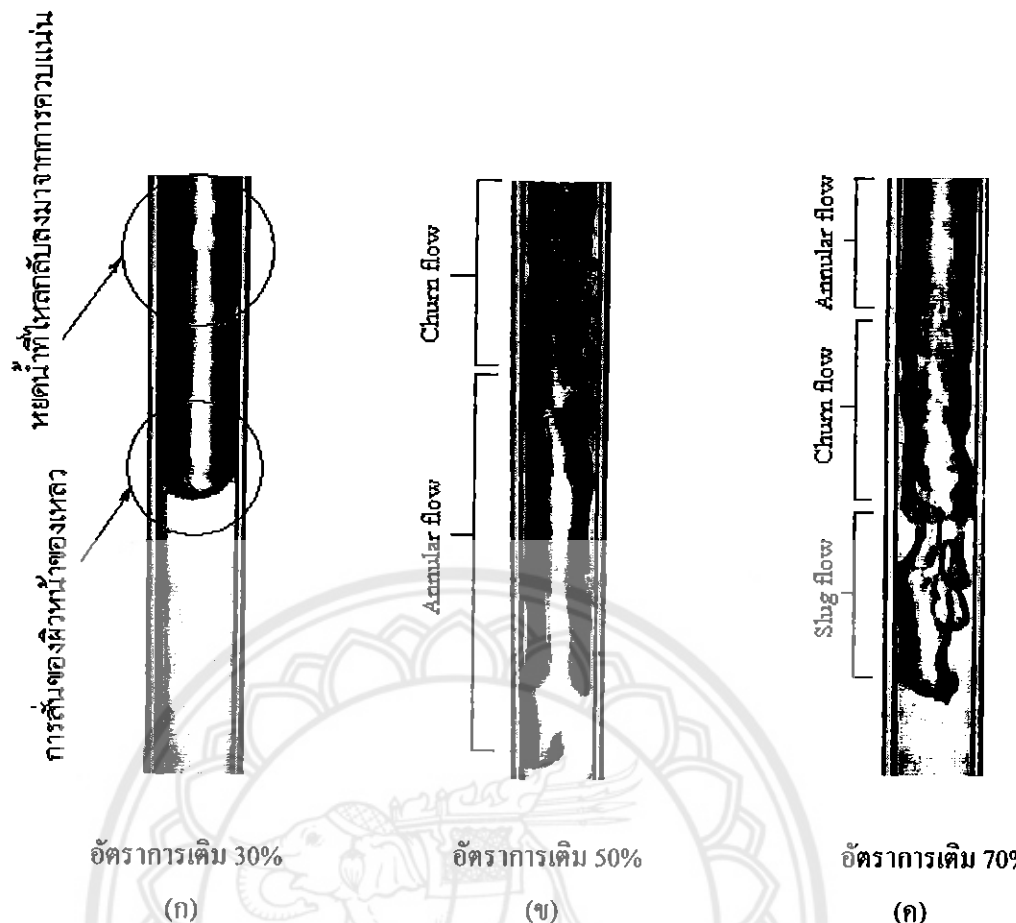
สังเกตเห็นความเปลี่ยนแปลงที่ผิวน้ำของสารทำงาน คือจะมีการกระเพื่อมของสารทำงานบริเวณผิวน้ำเป็นจังหวะมีความถี่ประมาณ 13-15 ครั้งต่อนาที ซึ่งเกิดจากอุณหภูมิของน้ำในสู๊ส่วนท่าระเหยสูงขึ้นจนท่อเทอร์โนไซฟอนนี้เริ่มทำงาน และเริ่มสังเกตเห็นหยดน้ำจากการควบแน่นไอลลงมาจากส่วนที่ไม่มีการถ่ายเทความร้อน (ความดันไออย่างไม่สูงพอที่จะพาไอเหล่านี้ไปควบแน่นที่ส่วนควบแน่น) แต่ยังไม่สามารถสังเกตเห็นรูปแบบการไอลใดๆ ได้ ดังรูปที่ 5.21 (ก)

- อัตราการเติมที่ 50% ของส่วนท่าระเหย

รูปแบบการการไอลของ Slug flow และ และรูปแบบการไอลของ Churn flow จะถูกสังเกตได้เพียงเล็กน้อย โดยทั่วไปแล้วจะสังเกตเห็นรูปแบบการไอลของ Annular flow เป็นส่วนใหญ่ จึงอาจสรุปได้ว่ารูปแบบการไอลของ Annular flow ซึ่งมีรูปแบบการการไอลของ Slug flow และ และรูปแบบการไอลของ Churn flow เพียงเล็กน้อย เป็นรูปแบบการไอลหลักที่อัตราการเติม 50% ของช่วงอุณหภูมนี้ หยดน้ำซึ่งไอลซึ่งไอลลงมาจากส่วนควบแน่นนี้ออกจากแรงดึงดูดของโลก ไม่สามารถสังเกตเห็นได้อีกด้วยไป เนื่องจากรูปแบบการไอลภายในท่อไอลในทิศทางที่สวนทางกับหยดน้ำที่ไอลลงมาจึงนำพาหยดน้ำไอลเข้าไปด้วย ดังรูป 5.21 (ข)

- อัตราการเติมที่ 70% ของส่วนท่าระเหย

ที่ช่วงอุณหภูมนี้สารทำงานภายในท่อเทอร์โนไซฟอนมีการเดือดแล้วสามารถสังเกตเห็นรูปแบบการไอลของ Slug flow ต่อจากนั้นการไอลเริ่มเปลี่ยนเป็นรูปแบบของ Churn flow เป็นส่วนใหญ่โดยที่อาจจะมีรูปแบบการไอลของ Annular flow เกิดผสมกันเป็นบางช่วงเวลา หรือ อาจสรุปได้ว่า รูปแบบการไอลของ Slug flow แล้วเปลี่ยนเป็น Churn flow คือ รูปแบบการไอลหลักที่อัตราการเติม 70% ของช่วงอุณหภูมนี้ หยดน้ำซึ่งไอลซึ่งไอลลงมาจากส่วนควบแน่นนี้ออกจากแรงดึงดูดของโลก ไม่สามารถสังเกตเห็นได้อีกด้วยไปเนื่องจากรูปแบบการไอลภายในท่อไอลในทิศทางที่สวนทางกับหยดน้ำที่ไอลลงมาจึงนำพาหยดน้ำไอลเข้าไปด้วย ดังรูป 5.21 (ก)



รูปที่ 5.21 ผลกระทบของอัตราการเติมสารทำงานที่มีต่อรูปแบบการไหลในส่วนท่าระเบยของเทอร์โนไซฟอนที่อุณหภูมิ 70°C

#### พิจารณาชุดที่ทำการทดลองในส่วนความแน่น

- อัตราการเติมที่ 30% ของส่วนท่าระเบย

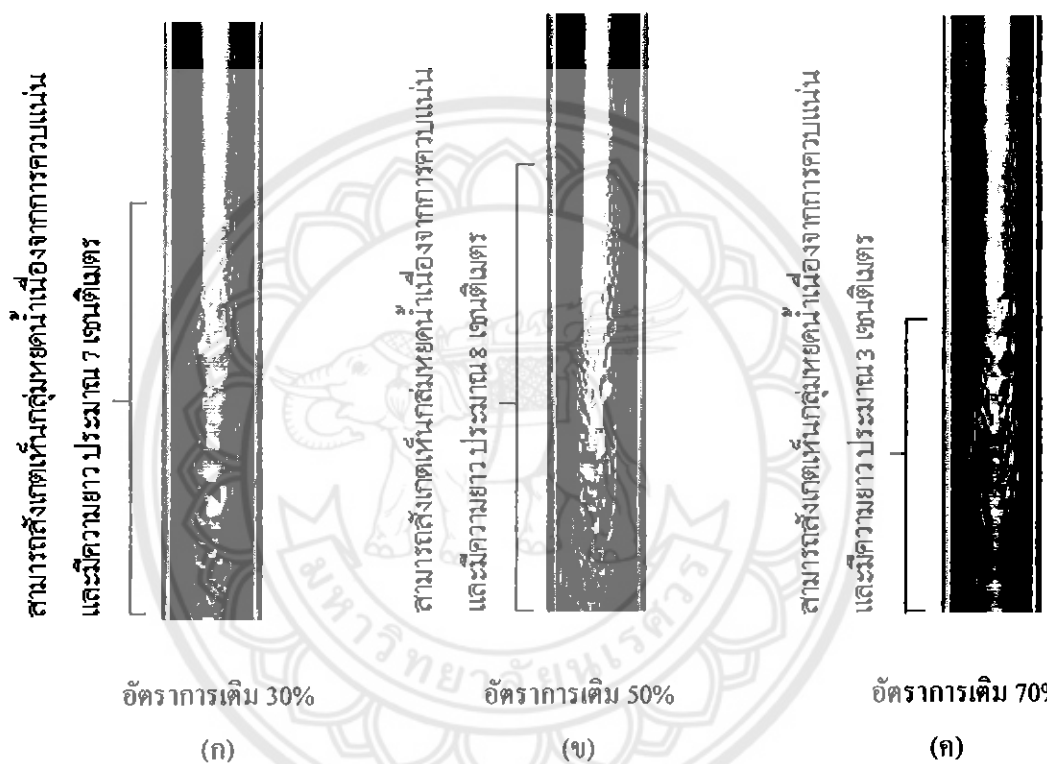
ที่ช่วงอุณหภูมนี้ท่อเทอร์โนไซฟอนนี้เริ่มทำงานแล้ว จะเริ่มสังเกตเห็นกุ่มหมคของเหลวเกาะอยู่ที่ผิวด้านในของท่อส่วนความแน่นของจากความดันไอกลางพอที่จะพาไอกล่านี้ไปยังส่วนความแน่นได้แล้ว และกุ่มหมคของเหลวนี้กำลังไหลกลับลงมาข้างส่วนท่าระเบยเนื่องจากแรงดึงดูดของโลก ไอน้ำเหล่านี้รวมตัวกันหนาแน่น โดยมีความขาวประมาณ 7 เซนติเมตรวัดจากขอบล่างของตู้น้ำส่วนความแน่น คิดเป็น 19.44% ของความขาวส่วนความแน่นทั้งหมด ดังรูปที่ 5.22 (ก)

- อัตราการเติมที่ 50% ของส่วนท่าระเบย

ที่ช่วงอุณหภูมนี้ท่อเทอร์โนไซฟอนนี้เริ่มทำงานแล้ว จะเริ่มสังเกตเห็นกุ่มหมคของเหลวเกาะอยู่ที่ผิวด้านในของท่อส่วนความแน่นและกำลังไหลกลับลงมาข้างส่วนท่าระเบยเนื่องจากแรงดึงดูดของโลก ไอน้ำเหล่านี้รวมตัวกันหนาแน่นโดยมีความขาวประมาณ 8 เซนติเมตรวัดจากขอบล่างของตู้น้ำส่วนความแน่น คิดเป็น 22.22% ของความขาวส่วนความแน่นทั้งหมด ดังรูปที่ 5.22 (ข)

- อัตราการเติบโต 70% ของส่วนห้องนอน

ที่ช่วงอุณหภูมินี้ท่อเทอร์โมไชฟอนนีเริ่มทำงานแล้ว จะเริ่มสังเกตเห็นกลุ่มหมัดของเหลว  
เนื่องจากความแน่นเกาะอยู่ที่ผิวด้านในของท่อส่วนความแน่นและกำลังไอลอกลับลงมาขึ้นส่วนท่า  
ระเหยเนื่องจากแรงดึงดูดของโลก ไอ้น้ำเหล่านี้รวมตัวกันหนาแน่นโดยมีความขาวประกาย 3  
เช่นติ่มตรวจจากขอบล่างของศูนย์ส่วนความแน่น คิดเป็น 8.33% ของความขาวส่วนความแน่น  
ทั้งหมด ดังรูปที่ 5.22 (ค)

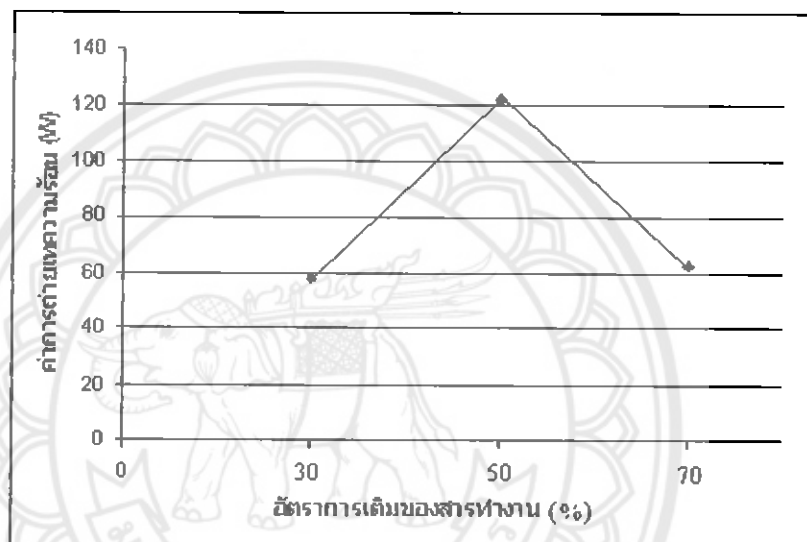


รูปที่ 5.22 ผลกระทบของอัตราการเติมสารทำงานที่มีต่อรูปแบบการไหลในส่วนควบคุมแห่งของเทอร์โมไฟฟ่อนที่อุณหภูมิ  $70^{\circ}\text{C}$

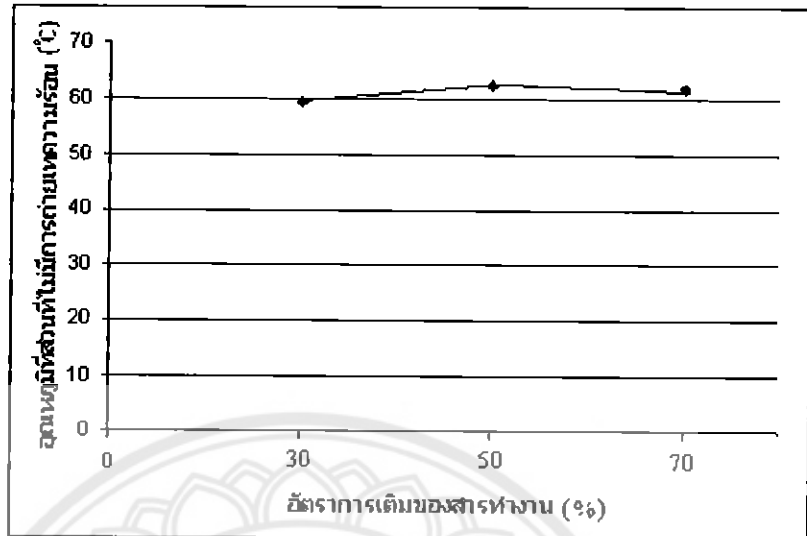
รูปที่ 5.23 แสดงความสัมพันธ์ระหว่างอัตราการเติมสารทำงานและค่าการถ่ายเทความร้อนจะเห็นว่าค่าการถ่ายเทความร้อนที่อัตราการเติม 30% และ 70% จะมีค่าการถ่ายเทความร้อนน้อยกว่าที่อัตราการเติม 50% โดยจะมีค่า 58.31 W และ 62.64 W ตามลำดับ ในขณะที่อัตราการเติม 50% จะมีค่าการถ่ายเทความร้อนสูงถึง 122.2 W

ที่เป็นเช่นนี้เนื่องจาก ที่อัตราการเติมสารทำงาน 30% เมื่อสารทำงานระเหยกลายเป็นไอแล้วปริมาณของไอนั้นมาก ซึ่งไอเหล่านี้จะเป็นตัวพากวนร้อนไปยังส่วนควบคุมแล้ว

ปริมาตรน้ำอุบอาจทำให้ลอดไปไม่ถึงส่วนความแน่นหรือไปความแน่นได้น้อย อุณหภูมน้ำเย็นbaugh จะมีค่าต่ำลงด้วยค่ารูปที่ 2.5 และสมการที่ 2.14 จะส่งผลทำให้ค่าการถ่ายเทความร้อนน้อยลงด้วย ในขณะที่อัตราการเติมสารทำงาน 70% นั้น เนื่องจากปริมาตรสารทำงานเยอะมาก เมื่อสารทำงานเดือดและเกิดรูปแบบการไหลต่างๆ ซึ่งรูปแบบการไหลต่างๆ นั้นอาจไหลผ่านส่วนที่ไม่มีการถ่ายเทความร้อนและรับกวนต่อการความแน่นของสารทำงานที่ส่วนความแน่น ส่วนอัตราการเติมสารทำงาน 50% เป็นอัตราการเติมที่เหมาะสมสังเกตได้จากอุณหภูมิส่วนที่ไม่มีการถ่ายเทความร้อนจะมีค่าสูงสุดแสดงในรูปที่ 5.24



รูปที่ 5.23 แสดงความสัมพันธ์ระหว่างอัตราการเติมสารทำงานและการถ่ายเทความร้อนของเทอร์โนไซฟอนที่อุณหภูมิส่วนทำงาน 70 °C



รูปที่ 5.24 แสดงความสัมพันธ์ระหว่างอัตราการเติมสารทำงานและอุณหภูมิที่ส่วนที่ไม่มีการถ่ายเทความร้อน ของเทอร์โน่ไฟฟอนที่อุณหภูมิส่วนทำงาน 70 °C

#### 5.3.4 ที่อุณหภูมิ 80 °C

พิจารณาดูที่ทำการทดลองในส่วนทำงาน

- อัตราการเติมที่ 30% ของส่วนทำงาน

ไม่สามารถสังเกตเห็นขบวนการความแปร่ที่ไอลเคลบลิงมากจากส่วนความแปร่ได้ เนื่องจากรูปแบบการไอลภายในท่อไอลในทิศทางที่ส่วนทางก้นขดน้ำที่ไอลลงมาเจือพานาเบดน้ำไอลขึ้นไปด้วย และจะเริ่มสังเกตเห็นรูปแบบการไอลของ Slug flow และ Churn flow เพียงช่วงเวลาเดือนอ่อนในตอนหันๆ ขณะที่อุณหภูมิของน้ำในสู่ทำงานซึ่งไม่ถึง 80 °C จากนั้นจะเริ่มสังเกตเห็นรูปแบบการไอลของ Annular flow เป็นส่วนใหญ่ อาจสรุปได้ว่า รูปแบบการไอลของ Annular flow ก็อยู่ในรูปแบบการไอลหลักที่อัตราการเติม 30% ของช่วงอุณหภูมนี้ ดังรูปที่ 5.25 (ก)

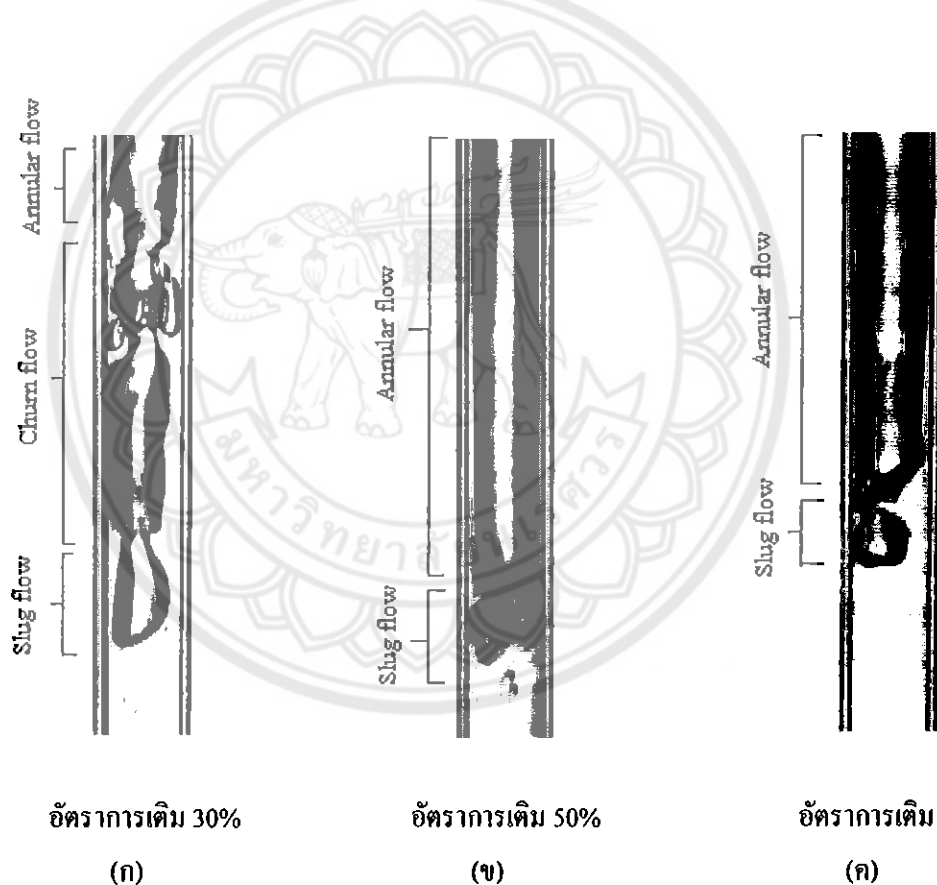
- อัตราการเติมที่ 50% ของส่วนทำงาน

รูปแบบการการไอลของ Slug flow และ รูปแบบการไอลของ Churn flow สามารถสังเกตเห็นได้น้อยมาก จะสังเกตเห็นรูปแบบการไอลของ Annular flow เป็นส่วนใหญ่ซึ่งอาจสรุปได้ว่ารูปแบบการไอลของ Annular flow เป็นรูปแบบการไอลหลักที่อัตราการเติม 50% ของช่วงอุณหภูมนี้ ขบวนน้ำซึ่งไอลลงมากจากส่วนความแปร่เนื่องจากแรงดึงดูดของโลกไม่สามารถสังเกตเห็น

ได้อีกต่อไปเนื่องจากรูปแบบการไหลภายในท่อไอลในทิศทางที่สวนทางกับหดคน้ำที่ไอลลงมาจึงนำพาหดคน้ำไอลขึ้นไปด้วยดังรูป 5.25 (x)

- อัตราการเติมที่ 70% ของส่วนทำระเหย

ที่ช่วงอุณหภูมนี้ สามารถเห็นรูปแบบการไหลของ Slug flow และ และรูปแบบการไหลของ Churn flow เพียงเล็กน้อยเท่านั้น โดยจะสังเกตเห็นรูปแบบการไหลของ Annular flow เป็นส่วนใหญ่ จึงอาจสรุปได้ว่ารูปแบบการไหลของ Annular flow เป็นรูปแบบการไหลหลักที่อัตราการเติม 70% ของช่วงอุณหภูมนี้ หดคน้ำซึ่งไอลลงมาจากส่วนความแน่นเนื่องจากแรงดึงดูดของโลก ไม่สามารถสังเกตเห็นได้อีกต่อไปเนื่องจากรูปแบบการไหลภายในท่อไอลในทิศทางที่สวนทางกับหดคน้ำที่ไอลลงมาจึงนำพาหดคน้ำเหล่านี้ไอลขึ้นไปด้วย ดังรูป 5.25 (x)



อัตราการเติม 30%

(ก)

อัตราการเติม 50%

(ข)

อัตราการเติม 70%

(ค)

รูปที่ 5.25 ผลกระทบของอัตราการเติมสารทำงานที่มีต่อรูปแบบการไหลในส่วนทำระเหยของเทอร์โนไซฟอนที่อุณหภูมิ  $80^{\circ}\text{C}$

### พิจารณาชุดที่ทำการทดลองในส่วนควบคุม

- อัตราการเติมที่ 30% ของส่วนทำระเหย

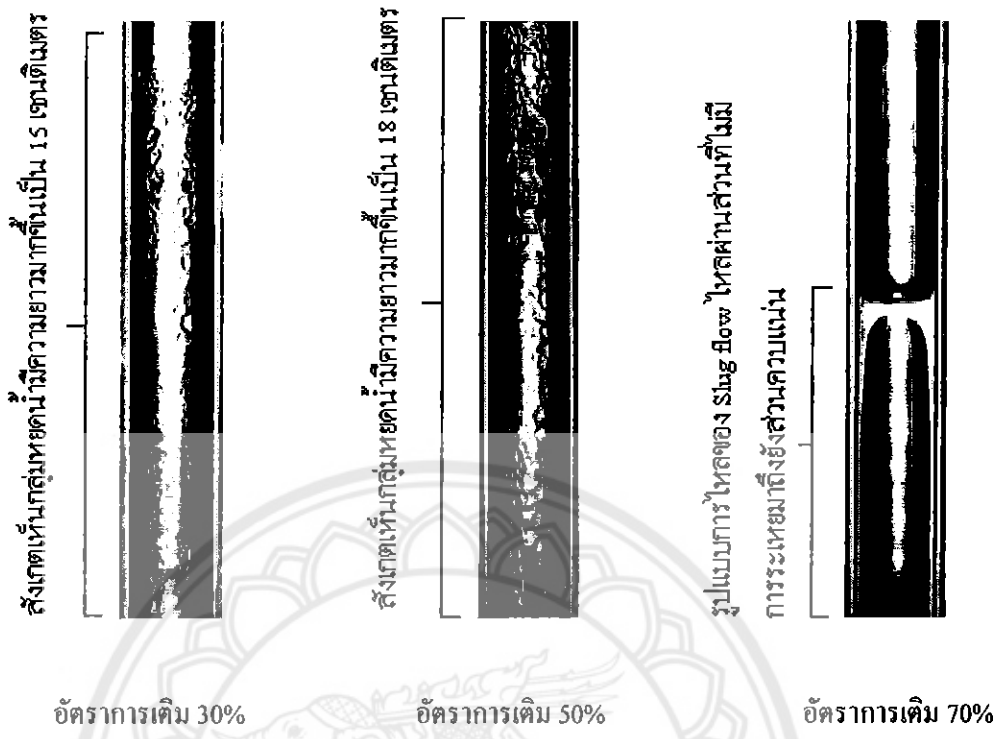
จะเริ่มสังเกตเห็นหยดของเหลวเกาะอยู่ที่ผิวด้านในของห่อส่วนควบคุมและกำลังไหลกลับลงมาบังส่วนทำระเหยเนื่องจากแรงดึงดูดของโลก แต่ความขาวของไอน้ำที่รวมตัวกันอย่างหนาแน่นจะโดยมีความขาวประมาณ 15 เซนติเมตรวัดจากขอบล่างของตู้น้ำส่วนควบคุม คิดเป็น 41.67% ของความขาวส่วนควบคุมแห่งทั้งหมด เนื่องจากอุณหภูมิในตู้ส่วนทำระเหยสูงขึ้นมาก สารทำงานจึงร้อนและมีความดันไอกลางขึ้น ทำให้ในส่วนควบคุมแห่งนี้เป็นต้องใช้พื้นที่มากกว่าเดิมในการจะทำการควบคุมแห่งนี้แล้วนั้นให้กลับลงมาสู่ส่วนทำระเหย ดังรูป 5.26 (ก)

- อัตราการเติมที่ 50% ของส่วนทำระเหย

สังเกตเห็นกลุ่มหยดของเหลวจากกระบวนการควบคุมแห่งนี้อยู่ที่ผิวด้านในของห่อส่วนควบคุม และกำลังไหลกลับลงมาบังส่วนทำระเหยเนื่องจากแรงดึงดูดของโลก โดยมีความขาวประมาณ 18 เซนติเมตรวัดจากขอบล่างของตู้น้ำส่วนควบคุม คิดเป็น 50% ของความขาวส่วนควบคุมแห่งทั้งหมด เนื่องจากอุณหภูมิในตู้ส่วนทำระเหยสูงขึ้นมาก สารทำงานจึงร้อนและมีความดันไอกลางขึ้นทำให้ในส่วนควบคุมแห่งนี้เป็นต้องใช้พื้นที่มากกว่าเดิมในการทำการควบคุมแห่งนี้แล้วนั้นให้กลับลงมาสู่ส่วนทำระเหย ดังรูป 5.26 (ข)

- อัตราการเติมที่ 70% ของส่วนทำระเหย

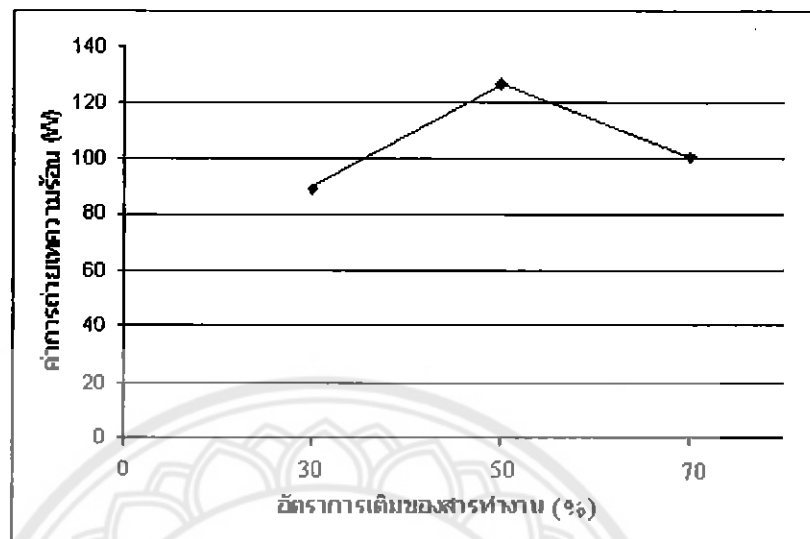
ที่ช่วงอุณหภูมนี้ จะไม่สามารถสังเกตเห็นกลุ่มหยดของเหลวจากกระบวนการควบคุมแห่งนี้กลุ่มกันเหมือนที่ยังสามารถเดินอีก เนื่องจากรูปแบบการไหลของ Slug flow นั้นให้ผลผ่านส่วนที่ไม่มีการถ่ายเทความร้อนจนไม่สามารถส่วนควบคุมแห่งนี้และมีทิศทางการไหลที่ส่วนทางก้นกลุ่มหยดน้ำที่ไหลลงมาจึงนำพากลุ่มหยดน้ำไหลเหล่านี้ขึ้นไปด้วย ดังรูป 5.26 (ค)



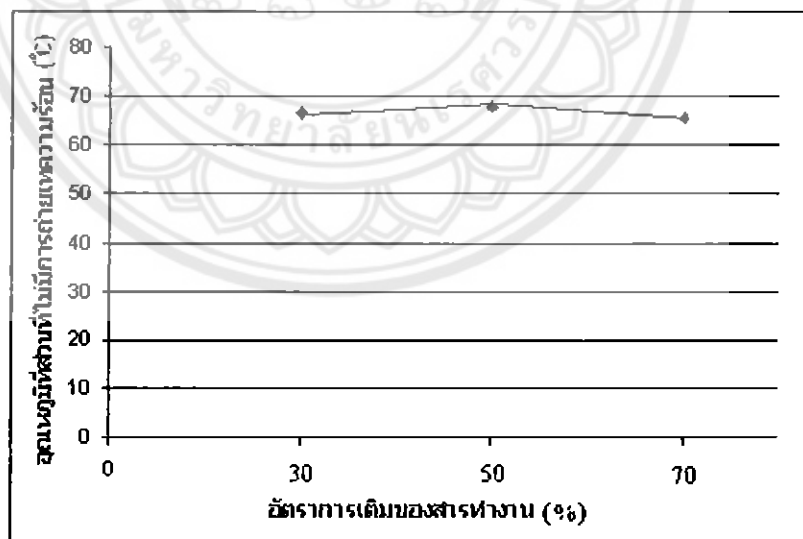
รูปที่ 5.26 ผลกระทบของอัตราการเติบโตทำงานที่มีต่อรูปแบบการไหลในส่วนควบคุมแห่งของเทอร์โมไฟฟอนที่อุณหภูมิ  $80^{\circ}\text{C}$

รูปที่ 5.27 แสดงความสัมพันธ์ระหว่างอัตราการเติบโตการทำงานและค่าการถ่ายเทความร้อน จะเห็นว่าค่าการถ่ายเทความร้อนที่อัตราการเติบโต 30% และ 70% จะมีค่าการถ่ายเทความร้อนน้อยกว่าที่อัตราการเติบโต 50% โดยจะมีค่า  $88.98 \text{ W}$  และ  $100.3 \text{ W}$  ตามลำดับ ในขณะที่อัตราการเติบโต 50% จะมีค่าการถ่ายเทความร้อนสูงถึง  $126.78 \text{ W}$

ที่เป็นเช่นนี้เนื่องมาจาก ที่อัตราการเติมสารทำงาน 30% เมื่อสารทำงานระเหยกลาญเป็นไอแล้วปริมาณของไอนั้นมาก ซึ่งไอนี้จะเป็นตัวพากความร้อนไปปั้งส่วนควบคุมแล้ว หากไอนีปริมาณต้นน้อยอาจทำให้หลอยไปไม่ถึงส่วนควบคุมแล้วหรือไปควบคุมแน่นได้น้อย อุณหภูมน้ำเย็นขาดออกจะมีค่าต่ำลงด้วยธงรูปที่ 2.5 และสมการที่ 2.14 จะส่งผลทำให้ค่าการถ่ายเทความร้อนน้อยลงด้วยในขณะที่อัตราการเติมสารทำงาน 70% นั้น เมื่อสารทำงานเดือดและเกิดรูปแบบการไหลต่างๆ ซึ่งรูปแบบการไหลต่างๆ นั้นอาจไหลผ่านส่วนที่ไม่มีการถ่ายเทความร้อนมาถึงบังส่วนควบคุมแล้วรับกวนต่อการควบคุมเนื่องสารทำงานที่ส่วนควบคุมแน่นสั่งเกตได้จากการไหลแบบ Slug flow ที่ส่วนที่ระเหยให้มาถึงส่วนควบคุมแล้ว ส่วนอัตราการเติมสารทำงาน 50% เป็นอัตราการเติมที่เหมือนสมสั่งเกตได้จากการอุณหภูมน้ำส่วนที่ระเหยจะมีค่าสูงสุดแสดงในรูปที่ 5.28



รูปที่ 5.27 แสดงความสัมพันธ์ระหว่างอัตราการเติมสารทำงานและค่าการถ่ายเทความร้อนของเทอร์โนไชฟอนที่อุณหภูมิส่วนทำระเหย  $80^{\circ}\text{C}$



รูปที่ 5.28 แสดงความสัมพันธ์ระหว่างอัตราการเติมสารทำงานและอุณหภูมิที่ส่วนที่ไม่มีการถ่ายเทความร้อน ของเทอร์โนไชฟอนที่อุณหภูมิส่วนทำระเหย  $80^{\circ}\text{C}$

ผลกระทบของอัตราการเติมสารทำงานที่มีต่อค่าการถ่ายเทความร้อน ณ อุณหภูมิส่วนทำระเหยต่างๆ พนว่าผลกระทบของอัตราการเติมมีแนวโน้มเหมือนกัน กือที่อัตราการเติม 50% เทอร์ไมไซฟอนจะมีค่าการถ่ายเทความร้อนมากที่สุด สำหรับเทอร์ไมไซฟอนที่มีขนาดเส้นผ่านศูนย์กลางภายใน 12 มิลลิเมตร ความยาวส่วนที่ทำระเหย 360 มิลลิเมตร ความยาวที่ส่วนไม่มีการถ่ายเทความร้อน 200 มิลลิเมตร และความยาวที่ส่วนควบแน่น 305 มิลลิเมตร และใช้แก๊กล้านเป็นสารทำงาน ที่อุณหภูมิส่วนทำระเหย  $80^{\circ}\text{C}$  ที่อัตราการเติม 30% และ 70% จะมีค่าการถ่ายเทความร้อนน้อยกว่าที่อัตราการเติม 50% โดยจะมีค่า  $88.98 \text{ W}$  และ  $100.3 \text{ W}$  ตามลำดับ ในขณะที่อัตราการเติม 50% จะมีค่าการถ่ายเทความร้อนสูงถึง  $126.78 \text{ W}$



## บทที่ 6

### สรุปผลการทดลองและข้อเสนอแนะ

#### 6.1 สรุปผลการทดลอง

โครงการนี้เป็นการสร้างชุดการทดลองที่สามารถศึกษารูปแบบการไหลภายใน และค่าการถ่ายเทความร้อนของเทอร์โน่ไฟฟอนที่วางแผนวัด โดยศึกษาตามตัวแปรของอุณหภูมิในส่วนที่ระบุ และอัตราการเติบโตของสารทำงาน

6.1.1 เมื่ออุณหภูมิที่ส่วนที่ระบุของเทอร์โน่ไฟฟอนสูงขึ้นเรื่อยๆ ความเร็วของไอล์ฟองจากการเดือดภายในท่อเทอร์โน่ไฟฟอนก็จะมากขึ้นเรื่อยๆ จนสามารถสังเกตเห็นรูปแบบการไหลของสารทำงาน ในลักษณะต่างๆ ได้แก่ แบบ Slug flow ฟอง ใจจากการระเหยเริ่มจับตัวกันเป็นลักษณะของหัวกระสุนปืน แบบ Churn flow เมื่อจากความเร็วในการไหลเพิ่มมากขึ้นอีกทำให้ไอล์ฟองที่เป็นลักษณะกระสุนเกิดการแตกออก นำมาซึ่งความไม่เสถียรภายในท่ออาจจะทำให้ท่อเกิดการสั่นได้ เดินกรดที่ท่อเมื่อส่วนผ่านสูนย์กลางที่เล็กการสั่นนี้อาจไม่เกิดขึ้น แบบ Annular flow การไหลในช่วงนี้มีความเร็วจนกระแทกของเหลวจะไหลขึ้นไปตามผิวท่อเป็นแผ่นพิล๊มส่วนที่เป็นไอล์ฟองอยู่ตรงกลางของท่อ และจะมี mass flux สูงมาก มีผลทำให้ค่าความต้านทานความร้อนภายในเทอร์โน่ไฟฟอน ( $Z$ , ลิง  $Z$ , ในรูปที่ 2.2 และสมการที่ 2.7 ลิง 2.12) มีค่าสูงขึ้น ความเร็วของสารทำงานเมื่อจากการเดือดบังสั่งผลต่อ Reynolds number อีกด้วย ทำให้ท่อเทอร์โน่ไฟฟอนนั้นสั่งผ่านความร้อนได้ดีขึ้นด้วย

6.1.2 ผลของอุณหภูมิส่วนที่ระบุที่มีต่อรูปแบบการไหล การทำงานในส่วนควบคุม และการถ่ายเทความร้อนภายในเทอร์โน่ไฟฟอน

- ที่อุณหภูมิต่างๆ จะมีการเดือดที่แตกต่างกัน คือ จะมีการเดือดที่รุนแรงมากขึ้น โดยเมื่ออุณหภูมิสูงขึ้นรูปแบบการไหลภายในจะแตกต่างกันและความถี่ในการเกิดรูปแบบการไหลนั้นจะเปลี่ยนไปด้วย คือ จากการไหลแบบ Slug flow จะเปลี่ยนไปเป็น Churn flow, และ Annular flow

- ที่อุณหภูมิต่างๆ ที่ส่วนควบคุมนั้นก็จะมีการทำงานแตกต่างกันด้วย นั่นคือในขณะที่อุณหภูมิของศูนย์ในส่วนที่ระบุจะไม่สูงมากนัก ในส่วนควบคุมจะมีการทำงานแต่เมื่ออุณหภูมิของศูนย์ในส่วนที่ระบุสูงขึ้นจะเริ่มสังเกตเห็นกอุ่นของน้ำจากการควบคุมแต่เมื่ออุณหภูมิสูงขึ้นจะมีการทำงานลดลง แต่เมื่ออุณหภูมิของศูนย์ในส่วนที่ระบุสูงขึ้นจะมีการทำงานเพิ่มขึ้น ทำให้ต้องปรับปรุงการทำงานของกอุ่นของน้ำให้เหมาะสม

- ที่อุณหภูมิต่างๆ จะมีค่าการถ่ายเทความร้อนที่แตกต่างกัน คือ เมื่ออุณหภูมิของส่วนที่ระบุสูงขึ้นจะมีแนวโน้มว่าการถ่ายเทความร้อนจะมีค่าสูงขึ้นด้วย โดยมีแนวโน้มเพิ่มขึ้นกับทุกๆ

อัตราการเติมสารทำงาน สำหรับเทอร์โนไชฟอนที่มีขนาดเส้นผ่าศูนย์กลางภายใน 12 มิลลิเมตร ความยาวที่ส่วนทำระเหย 360 มิลลิเมตร ความยาวที่ส่วนไม่มีการถ่ายเทความร้อน 200 มิลลิเมตร และความยาวที่ส่วนควบแน่น 305 มิลลิเมตร และใช้น้ำกลั่นเป็นสารทำงาน ที่อัตราการเติมสารทำงาน 50% เมื่ออุณหภูมิส่วนทำระเหยเพิ่มขึ้นจาก  $50^{\circ}\text{C}$  ไปเป็น  $80^{\circ}\text{C}$  ค่าการถ่ายเทความร้อนจะเพิ่มขึ้นจาก 29.2 W ไปเป็น 126.78 W

#### 6.1.3 ผลของอัตราการเติมสารทำงานที่ส่งผลต่อการทำงานของท่อเทอร์โนไชฟอน และการถ่ายเทความร้อนภายในท่อเทอร์โนไชฟอน

- ที่อัตราการเติมสารทำงานที่ 30% และ 70% ของส่วนทำระเหย ท่อเทอร์โนไชฟอนจะเริ่มทำงานที่อุณหภูมิในครึ่งของส่วนทำระเหยมีค่า  $70^{\circ}\text{C}$  แต่ที่อัตราการเติมสารทำงานที่ 50% ของส่วนทำระเหย ท่อเทอร์โนไชฟอนจะทำงานเริ่มทำงานได้ก็ว่าที่อัตราการเติมสารทำงานที่ 30% และ 70% ของส่วนทำระเหย โดยเริ่มทำงานที่อุณหภูมิในครึ่งของส่วนทำระเหยมีค่า  $60^{\circ}\text{C}$

- กรณีผลลัพธ์ของอัตราการเติมสารทำงาน พบว่าเทอร์โนไชฟอนที่มีอัตราการเติมสารทำงาน 30% และ 70% ของปริมาตรส่วนทำระเหย จะมีรูปแบบการไหลหลักเป็น Slug flow Churn flow และ Annular flow สมมติ ในการที่อัตราการเติมสารทำงาน 50% นั้น รูปแบบการไหลส่วนใหญ่จะเป็น Annular flow

- ที่อัตราการเติมสารทำงานที่ 70% ของส่วนทำระเหย จะมีค่าการถ่ายเทความร้อนที่ต่ำกว่าที่อัตราการเติมสารทำงานที่ 30% ของส่วนทำระเหย เช่น ที่อุณหภูมิของส่วนทำระเหยเท่ากับ  $80^{\circ}\text{C}$  จะมีค่าการถ่ายเทความร้อนเท่ากับ 88.98 W ส่วนที่อัตราการเติมสารทำงานที่ 70% ของส่วนทำระเหย นั่นคือ เท่ากับ 100.3 kW แต่ที่อัตราการเติมสารทำงานที่ 50% ของส่วนทำระเหย จะมีค่าการถ่ายเทความร้อนที่ต่ำกว่าที่อุณหภูมิของส่วนทำระเหยเท่ากับ  $80^{\circ}\text{C}$  จะมีค่าการถ่ายเทความร้อนเท่ากับ 126.78 kW

### 6.2 ข้อเสนอแนะ

- หากต้องการศึกษาให้หลักหลากรูปแบบอาจเปลี่ยนสารทำงานภายในเทอร์โนไชฟอน และสารทำงานภายในระบบ
- หากต้องการศึกษาให้หลักหลากรูปแบบการเพิ่มนูนอิฐของท่อเทอร์โนไชฟอนเพื่อศึกษาผลลัพธ์ของความอิฐนี้
- หากต้องการให้เห็นรูปแบบการไหลที่ซับซ้อนและซับซ้อนกว่านี้ควรเพิ่มอุณหภูมิของส่วนทำระเหยให้มีค่าสูงขึ้นอีก

- เทอร์โน่ไม้ไชฟอนจะทำงานได้ดีหากภายในเทอร์โน่ไม้ไชฟอนมีสภาวะเป็นสุญญาการ ดังนั้น ควรมีการดูดอากาศภายในเทอร์โน่ไม้ไชฟอนที่ดี



## บรรณานุกรม

- [1] Heat pipe – Performance of two-phase closed thermosyphon, ESDU, 1981.
- [2] <http://www.teenet.chiangmai.ac.th>
- [3] Faghri A., Heat Pipe science and technology, the United Started of Amarica; Taylor & Francis,1995.
- [4] <http://www.sciencedirect.com>
- [5] Hewitt G.F., Shires G.L. and Bott T.R., Process heat transfer, CRC Press, Icn., 1994.
- [6] Terdtoon P., Chailungkar M. and Ritt hidej S., EFFECTS OF BOND NUMBERS ON INTERNAL FLOW PATTERNS OF AN INCLINED, CLOSED, TWO-PHASE THERMOSYPHON AT NORMAL OPERATING CONDITIONS, Experimental Heat Transfer, pp.233-251,.1997.
- [7] Terdtoon P., Chailungkar M. and Shiraishi M., EFFECTS OF ASPECT RATIOS ON INTERNAL FLOW PATTERNS OF AN INCLINED, CLOSED, TWO-PHASE THERMOSYPHON AT NORMAL OPERATING CONDITIONS, Heat transfer engineering, pp.75-85,,1998.

**ภาคผนวก ก**  
**การคำนวณค่าการถ่ายเทความร้อนจากผลการทดสอบ**

จากการทดสอบมีการวัดอัตราการไหล, อุณหภูมิน้ำเย็นขาเข้า และ อุณหภูมิน้ำเย็นขาออก โดยนำมาคำนวณตามสมการด้านล่าง

$$\begin{aligned} Q &= \dot{m} C_p \Delta T && \dots(1) \\ \text{ค่าความหนาแน่นของน้ำ} &= 997 \text{ kg/m}^3 \\ \text{ค่า } C_p \text{ ของน้ำ} &= 4.18 \text{ kJ/kg-K} \end{aligned}$$

คำนวณค่าการถ่ายเทความร้อนของเทอร์โน่ไฟฟ่อนที่มีอัตราการเติม 30% ของส่วนกำมะหยี่ที่ส่วนกำมะหยี่เป็นแก้ว

- ที่อุณหภูมิ 50 °C

$$\begin{aligned} \therefore Q &= 0.9725 \frac{L}{Min} \times \frac{1000}{1} \frac{cm^3}{L} \times \frac{1}{60} \frac{Min}{s} \times \frac{1}{10^6} \frac{m^3}{cm^3} \times 997 \frac{kg}{m^3} \times \\ &\quad 4.18 \frac{kJ}{kg-K} \times (27.4 - 27.075) K \\ &= 0.02197 \text{ kW} \end{aligned}$$

- ที่อุณหภูมิ 60 °C

$$\begin{aligned} \therefore Q &= 0.9725 \frac{L}{Min} \times \frac{1000}{1} \frac{cm^3}{L} \times \frac{1}{60} \frac{Min}{s} \times \frac{1}{10^6} \frac{m^3}{cm^3} \times 997 \frac{kg}{m^3} \times \\ &\quad 4.18 \frac{kJ}{kg-K} \times (27.225 - 26.938) K \\ &= 0.0194 \text{ kW} \end{aligned}$$

- ที่อุณหภูมิ 70 °C

$$\begin{aligned} \therefore Q &= 0.97 \frac{L}{Min} \times \frac{1000}{1} \frac{cm^3}{L} \times \frac{1}{60} \frac{Min}{s} \times \frac{1}{10^6} \frac{m^3}{cm^3} \times 997 \frac{kg}{m^3} \times \\ &\quad 4.18 \frac{kJ}{kg-K} \times (27.49 - 26.625) K \\ &= 0.05831 \text{ kW} \end{aligned}$$

- ที่อุณหภูมิ  $80^{\circ}\text{C}$

$$\begin{aligned}\therefore Q &= 0.975 \frac{L}{\text{Min}} \times \frac{1000}{1} \frac{\text{cm}^3}{L} \times \frac{1}{60} \frac{\text{Min}}{\text{s}} \times \frac{1}{10^6} \frac{\text{m}^3}{\text{cm}^3} \times 997 \frac{\text{kg}}{\text{m}^3} \times \\ &\quad 4.18 \frac{\text{kJ}}{\text{kg} - \text{K}} \times (28.163 - 26.85) \text{ K} \\ &= 0.08898 \text{ kW}\end{aligned}$$

ค่าความค่าการถ่ายเทกความร้อนของเทอร์บินไชฟอนที่มีอัตราการเติม 30% ของส่วนทำระเหย ที่ ส่วนควบแน่นเป็นแก้ว

- ที่อุณหภูมิ  $50^{\circ}\text{C}$

$$\begin{aligned}\therefore Q &= 0.96 \frac{L}{\text{Min}} \times \frac{1000}{1} \frac{\text{cm}^3}{L} \times \frac{1}{60} \frac{\text{Min}}{\text{s}} \times \frac{1}{10^6} \frac{\text{m}^3}{\text{cm}^3} \times 997 \frac{\text{kg}}{\text{m}^3} \times \\ &\quad 4.18 \frac{\text{kJ}}{\text{kg} - \text{K}} \times (29.675 - 29.538) \text{ K} \\ &= 0.00914 \text{ kW}\end{aligned}$$

- ที่อุณหภูมิ  $60^{\circ}\text{C}$

$$\begin{aligned}\therefore Q &= 0.9725 \frac{L}{\text{Min}} \times \frac{1000}{1} \frac{\text{cm}^3}{L} \times \frac{1}{60} \frac{\text{Min}}{\text{s}} \times \frac{1}{10^6} \frac{\text{m}^3}{\text{cm}^3} \times 997 \frac{\text{kg}}{\text{m}^3} \times \\ &\quad 4.18 \frac{\text{kJ}}{\text{kg} - \text{K}} \times (28.425 - 28.225) \text{ K} \\ &= 0.0135 \text{ kW}\end{aligned}$$

- ที่อุณหภูมิ  $70^{\circ}\text{C}$

$$\begin{aligned}\therefore Q &= 0.9975 \frac{L}{\text{Min}} \times \frac{1000}{1} \frac{\text{cm}^3}{L} \times \frac{1}{60} \frac{\text{Min}}{\text{s}} \times \frac{1}{10^6} \frac{\text{m}^3}{\text{cm}^3} \times 997 \frac{\text{kg}}{\text{m}^3} \times \\ &\quad 4.18 \frac{\text{kJ}}{\text{kg} - \text{K}} \times (28.013 - 27.375) \text{ K} \\ &= 0.04423 \text{ kW}\end{aligned}$$

- ที่อุณหภูมิ  $80^{\circ}\text{C}$

$$\begin{aligned} \therefore Q &= 0.9825 \frac{L}{\text{Min}} \times \frac{1000}{1} \frac{\text{cm}^3}{L} \times \frac{1}{60} \frac{\text{Min}}{\text{s}} \times \frac{1}{10^6} \frac{\text{m}^3}{\text{cm}^3} \times 997 \frac{\text{kg}}{\text{m}^3} \times \\ &\quad 4.18 \frac{\text{kJ}}{\text{kg} - \text{K}} \times (28.538 - 27.363) \text{ K} \\ &= 0.0802 \text{ kW} \end{aligned}$$

คำนวณค่าการถ่ายเทความร้อนของเทอร์โมไฟฟ่อนที่มีอัตราการเติบ 50% ของส่วนทำระเหย ที่ส่วนทำระเหยเป็นแก้ว

- ที่อุณหภูมิ  $50^{\circ}\text{C}$

$$\begin{aligned} \therefore Q &= 0.99 \frac{L}{\text{Min}} \times \frac{1000}{1} \frac{\text{cm}^3}{L} \times \frac{1}{60} \frac{\text{Min}}{\text{s}} \times \frac{1}{10^6} \frac{\text{m}^3}{\text{cm}^3} \times 997 \frac{\text{kg}}{\text{m}^3} \times \\ &\quad 4.18 \frac{\text{kJ}}{\text{kg} - \text{K}} \times (30.788 - 30.363) \text{ K} \\ &= 0.0292 \text{ kW} \end{aligned}$$

- ที่อุณหภูมิ  $60^{\circ}\text{C}$

$$\begin{aligned} \therefore Q &= 0.99 \frac{L}{\text{Min}} \times \frac{1000}{1} \frac{\text{cm}^3}{L} \times \frac{1}{60} \frac{\text{Min}}{\text{s}} \times \frac{1}{10^6} \frac{\text{m}^3}{\text{cm}^3} \times 997 \frac{\text{kg}}{\text{m}^3} \times \\ &\quad 4.18 \frac{\text{kJ}}{\text{kg} - \text{K}} \times (31.1125 - 30.2) \text{ K} \\ &= 0.06278 \text{ kW} \end{aligned}$$

- ที่อุณหภูมิ  $70^{\circ}\text{C}$

$$\begin{aligned} \therefore Q &= 1.005 \frac{L}{\text{Min}} \times \frac{1000}{1} \frac{\text{cm}^3}{L} \times \frac{1}{60} \frac{\text{Min}}{\text{s}} \times \frac{1}{10^6} \frac{\text{m}^3}{\text{cm}^3} \times 997 \frac{\text{kg}}{\text{m}^3} \times \\ &\quad 4.18 \frac{\text{kJ}}{\text{kg} - \text{K}} \times (31.738 - 29.988) \text{ K} \\ &= 0.1222 \text{ kW} \end{aligned}$$

- ที่อุณหภูมิ  $80^{\circ}\text{C}$

$$\begin{aligned}\therefore Q &= 0.9925 \frac{L}{\text{Min}} \times \frac{1000}{1} \frac{\text{cm}^3}{L} \times \frac{1}{60} \frac{\text{Min}}{\text{s}} \times \frac{1}{10^6} \frac{\text{m}^3}{\text{cm}^3} \times 997 \frac{\text{kg}}{\text{m}^3} \times \\ &\quad 4.18 \frac{\text{kJ}}{\text{kg} - \text{K}} \times (31.613 - 29.775) \text{ K} \\ &= 0.12678 \text{ kW}\end{aligned}$$

คำนวณค่าการถ่ายเทความร้อนของเทอร์โนไซฟ่อนที่มีอัตราการเดิน 50% ของส่วนที่ระเหย ที่ส่วนควบแน่นเป็นแก้ว

- ที่อุณหภูมิ  $50^{\circ}\text{C}$

$$\begin{aligned}\therefore Q &= 0.9775 \frac{L}{\text{Min}} \times \frac{1000}{1} \frac{\text{cm}^3}{L} \times \frac{1}{60} \frac{\text{Min}}{\text{s}} \times \frac{1}{10^6} \frac{\text{m}^3}{\text{cm}^3} \times 997 \frac{\text{kg}}{\text{m}^3} \times \\ &\quad 4.18 \frac{\text{kJ}}{\text{kg} - \text{K}} \times (29.413 - 29.313) \text{ K} \\ &= 0.00679 \text{ kW}\end{aligned}$$

- ที่อุณหภูมิ  $60^{\circ}\text{C}$

$$\begin{aligned}\therefore Q &= 0.96 \frac{L}{\text{Min}} \times \frac{1000}{1} \frac{\text{cm}^3}{L} \times \frac{1}{60} \frac{\text{Min}}{\text{s}} \times \frac{1}{10^6} \frac{\text{m}^3}{\text{cm}^3} \times 997 \frac{\text{kg}}{\text{m}^3} \times \\ &\quad 4.18 \frac{\text{kJ}}{\text{kg} - \text{K}} \times (29.425 - 26.263) \text{ K} \\ &= 0.0108 \text{ kW}\end{aligned}$$

- ที่อุณหภูมิ  $70^{\circ}\text{C}$

$$\begin{aligned}\therefore Q &= 0.995 \frac{L}{\text{Min}} \times \frac{1000}{1} \frac{\text{cm}^3}{L} \times \frac{1}{60} \frac{\text{Min}}{\text{s}} \times \frac{1}{10^6} \frac{\text{m}^3}{\text{cm}^3} \times 997 \frac{\text{kg}}{\text{m}^3} \times \\ &\quad 4.18 \frac{\text{kJ}}{\text{kg} - \text{K}} \times (29.725 - 29.25) \text{ K} \\ &= 0.0329 \text{ kW}\end{aligned}$$

- ที่อุณหภูมิ  $80^{\circ}\text{C}$

$$\begin{aligned} \therefore Q &= 0.99 \frac{L}{\text{Min}} \times \frac{1000}{1} \frac{\text{cm}^3}{L} \times \frac{1}{60} \frac{\text{Min}}{\text{s}} \times \frac{1}{10^6} \frac{\text{m}^3}{\text{cm}^3} \times 997 \frac{\text{kg}}{\text{m}^3} \times \\ &\quad 4.18 \frac{\text{kJ}}{\text{kg} - \text{K}} \times (29.875 - 29.213) \text{ K} \\ &= 0.0455 \text{ kW} \end{aligned}$$

คำนวณค่าการถ่ายเทความร้อนของเทอร์โมไไซฟ่อนที่มีอัตราการเติบ 70% ของส่วนกำมะหยี่ที่ส่วนกำมะหยี่เป็นแก้ว

- ที่อุณหภูมิ  $50^{\circ}\text{C}$

$$\begin{aligned} \therefore Q &= 0.9775 \frac{L}{\text{Min}} \times \frac{1000}{1} \frac{\text{cm}^3}{L} \times \frac{1}{60} \frac{\text{Min}}{\text{s}} \times \frac{1}{10^6} \frac{\text{m}^3}{\text{cm}^3} \times 997 \frac{\text{kg}}{\text{m}^3} \times \\ &\quad 4.18 \frac{\text{kJ}}{\text{kg} - \text{K}} \times (29.538 - 28.825) \text{ K} \\ &= 0.04844 \text{ kW} \end{aligned}$$

- ที่อุณหภูมิ  $60^{\circ}\text{C}$

$$\begin{aligned} \therefore Q &= 0.985 \frac{L}{\text{Min}} \times \frac{1000}{1} \frac{\text{cm}^3}{L} \times \frac{1}{60} \frac{\text{Min}}{\text{s}} \times \frac{1}{10^6} \frac{\text{m}^3}{\text{cm}^3} \times 997 \frac{\text{kg}}{\text{m}^3} \times \\ &\quad 4.18 \frac{\text{kJ}}{\text{kg} - \text{K}} \times (29.3 - 28.988) \text{ K} \\ &= 0.02136 \text{ kW} \end{aligned}$$

- ที่อุณหภูมิ  $70^{\circ}\text{C}$

$$\begin{aligned} \therefore Q &= 1.015 \frac{L}{\text{Min}} \times \frac{1000}{1} \frac{\text{cm}^3}{L} \times \frac{1}{60} \frac{\text{Min}}{\text{s}} \times \frac{1}{10^6} \frac{\text{m}^3}{\text{cm}^3} \times 997 \frac{\text{kg}}{\text{m}^3} \times \\ &\quad 4.18 \frac{\text{kJ}}{\text{kg} - \text{K}} \times (29.413 - 28.525) \text{ K} \\ &= 0.06264 \text{ kW} \end{aligned}$$

- ที่อุณหภูมิ  $80^{\circ}\text{C}$

$$\begin{aligned} \therefore Q &= 0.97 \frac{L}{\text{Min}} \times \frac{1000}{1} \frac{\text{cm}^3}{L} \times \frac{1}{60} \frac{\text{Min}}{\text{s}} \times \frac{1}{10^6} \frac{\text{m}^3}{\text{cm}^3} \times 997 \frac{\text{kg}}{\text{m}^3} \times \\ &\quad 4.18 \frac{\text{kJ}}{\text{kg} - \text{K}} \times (29.688 - 28.2) \text{ K} \\ &= 0.1003 \text{ kW} \end{aligned}$$

คำนวณค่าการถ่ายเทความร้อนของเทอร์บีนไฟฟ่อนที่มือตราชารากรเติน 70% ของส่วนกำมะหยោ ที่ส่วนควบแน่นเป็นแก้ว

- ที่อุณหภูมิ  $50^{\circ}\text{C}$

$$\begin{aligned} \therefore Q &= 1 \frac{L}{\text{Min}} \times \frac{1000}{1} \frac{\text{cm}^3}{L} \times \frac{1}{60} \frac{\text{Min}}{\text{s}} \times \frac{1}{10^6} \frac{\text{m}^3}{\text{cm}^3} \times 997 \frac{\text{kg}}{\text{m}^3} \times \\ &\quad 4.18 \frac{\text{kJ}}{\text{kg} - \text{K}} \times (27.255 - 27.175) \text{ K} \end{aligned}$$

$$= 0.00556 \text{ kW}$$

- ที่อุณหภูมิ  $60^{\circ}\text{C}$

$$\begin{aligned} \therefore Q &= 0.9925 \frac{L}{\text{Min}} \times \frac{1000}{1} \frac{\text{cm}^3}{L} \times \frac{1}{60} \frac{\text{Min}}{\text{s}} \times \frac{1}{10^6} \frac{\text{m}^3}{\text{cm}^3} \times 997 \frac{\text{kg}}{\text{m}^3} \times \\ &\quad 4.18 \frac{\text{kJ}}{\text{kg} - \text{K}} \times (27.245 - 27.163) \text{ K} \end{aligned}$$

$$= 0.00469 \text{ kW}$$

- ที่อุณหภูมิ  $70^{\circ}\text{C}$

$$\begin{aligned} \therefore Q &= 0.98 \frac{L}{\text{Min}} \times \frac{1000}{1} \frac{\text{cm}^3}{L} \times \frac{1}{60} \frac{\text{Min}}{\text{s}} \times \frac{1}{10^6} \frac{\text{m}^3}{\text{cm}^3} \times 997 \frac{\text{kg}}{\text{m}^3} \times \\ &\quad 4.18 \frac{\text{kJ}}{\text{kg} - \text{K}} \times (27.785 - 27.313) \text{ K} \\ &= 0.03215 \text{ kW} \end{aligned}$$

- ที่อุณหภูมิ  $80^{\circ}\text{C}$

$$\begin{aligned} \therefore Q &= 0.995 \frac{L}{\text{Min}} \times \frac{1000}{1} \frac{\text{cm}^3}{L} \times \frac{1}{60} \frac{\text{Min}}{\text{s}} \times \frac{1}{10^6} \frac{\text{m}^3}{\text{cm}^3} \times 997 \frac{\text{kg}}{\text{m}^3} \times \\ &\quad 4.18 \frac{\text{kJ}}{\text{kg} - \text{K}} \times (28.288 - 27.2) \text{ K} \\ &= 0.07524 \text{ kW} \end{aligned}$$



**ภาคผนวก ข**  
**ข้อมูลการทดสอบ**

ตารางที่ ข1 แสดงค่าอุณหภูมิที่ส่วนต่างๆ ของห่อเทอร์โนไซฟอนและอัตราการไหลดของน้ำเย็นเข้าที่ส่วนควบแน่นอัตราการเติน 30% ที่ส่วนทำระเหยเป็นแก้ว

อุณหภูมิ (°C)	อุณหภูมิส่วนที่ไม่มีการถ่ายเทความร้อน(°C)	ค่าการถ่ายเทความร้อน (W)
50	31.15	21.97
60	41.575	19.4
70	53.95	58.31
80	56.05	88.98

ตารางที่ ข2 แสดงค่าอุณหภูมิที่ส่วนต่างๆ ของห่อเทอร์โนไซฟอนและอัตราการไหลดของน้ำเย็นเข้าที่ส่วนควบแน่นอัตราการเติน 30% ที่ส่วนควบแน่นเป็นแก้ว

อุณหภูมิ (°C)	อุณหภูมิส่วนที่ไม่มีการถ่ายเทความร้อน(°C)	ค่าการถ่ายเทความร้อน (W)
50	41.2	9.14
60	55.6	13.5
70	59.35	44.23
80	66.6	80.2

ตารางที่ ข3 แสดงค่าอุณหภูมิที่ส่วนต่างๆ ของท่อเทอร์โมไชฟอนและอัตราการไไหลของน้ำเย็นเข้าที่ส่วนควบแน่นอัตราการเติม 50% ที่ส่วนทำระเหยเป็นแก้ว

อุณหภูมิ ( $^{\circ}\text{C}$ )	อุณหภูมิส่วนที่ไม่มีการถ่ายเทความร้อน ( $^{\circ}\text{C}$ )	ค่าการถ่ายเทความร้อน (W)
50	39.625	29.2
60	42.75	62.78
70	51.1	122.2
80	52.975	126.78

ตารางที่ ข4 แสดงค่าอุณหภูมิที่ส่วนต่างๆ ของท่อเทอร์โมไชฟอนและอัตราการไไหลของน้ำเย็นเข้าที่ส่วนควบแน่นอัตราการเติม 50% ที่ส่วนควบแน่นเป็นแก้ว

อุณหภูมิ ( $^{\circ}\text{C}$ )	อุณหภูมิส่วนที่ไม่มีการถ่ายเทความร้อน ( $^{\circ}\text{C}$ )	ค่าการถ่ายเทความร้อน (W)
50	41.375	6.79
60	53.45	10.8
70	62.55	32.9
80	68	45.5

ตารางที่ ข5 แสดงค่าอุณหภูมิที่ส่วนต่างๆ ของท่อเทอร์โนไชฟอนและอัตราการไหลของน้ำเย็นเข้าที่ส่วนควบแน่นอัตราการเติม 70% ที่ส่วนทำระเหยเป็นแก้ว

อุณหภูมิ ( $^{\circ}\text{C}$ )	อุณหภูมิส่วนที่ไม่มีการถ่ายเทความร้อน ( $^{\circ}\text{C}$ )	ค่าการถ่ายเทความร้อน (W)
50	32.65	48.44
60	41.475	21.36
70	51.675	62.64
80	50.85	100.3

ตารางที่ ข6 แสดงค่าอุณหภูมิที่ส่วนต่างๆ ของท่อเทอร์โนไชฟอนและอัตราการไหลของน้ำเย็นเข้าที่ส่วนควบแน่นอัตราการเติม 70% ที่ส่วนควบแน่นเป็นแก้ว

อุณหภูมิ ( $^{\circ}\text{C}$ )	อุณหภูมิส่วนที่ไม่มีการถ่ายเทความร้อน ( $^{\circ}\text{C}$ )	ค่าการถ่ายเทความร้อน (W)
50	40.45	5.56
60	55.35	4.69
70	61.875	32.15
80	65.75	75.24

ตารางที่ ข7 แสดงค่าอัตราการเติมสารและค่าการถ่ายเทความร้อนที่อุณหภูมิ  $50^{\circ}\text{C}$  ของส่วนทำระเหยเป็นแก้ว

อัตราการเติม	อุณหภูมิส่วนที่ไม่มีการถ่ายเทความร้อน ( $^{\circ}\text{C}$ )	ค่าการถ่ายเทความร้อน (W)
30%	41.2	21.97
50%	41.375	29.2
70%	40.45	48.44

ตารางที่ ข8 แสดงค่าอัตราการเติมสารและค่าการถ่ายเทความร้อนที่อุณหภูมิ  $60^{\circ}\text{C}$  ของส่วนทำระเหยเป็นแก้ว

อัตราการเติม	อุณหภูมิส่วนที่ไม่มีการถ่ายเทความร้อน ( $^{\circ}\text{C}$ )	ค่าการถ่ายเทความร้อน (W)
30%	41.575	19.4
50%	42.75	62.78
70%	41.475	21.36

ตารางที่ ข9 แสดงค่าอัตราการเติมสารและค่าการถ่ายเทความร้อนที่อุณหภูมิ  $70^{\circ}\text{C}$  ของส่วนทำระเหยเป็นแก้ว

อัตราการเติม	อุณหภูมิส่วนที่ไม่มีการถ่ายเทความร้อน ( $^{\circ}\text{C}$ )	ค่าการถ่ายเทความร้อน (W)
30%	59.35	58.31
50%	62.55	122.2
70%	61.875	62.64

ตารางที่ ข10 แสดงค่าอัตราการเติมสารและค่าการถ่ายเทความร้อนที่อุณหภูมิ  $80^{\circ}\text{C}$  ของส่วนทำระเหยเป็นแก้ว

อัตราการเติม	อุณหภูมิส่วนที่ไม่มีการถ่ายเทความร้อน ( $^{\circ}\text{C}$ )	ค่าการถ่ายเทความร้อน (W)
30%	66.6	88.98
50%	68	126.78
70%	65.75	100.3

## ประวัติผู้ทำโครงการ

**นายจิตติเวช ไชยกันยา**

**1. ประวัติส่วนตัว**

เกิดวันที่ 4 กุมภาพันธ์ 2528

**2. ประวัติการศึกษา**

สำเร็จระดับมัธยมศึกษาตอนปลายจากโรงเรียนว้าปีปุ่ม ต.หนองแสง อ.ว้าปีปุ่ม จ.มหาสารคาม

**นายอนรรฆ ศรีนภาสวัสดิ์**

**1. ประวัติส่วนตัว**

เกิดวันที่ 2 กรกฎาคม 2527

**2. ประวัติการศึกษา**

สำเร็จระดับมัธยมศึกษาตอนปลายจากโรงเรียนชลราษฎร์บำรุง ต.หัวกะปิ อ.เมือง จ.ชลบุรี